

ระบบเก็บข้อมูลแบบหลายช่อง
MULTI – CHANNEL DATA LOGGER



โดย

นาย คำพอง คงสมบูรณ์
นางสาว ลัดสะหมี ไชสุลียง

เลขหมู่.....
เลขทะเบียน..... 42647
จน, เดือน, ปี - 5 ส.ย. 2545

.b.....
.i.....

ปริญญานิพนธ์นี้เป็นส่วนหนึ่งของการศึกษาหลักสูตรวิศวกรรมศาสตรบัณฑิต
สาขาวิชาอิเล็กทรอนิกส์
สถาบันเทคโนโลยีพระจอมเกล้าเจ้าคุณทหารลาดกระบัง
ปีการศึกษา 2544

ระบบเก็บข้อมูลแบบหลายช่อง
MULTI – CHANNEL DATA LOGGER

โดย

นาย คำพอง กงสมบุญ 42015720

นางสาว ลัดสะหมี ไชสุதியง 42015728

อาจารย์ที่ปรึกษา

ดร.กิติพล ชิตสกุล

ปริญญานิพนธ์นี้เป็นส่วนหนึ่งของการศึกษาระดับปริญญาตรี สาขาวิศวกรรมศาสตรบัณฑิต

สาขาวิชาอิเล็กทรอนิกส์


คณะวิศวกรรมศาสตร์

สถาบันเทคโนโลยีพระจอมเกล้าเจ้าคุณทหารลาดกระบัง

ปีการศึกษา 2544

ปริญญาบัตรเรื่อง ระบบเก็บข้อมูลอัตโนมัติ
จัดทำโดย นาย คำผอง คงสมบูรณ์ รหัส 42015720
นางสาว ถัดสะหมี ไชสุதியง รหัส 42015728
อาจารย์ที่ปรึกษา ดร. กิติพล ชิตสกุล

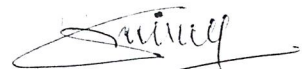
ปริญญาบัตรฉบับนี้ได้ผ่านการตรวจสอบโดยอาจารย์ที่ปรึกษาแล้ว

ลงชื่อ..........อาจารย์ที่ปรึกษา
(ดร. กิติพล ชิตสกุล)

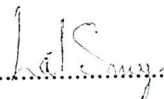
วันที่ 23 / 11 / 44

กิตติกรรมประกาศ

โครงการนี้สำเร็จได้เนื่องจากได้รับคำแนะนำจากอาจารย์ ดร.กิตติพล ชิตสกุล และอาจารย์ทุกท่านของภาควิชาอิเล็กทรอนิกส์ จึงขอกราบขอบพระคุณทุกท่านมา ณ โอกาสนี้ ขอขอบคุณเพื่อน ๆ ทุกคนที่คอยให้กำลังใจและให้คำแนะนำที่เป็นประโยชน์ในการทำโครงการจนสำเร็จลุล่วง ขอขอบคุณมหาวิทยาลัยแห่งชาติลาว สถาบันเทคโนโลยีพระจอมเกล้าเจ้าคุณทหารลาดกระบัง องค์กร JICA ประจำประเทศลาว และ องค์กร JICA ประจำประเทศไทย ที่สนับสนุนทุน อุปกรณ์เครื่องมือวัดพื้นฐานทางอิเล็กทรอนิกส์ ที่ใช้ทั้งเพื่อ การทดลอง และการวัด อีกทั้งคอมพิวเตอร์เพื่อการออกแบบ และพิมพ์รายงานมาตลอด และหากปริญญานิพนธ์นี้มีข้อผิดพลาดประการใด ทางผู้จัดทำขอน้อมรับและขอภัยมา ณ โอกาสนี้ด้วย



(นาย คำผอง คงสมบุญ)



(นางสาว ภัคสะหมี ไชสุติยง)

ผู้จัดทำ

ระบบเก็บข้อมูลอัตโนมัติ

นาย คำผอง คงสมบุญ
นางสาว ถัดสะหมี ไชสุถียง
ดร.กิตติพล จิตสกุล(อาจารย์ที่ปรึกษา)
ปีการศึกษา 2544

บทคัดย่อ

ปริญญานิพนธ์ฉบับนี้เสนอการออกแบบระบบเก็บข้อมูลแบบหลายช่องสัญญาณ เพื่อใช้ในการเก็บข้อมูลต่าง ๆ ในรูปแบบสัญญาณดิจิทัล การทำงานของระบบทั้งหมดจะถูกควบคุมด้วยไมโครคอนโทรลเลอร์ ตระกูลMCS-51 ในการสุ่มเก็บข้อมูลระบบนี้ถูกออกแบบให้วัด และเก็บข้อมูลได้ถึง 4 ช่องสัญญาณ สัญญาณที่ถูกเก็บจะอยู่ในรูปของสัญญาณ แรงดันไฟฟ้าขนาดไม่เกิน 5 โวลต์ความถี่ตั้งแต่ 0 ถึง xx เฮิรตซ์ สัญญาณอนาลอกอินพุทจะถูกแปลงเป็นสัญญาณดิจิทัลความละเอียด 8 บิตที่อัตราการสุ่มกำหนดได้ ข้อมูลที่ได้จะถูกเก็บไว้ในหน่วยความจำที่มีขนาด 32 กิโลไบต์และส่งออกไปยังไมโครคอมพิวเตอร์ด้วยอัตราเร็ว 9600 บิต ต่อวินาทีโดยผ่านพอร์ตอ นุกรม RS 232 เพื่อแสดงผลออกมาทางหน้าจอคอมพิวเตอร์ ในโครงการนี้ใช้อุณหภูมิเป็นข้อมูลในการวัดและบันทึกผล โดยใช้ LM335 เป็นเซ็นเซอร์

MULTICHANNEL DATA LOGGER SYSTEM

Mr.Khamphong	KHONGSOMBOUN
Ms.Latsamy	SAYSOURINHONG
Dr.Kitiphol	CHITSAKUL (Advisor)

Academic year 2001

Abstract

This thesis presents a design of Multi-Channel Data Logger System. This system is designed to acquire and digitally record any analogue signals. A Micro-controller family MCS-51 plays the grand role in controlling the whole system. Analogue signal, amplitude up to 5 volts, can be as channel input up to 4 channels. Depend on the channel sampling rate defined by user, frequency of a signal input could be 0 to xx cycle per second. The converted 8 bits digital data are stored in RAM of 32 KBytes before being sent to a microcomputer via a serial port at board rate 9600 bps. The record data could be displayed on monitor in graphic and text mode. As an example, a temperature sensing board, employing a LM335 as the sensor, has been implemented to serve as input of the system.

สารบัญ

กิตติกรรมประกาศ.....	I
บทคัดย่อ	II
ระบบเก็บข้อมูลอัตโนมัติ	II
Abstract.....	III
สารบัญ	IV
สารบัญรูปภาพ	VII
สารบัญตาราง	IX
บทที่ 1	1
บทนำ.....	1
1.1 แนวความคิดและโครงสร้างของโครงการ.....	1
1.2 ประโยชน์ที่คาดว่าจะได้รับ.....	2
1.3 ขอบเขตของโครงการ	2
1.4 เนื้อหาของรายงาน	3
บทที่ 2	4
อุปกรณ์เซนเซอร์ และการแปลงสัญญาณอนาลอกเป็นดิจิตอล	4
2.1 อุปกรณ์เซ็นเซอร์อุณหภูมิ	4
2.2 การแปลงสัญญาณอนาล็อกเป็นดิจิตอล (Analog to Digital Converter ; ADC).....	6
2.2.1 ทฤษฎีการสุ่ม (Sampling Theory)	6
2.2.2 การจัดระดับสัญญาณ (Quantizing).....	9
2.2.3 การเข้ารหัส (Coding).....	10
2.3 การเปลี่ยนสัญญาณอนาลอกเป็นสัญญาณเชิงเลขแบบประมาณรวบยอด (Successive Approximation)	10
2.4 ไอซีสำหรับการเปลี่ยนสัญญาณอนาลอกเป็นดิจิตอล ADC0808 :8 bit A/D.....	12
บทที่ 3	14
ทฤษฎีพื้นฐานของไมโครคอนโทรลเลอร์ MCS-51	14
3.1 คุณสมบัติไมโครคอนโทรลเลอร์ MCS-51	14
3.2 โครงสร้างสถาปัตยกรรมของ MCS-51.....	15
3.3 การจัดหน่วยความจำ.....	18
3.3.1 Program Memory.....	18

3.3.2 Data Memory	20
3.4 พอร์ตอินพุท/เอาต์พุทของ 8051	22
3.4.1 การใช้งานเป็นพอร์ตอินพุท.....	22
3.4.2 การใช้งานเป็นพอร์ตเอาต์พุท.....	23
3.5 ฐานเวลาในการทำงานของซีพียู 8051	23
3.6 การอินเตอร์เฟสโดยพอร์ต RS-232.....	24
3.6.1 มาตรฐาน RS-232.....	25
3.6.2 การอินเตอร์เฟสตามมาตรฐาน RS-232C.....	25
บทที่ 4	26
การออกแบบและหลักการทำงาน	26
4.1 วงจรทางด้านภาคเซ็นเซอร์	26
4.2 การออกแบบภาคควบคุม	27
4.2.1 การเชื่อมต่อ ADC0808 กับไมโครคอนโทรลเลอร์ MCS-51	27
4.2.2 การสร้างฐานเวลาให้กับ ไมโครคอนโทรลเลอร์	29
4.2.3 การเชื่อมต่อไมโครคอนโทรลเลอร์กับหน่วยความจำภายนอก.....	33
4.2.3 การเชื่อมต่อกับพอร์ตอนุกรมของคอมพิวเตอร์	34
4.2.4 การเชื่อมต่อกับผู้ใช้งาน.....	35
4.2.4.1 การเชื่อมต่อ LCD กับไมโครคอนโทรลเลอร์	35
4.2.5 สวิตช์ส่งงานคุมระบบ.....	37
4.3 ซอฟต์แวร์	37
4.3.1 การไหลของโปรแกรมควบคุมระบบ	38
4.3.2 การไหลของโปรแกรมบนไมโครคอมพิวเตอร์	39
4.3.3 การออกแบบภาคแสดงผลและการออกแบบหน้าจอ	40
4.4 การคำนวณระยะเวลาของการเก็บข้อมูล	41
4.4.1 เก็บข้อมูลทุกๆ 1 วินาที.....	42
4.4.2 เก็บข้อมูลทุกๆ 1 นาที.....	42
4.5 แหล่งจ่ายไฟของระบบ (Power Supply)	43
4.6 การตรวจสอบแรงดันแบตเตอรี่	46
บทที่ 5	48
การทดลองและผลการทดลอง	48
5.1 ภาคเซ็นเซอร์อุณหภูมิ	48
5.1.1 ผลที่อ้างอิงจาก data sheet.....	48

5.1.2. ผลจากการทดลองที่ได้จากกรตรวจวัดอุณหภูมิ.....	49
5.2. ภาคการแปลงสัญญาณอนาลอกเป็นดิจิตอล (Analog to Digital Converter).....	51
5.3. ผลการทดลองเก็บข้อมูลจริง.....	53
บทที่ 6.....	56
สรุปและวิจารณ์.....	56
ภาคผนวก ก. วงจรรวม	
ภาคผนวก ข. คู่มือการใช้งาน	
ภาคผนวก ค. โปรแกรม	
ภาคผนวก ง. Data Sheet	
เอกสารอ้างอิง	

สารบัญรูปรูปภาพ

รูปที่ 1-1 โครงสร้างของโครงการ	2
รูปที่ 2-1 แสดงตำแหน่งขาสัญญาณของ LM335	5
รูปที่ 2-2 แสดงการต่อวงจร Centigrade Themometer	5
รูปที่ 2-3 การสุ่มสัญญาณ	7
รูปที่ 2-4 การเกิดความถี่ Aliasing	8
รูปที่ 2-5 บล็อกไดอะแกรมของ Successive Approximation ADC	11
รูปที่ 2-6 แสดงไดอะแกรมเวลาของการทำงาน	11
รูปที่ 2-7 บล็อกไดอะแกรมของ ADC0808	13
รูปที่ 2-8 ไทม์มิ่งไดอะแกรมของ ADC0808	13
รูปที่ 3-1 โครงสร้างภายในของ MCS-51	15
รูปที่ 3-2 ตำแหน่งขาของชิปไมโครคอนโทรลเลอร์	16
รูปที่ 3-3 แสดงโครงสร้างแต่ละบิตภายในพอร์ตอินพุต/เอาต์พุตของ 8051	18
รูปที่ 3-4 แผนภูมิหน่วยความจำ	19
รูปที่ 3-5 การจัดสรรหน่วยความจำโปรแกรมของไมโครคอนโทรลเลอร์ MCS-51	20
รูปที่ 3-6 การจัดสรรพื้นที่ของหน่วยความจำข้อมูลภายในไมโครคอนโทรลเลอร์ MCS-51	21
รูปที่ 3-7 ไชเคิลการทำงานของไมโครคอนโทรลเลอร์ MCS-51	24
รูปที่ 4-1 วงจรตรวจวัดอุณหภูมิ	27
รูปที่ 4-2 การเชื่อมต่อไมโครคอนโทรลเลอร์กับ ADC0808	28
รูปที่ 4-3 แสดงถึงส่วนประกอบหลักที่สำคัญของ DS1307	30
รูปที่ 4-4 การเชื่อมต่อไมโครคอนโทรลเลอร์กับไอซีรีลไทม์คล็อก	31
รูปที่ 4-5 การส่งข้อมูลบน Serial Bus ของ DS1307	32
รูปที่ 4-6 การเชื่อมต่อไมโครคอนโทรลเลอร์กับหน่วยความจำภายนอก	34
รูปที่ 4-7 การจัดขาและโครงสร้างภายในของ MAX 232	35
รูปที่ 4-8 การเชื่อมต่อโมดูล LCD กับไมโครคอนโทรลเลอร์	36
รูปที่ 4-9 การไหลของโปรแกรมควบคุมระบบ	38
รูปที่ 4-10 โปรแกรมบนไมโครคอมพิวเตอร์	39
รูปที่ 4-11 หน้าจอแสดงผล	40
รูปที่ 4-12 หน้าจอแสดงข้อมูลที่เก็บในช่อง 1	41
รูปที่ 4-13 วงจรเรกกูเลเตอร์ 12 โวลต์	44
รูปที่ 4-14 วงจรเรกกูเลเตอร์ 5 โวลต์	44

รูปที่ 4-15 วงจร DC to DC Converter	46
รูปที่ 4-16 วงจรตรวจสอบแรงดันแบตเตอรี่	47
รูปที่ 5-1 วิธีการทดลองวงจรเซ็นเซอร์อุณหภูมิ	48
รูปที่ 5-2 การทดสอบคุณสมบัติของภาคเซ็นเซอร์	49
รูปที่ 5-3 เส้นกราฟแสดงความสัมพันธ์ระหว่างอุณหภูมิและแรงดันเอาต์พุต	50
รูปที่ 5-4 ผลที่ได้จากการวัดทั้ง 4 ช่อง	52
รูปที่ 5-5 ผลการทดลองที่ช่อง 1	53
รูปที่ 5-6 ผลการทดลองที่สามารถสุ่มได้ครั้งละ 10 จุด	54

สารบัญตาราง

ตารางที่ 2-1 แสดงความสัมพันธ์ระหว่างค่าอุณหภูมิหน่วย $^{\circ}\text{C}$, $^{\circ}\text{K}$ และ V_{OUT}	5
ตารางที่ 2-2 แสดงการเข้ารหัส	10
ตารางที่ 3-1 แสดงตำแหน่งแอดเดรสของรีจิสเตอร์ใช้งานทั่วไป	21
ตารางที่ 3-2 แสดงการเลือกรีจิสเตอร์เบงค์ของรีจิสเตอร์ใช้งานทั่วไป	21
ตารางที่ 4-1 การเลือกความถี่ของสัญญาณพัลส์	33
ตารางที่ 4-2 ความสามารถในการเก็บข้อมูลของหน่วยความจำ	43
ตารางที่ 5-1 แสดงความสัมพันธ์ระหว่างค่าอุณหภูมิและแรงดันเอาต์พุต(จากการคำนวณ)	48
ตารางที่ 5-2 แสดงความสัมพันธ์ระหว่างค่าอุณหภูมิและแรงดันเอาต์พุต(จากการทดลอง)	49
ตารางที่ 5-3 แสดงแรงดันเอาต์พุตและค่าข้อมูล ไบนารีที่ได้ จากการแปลงสัญญาณอนาลอกเป็นดิจิตอล	50
ตารางที่ 5-4 แสดงความสัมพันธ์ระหว่างค่าอุณหภูมิและแรงดันเอาต์พุต	51

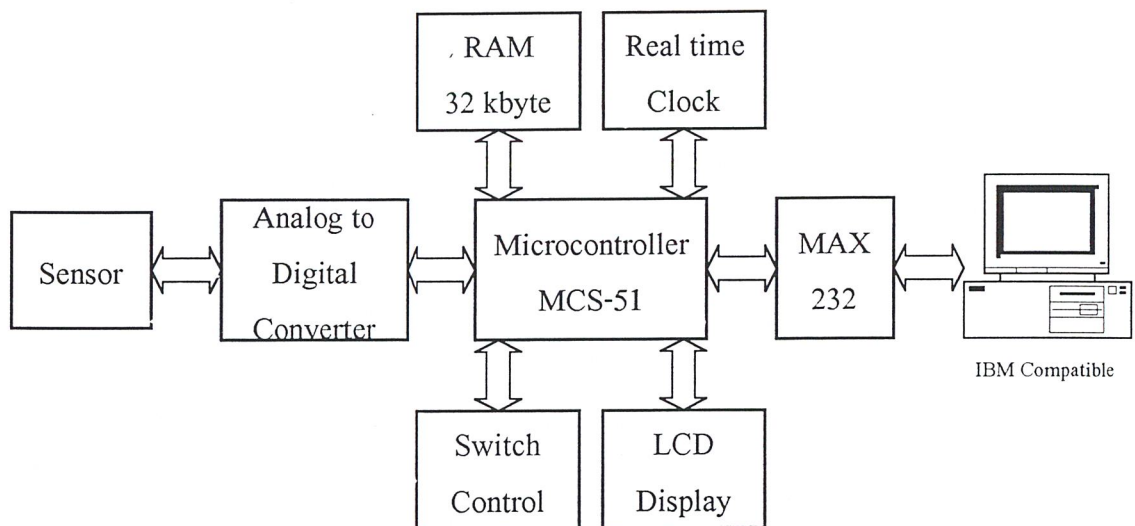
บทที่ 1

บทนำ

ดาต้าล็อกเกอร์ (data logger) คืออุปกรณ์ที่ใช้ในการเก็บบันทึกข้อมูลในช่วงเวลาที่กำหนดเพื่อนำมาแสดงผลหรือนำข้อมูลเหล่านั้นมาประมวลผลภายหลัง การเก็บข้อมูลในลักษณะดังกล่าวอาจจะเป็นการบันทึกแบบอนาล็อก เช่นการบันทึกเสียงและภาพแบบเก่า การเก็บบันทึกข้อมูลอย่างต่อเนื่องบนกระดาษกราฟ อย่างไรก็ตามการบันทึกแบบดิจิตอลจะมีข้อดีในแง่การของจัดเก็บที่สามารถเก็บปริมาณได้มากในขนาดทางกายภาพที่เล็กกว่า นอกจากนี้สามารถนำมาประมวลผลด้วยดิจิตอลคอมพิวเตอร์ได้โดยตรง ข้อดีประการแรกดังกล่าวของดิจิตอลดาต้าล็อกเกอร์นั้น เหมาะกับการเก็บข้อมูลในบริเวณที่ห่างไกล ยากต่อการตรวจสอบ หรือ บันทึกการ เปลี่ยนแปลงนั้นเป็นเวลานาน ๆ เนื่องจากขนาดเล็กและเก็บข้อมูลได้มากกว่าและการกินกำลังงานน้อยกว่าจากการใช้เทคโนโลยีของอุปกรณ์สารกึ่งตัวนำในปัจจุบัน แต่เนื่องจากปริมาณทางกายภาพที่ใช้เช่น เซอร์ (sensor) แปลงให้อยู่ในรูปของปริมาณ ไฟฟ้าแล้วเกือบทั้งหมดจะอยู่ในรูปแบบอนาล็อกที่ต่อเนื่องในแกนเวลา การเก็บแบบดิจิตอลนั้นต้องมีการสุ่มสัญญาณนั้นในเวลาใด ๆ แล้วนำมาเข้ารหัสดิจิตอลเพื่อให้เหมาะกับการจัดเก็บและประมวลผล ดังนั้นการจัดเก็บแบบดิจิตอลอาจจะขาดความต่อเนื่องหากการสุ่มค่ามีช่วงห่างเมื่อเทียบกับการเปลี่ยนแปลงของปริมาณทางกายภาพนั้น ๆ ดังนั้นดิจิตอลดาต้าล็อกเกอร์มักจะสามารถกำหนดช่วงการสุ่มได้ การนำไมโครคอนโทรลเลอร์จะช่วยลดความซับซ้อนของวงจรอิเล็กทรอนิกส์ที่ใช้ในควบคุมกระบวนการแปลงสัญญาณ การสุ่มและการจัดเก็บข้อมูลแบบอัตโนมัติโปรแกรมได้ โครงการนี้ได้ทำการศึกษาออกแบบระบบดิจิตอลดาต้าล็อกเกอร์แบบ 8 บิต ที่ช่องสัญญาณ ควบคุมด้วยไมโครคอนโทรลเลอร์ โดยใช้อุณหภูมิเป็นตัวอย่างของข้อมูลในการเก็บบันทึก

1.1 แนวความคิดและโครงสร้างของโครงการ

แนวความคิดของโครงการที่ต้องการสร้างคือ ดาต้าล็อกเกอร์ ที่สามารถวัดได้หลาย ช่องสัญญาณ โดยมีไมโครคอนโทรลเลอร์ MCS51 เป็นอุปกรณ์ที่ใช้ในการควบคุมระบบโดยเราสามารถเขียน โปรแกรมเพื่อกำหนดรูปแบบการควบคุมได้อย่างอิสระและมีการส่งข้อมูลที่วัดได้นั้นมาบันทึกบนไมโครคอมพิวเตอร์ซึ่งอยู่ระยะไกลได้จากแนวความคิดของโครงการดังกล่าวทำให้เราได้บล็อกไดอะแกรมของโครงการดังรูปที่ 1-1



รูปที่ 1-1 โครงสร้างของโครงการ

1.2 ประโยชน์ที่คาดว่าจะได้รับ

1. เข้าใจถึงการออกแบบ การทำงาน และ โครงสร้างภายในของไมโครคอนโทรลเลอร์มากยิ่งขึ้น
2. มีความเข้าใจและสามารถออกแบบวงจร ทั้งทางฮาร์ดแวร์และซอฟต์แวร์ ที่ใช้ไมโครคอนโทรลเลอร์เป็นตัวควบคุม
3. ได้รู้จักขั้นตอนการทำงาน การวางแผนการตรวจสอบการทำงานและแนวทางการแก้ไขปัญหาที่เกิดขึ้น
4. สามารถนำแนวคิดไปประยุกต์ใช้ให้เกิดประโยชน์ได้กว้างขวางขึ้นต่อไป

1.3 ขอบเขตของโครงการ

จากแนวความคิดในการออกแบบระบบ ซึ่งกำหนดว่าสามารถใช้ในการเก็บข้อมูลจากเซ็นเซอร์ ได้ทั้งหมด 4 ช่อง ระดับแรงดันอินพุตตั้งแต่ 0-5 โวลต์ แต่ในข้อจำกัดของเวลาในการดำเนินโครงการ จะทำการวัดเฉพาะอุณหภูมิเพียงอย่างเดียว โดยใช้เซมิคอนดักเตอร์เซ็นเซอร์ วงจรแปลงสัญญาณอนาล็อกเป็นดิจิทัลใช้ขนาด 8บิต ข้อมูลดิจิทัลนี้จะถูกเก็บบันทึกไว้ในหน่วยความจำแบบแรม(RAM) ขนาด 32 กิโลไบต์ตลอดในช่วงการเก็บบันทึก ก่อนที่จะถูกเรียกอ่านหรือส่งต่อไปยังไมโครคอมพิวเตอร์ ผ่านทางพอร์ตอนุกรม (RS-232) การกำหนดรายละเอียดในการสุ่มเก็บข้อมูลนั้น สามารถกำหนดได้ว่าจะให้เก็บอย่างไรหรือเก็บทุก ๆ กี่นาทีและสามารถตั้งเวลาในการเก็บข้อมูลหรือหยุดเก็บข้อมูลได้โดยการโปรแกรมบนไมโครคอมพิวเตอร์ หรือโปรแกรมไมโครคอนโทรลเลอร์โดยตรง ข้อมูลที่ได้จากค่าที่ได้ออกเกอร์จะถูกเก็บในลักษณะไฟล์ตัวอักษร

1.4 เนื้อหาของรายงาน

ปฏิญานิพนธ์ฉบับนี้ปฏิญานิพนธ์เล่มนี้เป็นผลจากการศึกษาและทดลองตลอดสองภาคการศึกษา เพื่อออกแบบสร้างดิจิทัลคอลล่าต็อกเกอร์ขนาด 8 บิต 4 ช่องสัญญาณ โดยเริ่มจากการรวบรวมรายละเอียดเกี่ยวกับทฤษฎีที่เกี่ยวข้องกับการวัดอุณหภูมิการแปลงสัญญาณเพื่อที่จะเป็นแนวทางในการศึกษาเพิ่มเติมหรือออกแบบเพื่อให้ได้ระบบที่มีประสิทธิภาพที่ดีตามวัตถุประสงค์ ซึ่งเนื้อหาของรายงานเล่มนี้นั้นจะประกอบด้วยส่วนต่าง ๆ แยกเป็นบท ๆ ไปดังนี้

บทที่ 1 บทนำกล่าวถึงแนวคิดของระบบที่จะสร้างขึ้นมา

บทที่ 2

กล่าวถึงอุปกรณ์ที่ใช้ในการตรวจวัดอุณหภูมิซึ่งก็คือตัวเซ็นเซอร์ในบทนี้ยังจะได้กล่าวถึงวงจรที่ใช้ในการแปลงสัญญาณอนาลอกเป็นสัญญาณดิจิทัลเพื่อทำการสุ่มแรงดันเอาท์พุทที่ได้จากตัวอุปกรณ์เซ็นเซอร์ในที่นี้จะใช้การเปลี่ยนสัญญาณอนาลอกเป็นดิจิทัลแบบประมาณรวบยอดซึ่งเป็นที่นิยมกันมาก เนื่องจากมีความเร็วปานกลางและค่อนข้างสูง อีกทั้ง ยังมีความละเอียด พอสมควร

บทที่ 3

กล่าวถึงทฤษฎีพื้นฐานของไมโครคอนโทรลเลอร์ซึ่งเป็นอุปกรณ์อิเล็กทรอนิกส์แบบหนึ่งที่บรรจุความสามารถมากมาย โดยในบทนี้จะกล่าวถึงคุณสมบัติ โครงสร้างสถาปัตยกรรม การจัดหน่วยความจำ และการใช้งานพอร์ต อินพุต / เอาท์พุทนอกจากนั้นยังจะกล่าวถึงการเชื่อมต่อไมโครคอนโทรลเลอร์กับคอมพิวเตอร์โดยผ่านการอินเตอร์เฟซตามมาตรฐาน RS-232

บทที่ 4

กล่าวถึงหลักการออกแบบและการทำงานของระบบเก็บข้อมูล(DataLogger)ในบทนี้จะได้กล่าวถึงรายละเอียดในการออกแบบส่วนต่างๆ ไม่ว่าจะเป็นวงจรภาคเซ็นเซอร์ และการออกแบบภาคควบคุม ซึ่งจะพูดถึงการเชื่อมต่อไมโครคอนโทรลเลอร์กับไอซี ADC0808 การเชื่อมกับหน่วยความจำภายนอก (ไอซี62256)การเชื่อมต่อกับพอร์ตอนุกรมของคอมพิวเตอร์การออกแบบภาคแสดงผลและการออกแบบหน้าจอ

บทที่ 5

กล่าวถึงการทดสอบคุณสมบัติและผลการทดลองที่ได้จากส่วนต่างๆไม่ว่า จะเป็น เซ็นเซอร์ และ ส่วนที่ทำการแปลงสัญญาณอนาลอกเป็นสัญญาณดิจิทัล

บทที่ 6 สรุปและวิจารณ์

บทที่ 2

อุปกรณ์เซ็นเซอร์ และการแปลงสัญญาณอนาล็อกเป็นดิจิทัล

เซ็นเซอร์เป็นองค์ประกอบที่สำคัญในการวัดสถานะหรือปริมาณทางกายภาพของตัวกลางหรือวัตถุใด ๆ ในหัวข้อต่อไปนี้จะกล่าวถึงอุปกรณ์เซ็นเซอร์อุณหภูมิพอสังเขปเพื่อให้ความเข้าใจถึงแนวคิดของระบบที่ออกแบบขึ้นมา ในหัวข้อถัดไปจะกล่าวถึงพื้นฐานการแปลงสัญญาณเบื้องต้นที่เน้นเฉพาะแบบที่นำมาใช้งานได้

2.1 อุปกรณ์เซ็นเซอร์อุณหภูมิ

อุปกรณ์ที่ใช้ในการตรวจวัดอุณหภูมิ มีอยู่ หลาย ชนิด ด้วยกัน โดยอุปกรณ์ แต่ละชนิดจะมี หลักการเปลี่ยนแปลงคุณสมบัติเฉพาะของสาร ก็จะต้องมีการเปลี่ยนแปลงค่าเมื่ออุณหภูมิที่วัดเปลี่ยนแปลงไป และ การเปลี่ยนแปลงที่วัดได้จะต้องคงที่แน่นอน ซึ่งหลักการที่ใช้ในการวัดอุณหภูมิ โดยทั่วไป สามารถแบ่งออกได้ดังต่อไปนี้

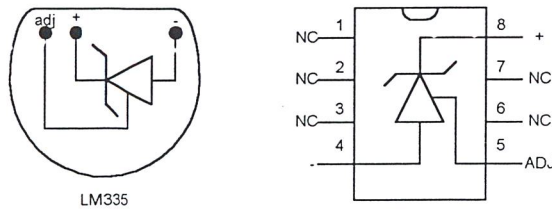
- ◆ อาศัยการเปลี่ยนแปลงคุณสมบัติเชิงกล
- ◆ อาศัยการเปลี่ยนแปลงความต้านทานหรือโอ
- ◆ อาศัยการเปลี่ยนแปลงคุณสมบัติทางไฟฟ้า
- ◆ อาศัยการเปลี่ยนแปลงคุณสมบัติทางแสงและการแผ่รังสี
- ◆ อาศัยหลักการ โดยวิธีทางเคมี

ในโครงการนี้การตรวจวัดอุณหภูมิจะใช้หลักการเปลี่ยนแปลงคุณสมบัติทางไฟฟ้า เนื่องจากสัญญาณที่ได้จากอุปกรณ์นี้สามารถนำไปต่อใช้งานร่วมกับวงจรอิเล็กทรอนิกส์เพื่อวัดผลได้สะดวก อุปกรณ์กลุ่มนี้โดยทั่วไปจะอยู่ในรูปของตัวต้านทาน ไคโอค หรือในรูปของไอซี ซึ่งอุปกรณ์ดังกล่าวจะใช้วัดอุณหภูมิในช่วง -50 องศาเซลเซียส ถึง 150 องศาเซลเซียส และโครงสร้างภายนอกจะมีขนาดเล็ก

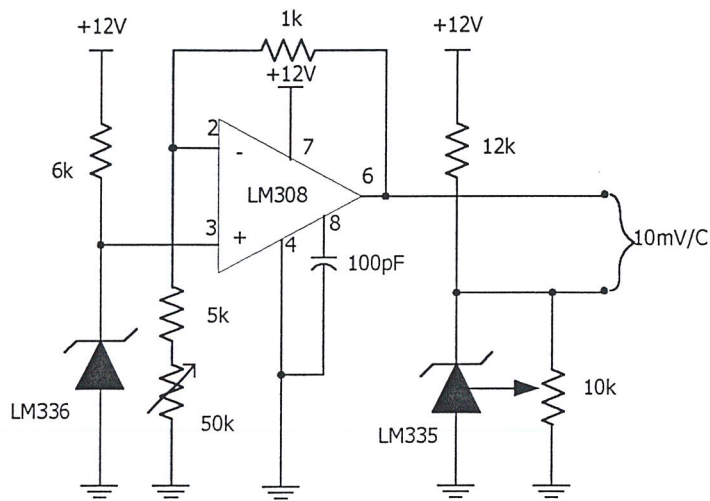
เซ็นเซอร์ที่มีโครงสร้างภายในเป็นตัวต้านทาน ค่าความต้านทานจะเปลี่ยนค่าตามอุณหภูมิ หรือกรณีเป็นซีเนอร์ไดโอด สามารถเปลี่ยนแปลงแรงดันพังทะลายตามระดับอุณหภูมิ ดังนั้นเมื่อไปอัสซ็อนกลับแล้วอุณหภูมิโดยรอบมีการเปลี่ยนแปลง แรงดันที่ตกคร่อมอุปกรณ์เซ็นเซอร์ดังกล่าวจะเปลี่ยนแปลงตามไปด้วย จึงสามารถนำการเปลี่ยนแปลงดังกล่าวมาประมวลผล เพื่อวัดค่าอุณหภูมิออกมาได้

ในโครงการนี้จะใช้เซ็นเซอร์แบบสารกึ่งตัวนำเบอร์ LM 335 (Precision Temperature Sensor) ซึ่งเป็นวงจรรวมที่มีคุณสมบัติทางอุณหภูมิกคล้ายซีเนอร์ไดโอด สามารถใช้ทำงานในย่าน -40 องศาเซลเซียส ถึง 100 องศาเซลเซียส มีความเที่ยงตรงสูงในย่านที่ใช้งาน เมื่อต่อเป็นวงจรใช้งานร่วมกับอุปกรณ์ภายนอกดังแสดงในรูปที่ 2-2 จะสามารถให้แรงดันเอาต์พุตเป็นปฏิภาคโดยตรงกับอุณหภูมิโดยรอบ ในวงจรจะใช้ LM336 ถ่ายแรงดันอ้างอิงเปรียบเทียบกับเอาต์พุตของ LM335 จะได้แรงดันเอาต์พุตที่เป็นผลต่าง

นี้ในอัตรา $+10 \text{ mV} / ^\circ\text{C}$ ซึ่งจะขยายแรงดันผลต่างด้วยวงจรขยายความแตกต่าง (Differential amplifier) เพื่อให้มีค่าแรงดันเหมาะสมกับวงจรแปลงสัญญาณอนาล็อกเป็นดิจิทัล



รูปที่ 2-1 แสดงตำแหน่งขาสัญญาณของ LM335



รูปที่ 2-2 แสดงการต่อวงจร Centigrade Thermometer

ตารางที่ 2-1 แสดงความสัมพันธ์ระหว่างค่าอุณหภูมิหน่วย $^\circ\text{C}$, $^\circ\text{K}$ และ V_{out}

อุณหภูมิ		
องศาเซลเซียส	องศาเคลวิน	V_{out}
0	273	2.732
25	298	2.982
50	323	3.232
75	348	3.482
100	373	3.732

โดยค่าแรงดันที่ได้ทางเอาต์พุตของตัวอุปกรณ์เซ็นเซอร์ ได้มาจากการคำนวณด้วยสมการ

$$V_{OUT_T} = V_{OUT_{T_0}} \times \frac{T}{T_0} \quad (2.1)$$

เมื่อ T คืออุณหภูมิที่เราสามารถรู้ได้ (°K)

T_0 คืออุณหภูมิอ้างอิง (298 °K)

$V_{OUT_{T_0}}$ คือค่าแรงดันเอาต์พุตที่อุณหภูมิอ้างอิง (2.982V ที่ 25°C)

V_{OUT_T} คือแรงดันเอาต์พุตที่ LM335

2.2 การแปลงสัญญาณอนาล็อกเป็นดิจิทัล (Analog to Digital Converter : ADC)

การนำสัญญาณอนาล็อกมาประมวลผลในวงจร ดิจิตอล จำเป็นต้อง อาศัยตัวแปลง สัญญาณอนาล็อกเป็นสัญญาณดิจิทัลหรือเรียกว่า ADC ซึ่งความละเอียดของการแปลงสัญญาณขึ้นอยู่กับ จำนวน บิตของ ADC ในการแปลงสัญญาณอนาล็อกเป็นดิจิทัลนั้นมีขั้นตอนต่างๆที่ซับซ้อนอยู่พอสมควร ว่าจะได้สัญญาณเป็นดิจิทัล ที่มีค่าผิดพลาดต่ำ ซึ่งโดยส่วนใหญ่แล้ว จะประกอบด้วย ขั้นตอนที่สำคัญอยู่ สามขั้นตอนคือ การสุ่ม (Sampling) การจัดระดับ (Quantizing) และการเข้ารหัส (Encoder) โดยทั้งหมด นั้นถือเป็นทฤษฎีพื้นฐานในการแปลงสัญญาณ จากอนาล็อกเป็นดิจิทัล

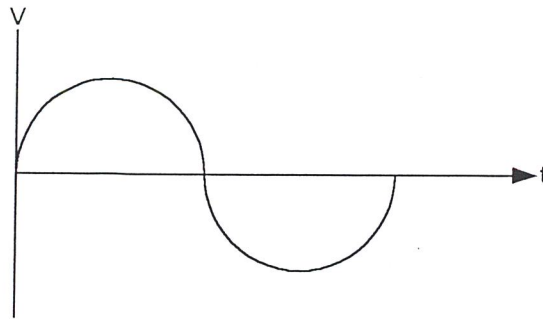
2.2.1 ทฤษฎีการสุ่ม (Sampling Theory)

ในการแปลงสัญญาณอนาล็อกเป็นดิจิทัลนั้น ADC จำเป็นต้องใช้เวลาช่วงหนึ่งในการจัดการ ซึ่ง ช่วงเวลาดังกล่าวนั้นขึ้นอยู่กับหลายปัจจัยต่าง ๆ เช่นความละเอียดของการแปลงสัญญาณ เทคนิคของ การแปลงสัญญาณและความเร็วในการทำงานของอุปกรณ์ร่วมอื่น ๆ การกำหนดความเร็วของการแปลง สัญญาณขึ้นอยู่กับภาระประยุกต์ใช้งานเฉพาะอย่างและความแม่นยำที่ต้องการ ช่วงเวลาในการแปลง สัญญาณบางครั้งอาจเรียกว่า Aperture Time ซึ่งหมายถึงช่วงเวลาที่เกิดความไม่แน่นอนขึ้นในการวัดและ ผลก็คือความผิดพลาด (error) ต่อค่าที่วัดได้

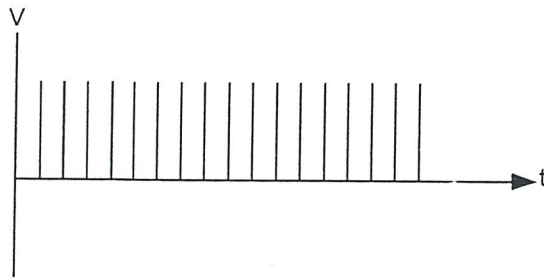
วงจร Sampling & Hold จะทำการสุ่มสัญญาณอินพุต และนำสัญญาณที่สุ่มนั้นมาเก็บ (hold) ไว้ในช่วงเวลาใดหนึ่ง ซึ่งส่วนใหญ่จะใช้การประจุแรงดันนั้นไว้ในตัวเก็บประจุที่รั่วไหลต่ำ Aperture time ของ Sampling & Hold คือเวลาดังแต่เริ่มสุ่มสัญญาณจนเก็บค่าประจุแรงดันจนถึงค่าที่สุ่ม ซึ่งค่า Aperture time สำหรับ ค่าความถี่ ในการสุ่ม นั้น จะขึ้นอยู่กับแบนด์วิดธ์ของสัญญาณ

ในการสุ่มสัญญาณอนาล็อกจะถูกสุ่มเป็นระยะๆคงที่ตาม รูป 2-3 ค การสุ่มจะเป็นการตัดต่อ สัญญาณอนาล็อกในช่วงเวลาอันสั้นด้วยสวิทช์ที่ทำงานด้วยความเร็วสูง ผลของการสุ่มสัญญาณด้วย ความเร็วจะเสมือนการคูณขบวนสัญญาณพัลส์แคบๆกับสัญญาณอนาล็อก ซึ่งจะได้เป็นสัญญาณที่มีมอดดูเลท ระหว่างขบวนพัลส์กับสัญญาณอนาล็อกโดยเสมือนว่าสัญญาณอนาล็อกจะซ้อนทับมาบนขบวนพัลส์ ถ้าหากสัญญาณอนาล็อกที่ถูกสุ่ม ถูก hold จนกว่าสัญญาณค่าใหม่จะถูกสุ่มเข้ามาซึ่งจะได้ลักษณะ ของ

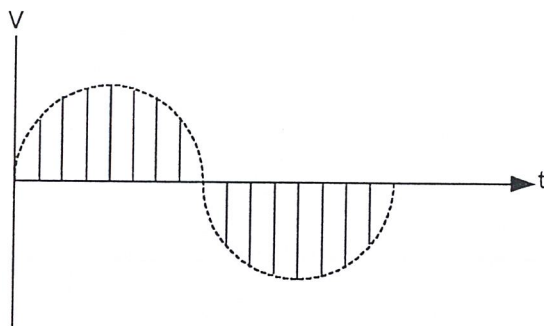
เอาท์พุทที่แสดงในรูป 2-3.ง



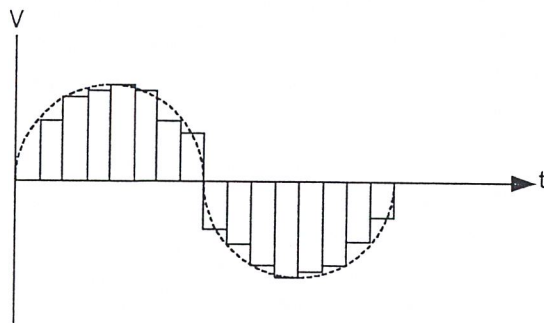
ก. สัญญาณอนาลอกอินพุต



ข..พัลส์ที่นำมาสุ่มสัญญาณ



ค..สัญญาณอนาลอกหลังการสุ่ม



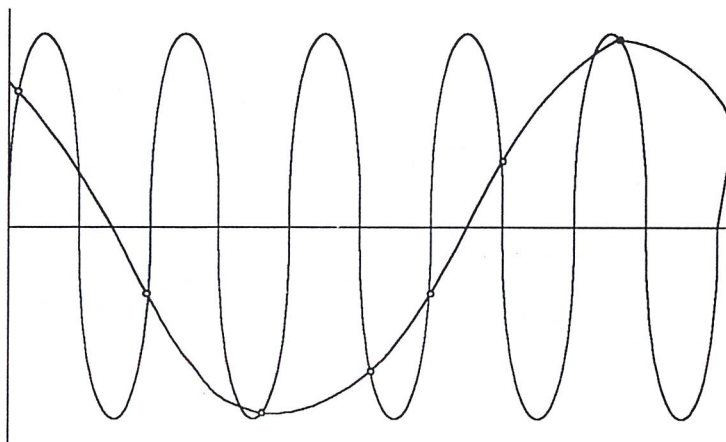
ง..สัญญาณอนาลอกหลังการสุ่มและ Hold ไว้
รูปที่ 2-3 การสุ่มสัญญาณ

ถ้าสัญญาณต่อเนื่อง ซึ่งมีความถี่และฮาร์โมนิกส์ไม่เกิน f_c ถูกสุ่มด้วยอัตราการสุ่มไม่น้อยกว่า $2f_c$ แล้วสัญญาณดังกล่าวจะสามารถเปลี่ยนกลับมาได้อย่างเดิมโดยไม่สูญเสียรายละเอียดหรือผิดเพี้ยนไป

ผลของการใช้อัตราการสุ่มที่ไม่เหมาะสมจะทำให้เกิดสัญญาณรบกวนความถี่ต่ำกว่าเรียกว่า Aliasing frequency เมื่อสัญญาณถูกเปลี่ยนกลับมาเช่นเดิมหลังจากถูกสุ่มแล้วดังรูปที่ 2.4 จะเห็นว่าความถี่ Aliasing จะแตกต่างจากความถี่เดิมไปมาก Anti aliasing filter เป็นวงจรกรองผ่านความถี่ต่ำที่จะช่วยลดสัญญาณในแถบความถี่ที่ทำให้เกิด Aliasing frequency ในขณะที่ ไม่ต้องการให้เกิดความผิดพลาดของสัญญาณในแบนด์ที่ใช้งานและไม่ลดความแม่นยำในการวัดโดยรวมอีกด้วยนอกจากการใช้ฟิลเตอร์ฮาร์โมนิกส์ที่สูงๆแล้วพยายามให้การสุ่มเป็นไปอย่างรวดเร็วมากที่สุดซึ่งปกติจะสูงกว่า ความถี่ต่ำสุดตามทฤษฎี Sampling คือ $2f_c$

การใช้ Anti aliasing filter ขึ้นอยู่กับ

- ◆ ความถี่สูงสุดที่สนใจ
- ◆ อัตราการสุ่ม
- ◆ ความละเอียดของการแปลงสัญญาณ



รูปที่ 2-4 การเกิดความถี่ Aliasing

จากทฤษฎีการสุ่มที่ว่าให้ $f_s > 2f_c$ นั้นก็เพื่อจัดการซ้อนกันของสเปกตรัม (Aliasing Effect) เพื่อจำกัด แบนวิดธ์ของ สัญญาณที่จะถูกแปลงไม่ให้เกินไปกว่า $(f_s/2)$ ซึ่งในทางปฏิบัติแล้วจะยังคงเกิด frequency folding ได้เสมอจากส่วนฮาร์โมนิกส์ของสัญญาณและสเปกตรัมของสัญญาณรบกวนที่ยังคงมีอยู่แม้ว่าจะทำการฟิลเตอร์แล้วก็ตาม

2.2.2 การจัดระดับสัญญาณ (Quantizing)

อีกขั้นตอนหนึ่งที่สำคัญหลังจากที่สัญญาณผ่านการสุ่มมาแล้วก็คือขั้นตอนการจัดระดับของสัญญาณ โดยสัญญาณที่ผ่านการสุ่มมาแล้วจะมีลักษณะที่ไม่ต่อเนื่อง (Discrete Signal) และเนื่องจากสัญญาณอนาล็อกส่วนใหญ่จะมีสัญญาณรบกวนปะปนมาด้วยเสมอจึงจำเป็นต้องกำจัดสัญญาณเหล่านี้ออกไป เพื่อไม่ให้เกิดความผิดพลาดในการประมวลผลแบบดิจิทัล และสามารถนำไปเข้ารหัสได้ง่าย

เมื่อผ่านการสุ่มการจัดระดับแล้ว ข้อมูลที่เป็นสัญญาณอนาล็อกจะถูกเปลี่ยนเป็นระดับ สัญญาณที่แน่นอน และมีลักษณะไม่ต่อเนื่องเป็นระดับต่างๆกัน ในแต่ละสถานะของสัญญาณดิจิทัลเอาต์พุตจะแทนขนาดของสัญญาณอนาล็อกค่าใดค่าหนึ่งในช่วงแคบๆระหว่างจุดแบ่งระดับ เรียกช่วงเล็กๆนี้ว่า Analog Quantization หรือหนึ่งควันตัม (Quantum) หรือ 1 LSB (Least Significant Bit) ของการแปลงสัญญาณ คลาดเคลื่อน(Error) ในการแทนค่าสัญญาณอนาล็อกในช่วงนั้น ๆ อยู่ด้วย ค่าความคลาดเคลื่อนนี้เป็นธรรมชาติของ Quantizing ซึ่งทำการแก้ไขไม่ได้นอกจากการเพิ่มจำนวนบิตของ Quantizer ให้มากขึ้นและอีกอย่างหนึ่งที่สำคัญมากก็คือความละเอียด(Resolution)ของตัวแปลงว่ามีกี่บิตเพราะว่าจำนวนบิตของตัวแปลงจะบอกถึงจำนวนระดับสัญญาณคือ

$$\text{จำนวนระดับสัญญาณ}(Q) = 2^n ; n \text{ คือจำนวนบิต}$$

ถ้าเราใช้ตัวแปลงขนาด 8 บิต กับขนาดสัญญาณอนาล็อกที่สูงสุด 10 โวลต์จะได้จำนวนระดับสัญญาณเท่ากับ 256 ระดับ ดังนั้นค่าของบิตขวาสุด (Least Significant Bit : LSB) จะมีค่าเป็น

$$\text{ค่าหนึ่งบิตด้านต่ำ} = \text{แรงดันสัญญาณด้านสูง/จำนวนระดับสัญญาณ}$$

ในบางครั้งเราเรียก LSB ว่า “ Step Size ” โดยใช้สัญญาณจากตัวแปลง 8 บิต และ ขนาดสัญญาณ 10 โวลต์ จะมีค่า $10/2^8 = 10/256 = 0.039 \text{ V}$.แล้วอาจเขียนสมการในการหาค่า (Δ) ใหม่ได้ว่า

$$\Delta = \text{FSR} / Q$$

เมื่อ Q คือจำนวนระดับสัญญาณ

FSR คือช่วงเต็มสเกลของแรงดันอนาล็อก (Full Scale Range)

Δ คือ ค่าความผิดพลาดจากการจัดระดับสัญญาณ

จะเห็นว่าจำนวนบิตยิ่งมากค่า Δ จะยิ่งลดลงจะทำให้ค่าความผิดพลาดลดลงไปด้วย โดยค่าความผิดพลาดจะอยู่ระหว่าง 0 ถึง $\Delta/2$ ซึ่งค่าความผิดพลาดอาจจะเป็นศูนย์ถ้าสัญญาณอนาล็อกมีค่าที่กึ่งกลางของควันตัมพอดี

2.2.3 การเข้ารหัส (Coding)

ในการเข้ารหัสสัญญาณที่ผ่านการสุ่ม และการจัดระดับมาแล้วนั้นส่วนใหญ่จะแปลงให้อยู่ในรูปของรหัสตัวเลขฐานสอง (Binary code) แล้ว เปลี่ยนจากข้อมูลแบบขนานให้เป็นแบบอนุกรม เพื่อสามารถถอดรหัสสัญญาณในการส่งข้อมูลให้หรือเพียงช่องสัญญาณเดียวได้

จากตารางที่ 2.2 จะแสดงการเข้ารหัสของระดับแรงดันจากการสุ่มสัญญาณขนาด 0 ถึง 5 โวลต์ และผ่านการจัดระดับ สัญญาณมาแล้ว ซึ่งที่ระดับแรงดันค่าที่สุ่มก็จะมีขนาด 8 บิตเลขฐานสองเป็น 0000 0000 ส่วนระดับแรงดันสูงที่สุดก็จะมีรหัสเลขฐานสองเป็น 1111 1111 เป็นต้น

ตารางที่ 2-2 แสดงการเข้ารหัสสัญญาณ

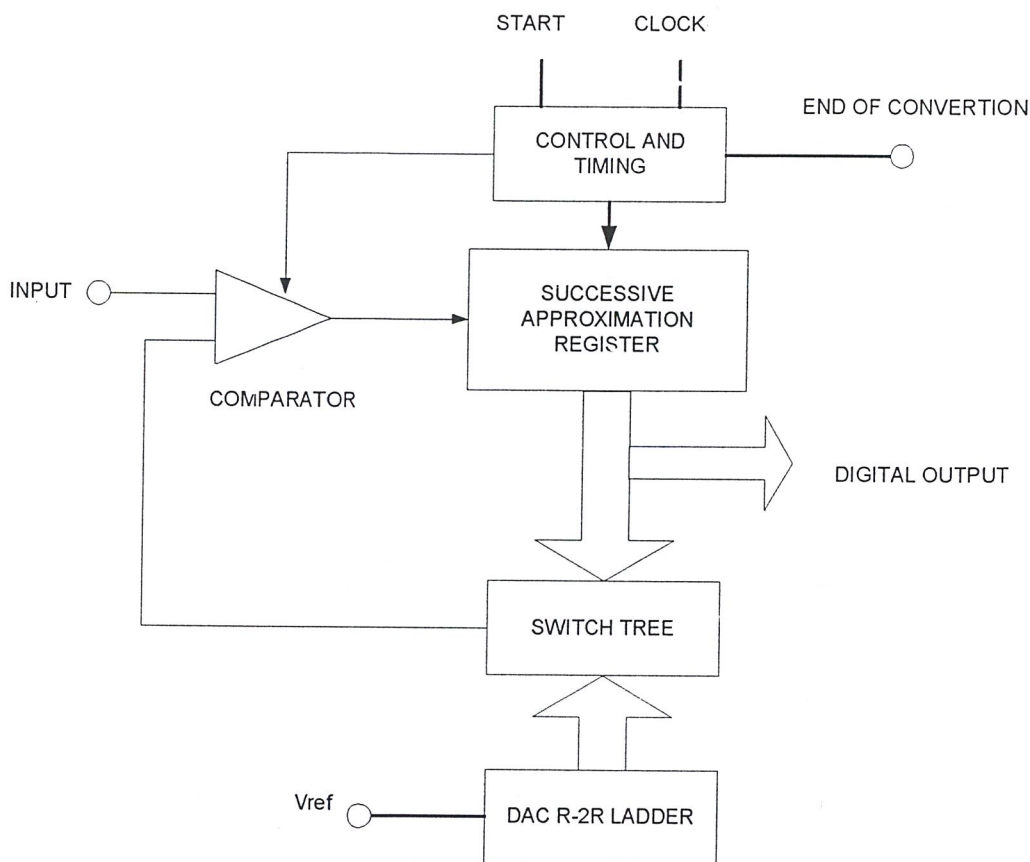
V _{in}	Binary code
0	0000 0000
0.5	0001 1101
1.0	0011 0011
1.5	0100 1011
2.0	0110 0111
2.5	1000 0000
3.0	1001 1100
3.5	1011 0010
4.0	1100 1111
4.5	1110 1001
5.0	1111 1111

จากขั้นตอนทั้งหมดของการแปลงสัญญาณอนาล็อก เป็น ดิจิตอล นั้นเราสามารถกำหนดความ สามีรต หรือ คุณภาพในการแปลงได้ ด้วยปัจจัยหนึ่งที่สำคัญมากก็คือ ความละเอียด (Resolution) ซึ่งขึ้นอยู่กับจำนวนบิตนั่นเอง แต่ในการใช้งานจริงแล้วยังมีเรื่องความเร็วในการแปลงอีกด้วย

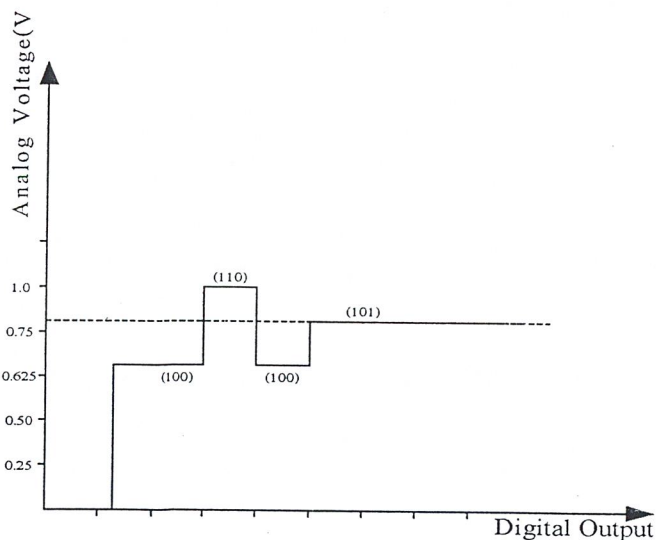
2.3 การเปลี่ยนสัญญาณอนาล็อกเป็นสัญญาณเชิงเลขแบบประมาณรวบยอด (Successive Approximation)

เทคนิคการประมาณค่าหลายๆครั้ง (ประมาณรวบยอด) เป็นวงจร ADC ที่ได้รับความนิยมและเหมาะต่อการเลือกใช้เนื่องจากราคาถูกความเร็วปานกลางและค่อนข้างสูงมีความละเอียดพอสมควร ซึ่งสามารถใช้ในการแปลง สัญญาณอนาล็อกให้เป็นสัญญาณดิจิตอลได้ดี และมีประสิทธิภาพเพราะไม่

เกิดการอสซิลเลตแต่ว่ากระบวนการของเทคนิคแบบนี้จะเข้าใจได้ยากกว่าเทคนิคแบบอื่นๆซึ่งหัวใจของ SA Converter ก็คือ อุปกรณ์ “ Successive Approximation Register : SAR” ซึ่งเป็นอุปกรณ์ที่มีจุดประสงค์แตกต่างจากวงจรนับทั่วไปอย่างมาก เพราะเป็นไอซี MSI (Medium Scale Integrated Circuit) ที่ได้รับการออกแบบเป็นพิเศษเพื่อทำหน้าที่นี้โดยเฉพาะและการจัดวงจรคล้ายกับแบบเคาน์เตอร์ที่ทำงานในลักษณะการป้อนกลับ ซึ่งบล็อกไดอะแกรมได้แสดงไว้ในรูปที่ 2-5



รูปที่2-5 บล็อกไดอะแกรมของ Successive Approximation ADC



รูปที่2-6 แสดงไดอะแกรมเวลาของการทำงาน

จากรูปที่ 2-6 แสดงไหม้มีงไปอะแกรมของ ADC ที่มีระดับอนาล็อก 0.625 V เมื่อป้อนสัญญาณนาฬิกา เข้าไป 1 ลูกจะ ทำให้ MSB บิตที่ 4 เป็น “ 1 ” ทุกบิตอื่นยังคงเป็น “ 0 ” จะเปลี่ยนเอาต์พุต ของ SAR เป็นอนาล็อกเปรียบเทียบกับสัญญาณอนาล็อกอินพุตถ้าผลการเปรียบเทียบ แรงดันบอกว่ำน้อยกว่าอินพุตก็ให้บิตนั้นเป็น “ 1 ” ไว้ แต่ถ้าว่ามากกว่าจะให้บิตนั้นเป็น “ 0 ” จากนั้นทำการทดสอบบิตถัดไปโดยทำให้เป็น “ 1 ” หากผลรวมของสองบิตหรือบิตหลังมากกว่าก็ทำให้บิตนั้นเป็น “ 0 ” แต่ถ้า น้อยกว่าให้คง “ 1 ” ไว้แล้วทดสอบบิตถัดไปตามกรรมวิธีดังกล่าวจนครบ ทุกบิตหรือจนกว่าเอาต์พุตจะต่างจาก V_{in} ไม่เกิน i LSB

มีข้อจำกัดประการหนึ่ง สำหรับการใช้งานคือ สัญญาณอนาล็อกอินพุต จะต้องคงที่ ในช่วงเวลา ที่ทำการเปลี่ยนแปลงสัญญาณ โดยเปลี่ยนได้ไม่เกิน $\frac{1}{2}$ LSB วงจร ADC แบบนี้ สามารถทำงานได้สอง โหมด คือ โหมดที่ทำงานโดยอิสระ (Free running) และโหมดที่รอคำสั่ง Start conversion จากภายนอก เวลาที่ใช้ในการเปลี่ยนแปลงสัญญาณใช้ $(n+1)$ ลูกของพัลส์ clock โดย clock ลูกแรกจะใช้ในการรีเซ็ทรีจิสเตอร์ภายในสุดท้ายคุณภาพของระบบนี้จะขึ้นอยู่กับคุณภาพของวงจรเปลี่ยนสัญญาณดิจิทัล เป็นสัญญาณอนาล็อก (DAC) ด้วย

2.4 ไอซีสำหรับการเปลี่ยนสัญญาณอนาล็อกเป็นดิจิทัล ADC0808 : 8 bit A/D

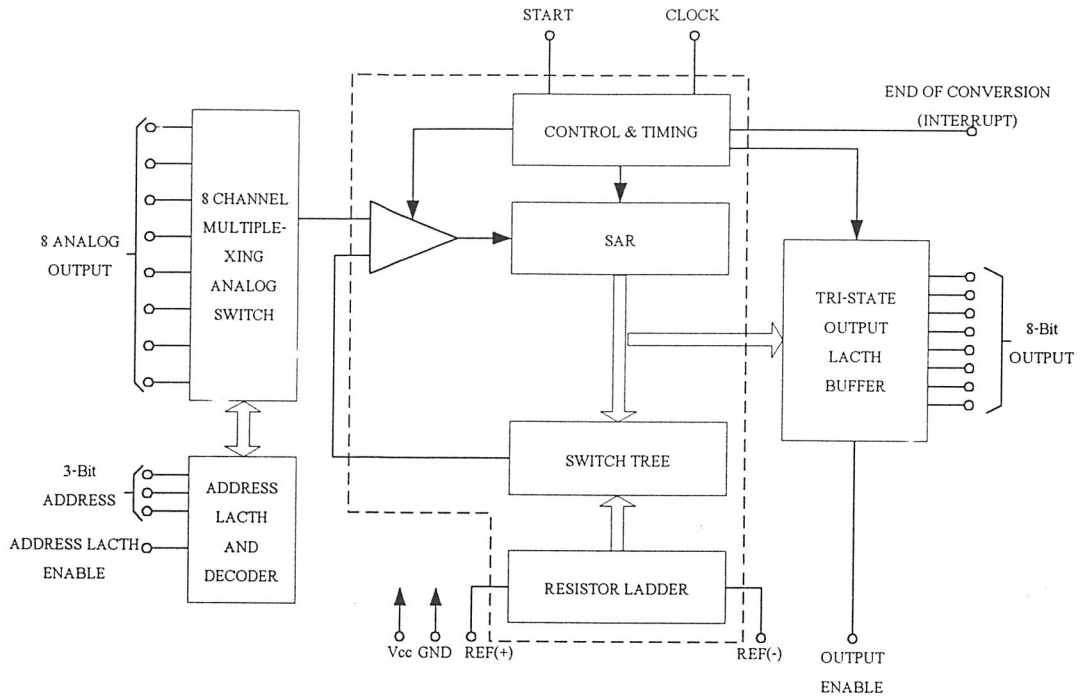
ไอซีเบอร์ ADC0808 นี้เป็น อุปกรณ์ที่ สามารถแปลงสัญญาณอนาล็อก เป็น ดิจิทัลขนาด 8 บิต สามารถรับอินพุตได้ 8 ช่องและมัลติเพล็กซ์สัญญาณได้ด้วยสามารถเชื่อมต่อกับไมโครโปรเซสเซอร์ ได้ ง่ายใช้วิธีการแปลงแบบ Successive Approximation สามารถต่อกับอุปกรณ์ TTL และทำงานใน ลักษณะ Tri-State ได้

ลักษณะที่สำคัญของ ADC0808

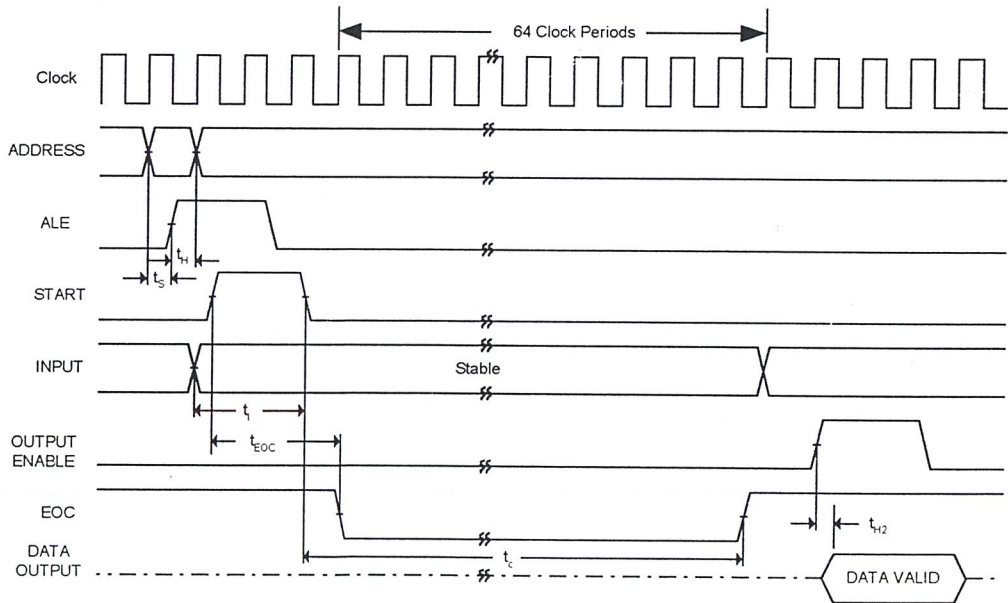
- เชื่อมต่อกับไมโครคอนโทรลเลอร์ทุกเบอร์ได้ง่าย
- สามารถปรับแรงดันอ้างอิงได้ในช่วง 0 ถึง + 5Vdc
- มัลติเพล็กซ์ได้ถึง 8 ช่องด้วย address logic
- แรงดันเอาต์พุตเป็น TTL
- อยู่ในรูปของไอซี 28 ขาแบบ DIP

คุณสมบัติที่สำคัญของ ADC0808

- ความละเอียด (Resolution) 8 บิต
- ค่าผิดพลาดสูงสุดอยู่ระหว่าง $\pm \frac{1}{2}$ LSB
- แหล่งจ่ายเดี่ยว 5 Vdc
- กินกำลังไฟฟ้าต่ำที่ 15mW
- Conversion time 100 μ S



รูปที่ 2-7 บล็อกไดอะแกรมของ ADC0808



รูปที่ 2-8 ไทม์มิ่งไดอะแกรมของ ADC0808

จากรูปที่ 2-8 แสดงถึงไทม์มิ่งไดอะแกรมการทำงานของ ADC0808 เพื่อที่จะเริ่มการแปลงสัญญาณนั้นเราจะต้องป้อนสัญญาณพัลส์ (สัญญาณ Clock) ที่ขา START โดยที่สัญญาณขอขาขึ้นจะเป็นการเคลียร์รีจิสเตอร์ภายใน และที่สัญญาณขาลงจะเป็นการเริ่มต้นการแปลงสัญญาณ

บทที่ 3

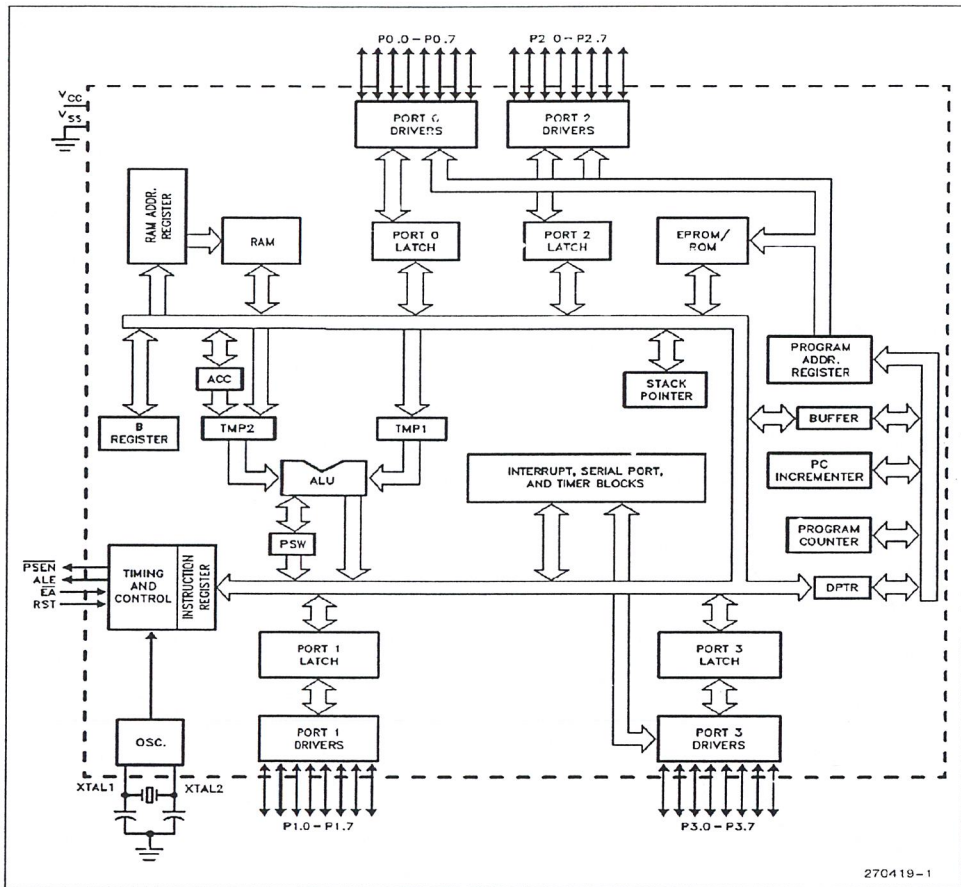
ทฤษฎีพื้นฐานของไมโครคอนโทรลเลอร์ MCS-51

ไมโครคอนโทรลเลอร์ เป็นชื่อของอุปกรณ์อิเล็กทรอนิกส์แบบหนึ่งที่มีบรรจุความสามารถมากมาย ไม่ว่าจะเป็นหน่วยประมวลผลหน่วยคำนวณทางคณิตศาสตร์และลอจิกวงจรรับสัญญาณอินพุตวงจรขับสัญญาณออกทางเอาต์พุตหน่วยความจำวงจรถ่ายกานัดสัญญาณนาฬิกาทำให้ไมโครคอนโทรลเลอร์สามารถนำไปประยุกต์ใช้งานแทนวงจรถ่ายกานัดอิเล็กทรอนิกส์ที่ซับซ้อน ได้เป็นอย่างดี โดยช่วยลดจำนวนของอุปกรณ์และขนาดของระบบลงในขณะที่มีขีดความสามารถสูงขึ้นไปนั้น ไมโครคอนโทรลเลอร์จึงเป็นอุปกรณ์ที่ใช้นิยมในการควบคุม โดยสามารถเขียนโปรแกรมเพื่อกำหนดรูปแบบการควบคุมได้อย่างอิสระ

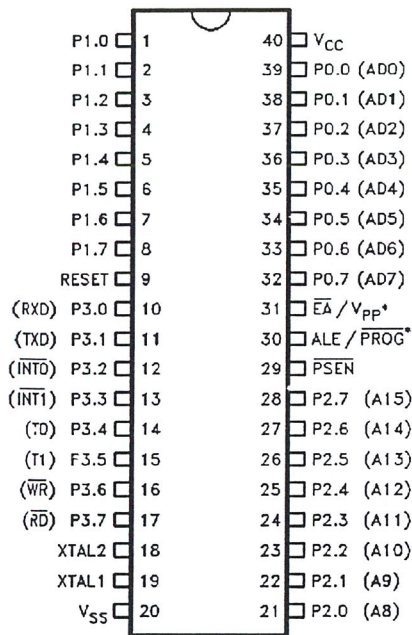
3.1 คุณสมบัติไมโครคอนโทรลเลอร์ MCS-51

- เป็นไมโครคอนโทรลเลอร์ที่ใช้ซีพียู 8 บิต
- ภายในมีหน่วยความจำเป็นแบบแฟลชสามารถลบและเขียนใหม่ได้พันครั้ง
- สายอินพุตและเอาต์พุตมีจำนวน 32 เส้นใช้เลือกแอดเดรสแยกต่างหากจากกันได้
- มีแรมบรรจุภายในขนาด 128 ไบต์ หรือ 256 บิต
- วงจรตั้งเวลา/วงจรมีขนาด 16 บิต อย่างน้อย 2 ตัว
- กำหนดเป็น UART (Universal Synchronous Asynchronous Receiver Transmitter) ส่งข้อมูลอนุกรมได้สองทิศทาง
- อินเตอร์รัปต์ แบ่งเป็นสองระดับจาก 5 หรือ 6 แหล่ง
- มีสัญญาณนาฬิกา อยู่ในตัว
- มีหน่วยความจำสำหรับเก็บข้อมูลภายในขนาด 4 หรือ 8 กิโลไบต์
- สามารถขยายหน่วยความจำภายนอกเพิ่มเติมได้สูงสุด 64 กิโลไบต์
- คำสั่งทั้งหมดมี 111 คำสั่ง
- ทำงานด้วยเลขฐานสิบ และเลขฐานสิบหก
- ในเบอร์ AT89C2051, AT89C1051, จะลดขนาดลงเหลือแค่ 20 ขา โดยมี ROM ภายในจำนวน 2 กิโลไบต์และ 1 กิโลไบต์ ตามลำดับ โดยจะไม่มี Port 0, Port 2, ALE, PSEN, EA และ RD เนื่องจากได้อัดโปรแกรมไว้ในตัวแล้วขาเหล่านี้จะไม่ได้ใช้งาน

3.2 โครงสร้างสถาปัตยกรรมของ MCS-51



รูปที่ 3-1 โครงสร้างภายในของ MCS-51



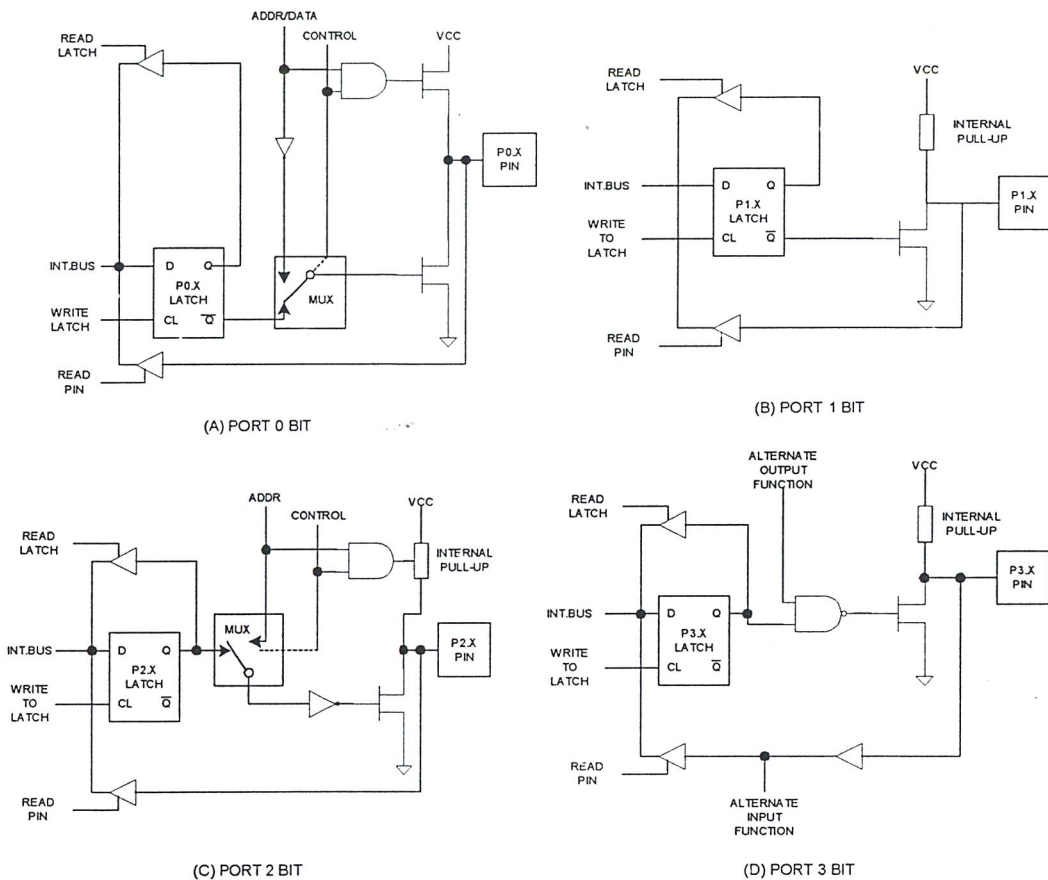
รูปที่ 3-2 ตำแหน่ง ขาของชิป ไมโครคอนโทรลเลอร์ MCS-51

หน้าที่การใช้งานแต่ละขาของชิปไมโครคอนโทรลเลอร์ MCS-51 มีดังนี้

- ขา V_{ss} (ขา 20) สำหรับต่อลงกราวด์
- ขา V_{cc} (ขา 40) สำหรับต่อแหล่งจ่ายแรงดันกระแสไฟตรงขนาด 5 โวลต์
- ขาพอร์ต 0 (ขา 32-39) มี 8 ขาใช้สำหรับพอร์ต 0 ขนาด 8 บิต (P0.0-P0.7) แบบ Open drain Bi-directional พอร์ตนี้สามารถใช้งานเป็นพอร์ตอินพุต เอาต์พุตทั่วไปได้ และใช้ในการติดต่อ หน่วย ความจำสำหรับโปรแกรมและข้อมูลภายนอกชิปด้วย
- ขาพอร์ต 1 (ขา 1-8) มี 8 ขาใช้สำหรับพอร์ต 1 (P1.0-P1.7) สามารถใช้เป็นอินพุต หรือเอาต์พุตพอร์ต ทั่วไปได้ หากต้องการใช้งานเป็นพอร์ตอินพุต ต้องโหลดค่า ไปยังแต่ละ บิตของ พอร์ตนี้
- ขาพอร์ต 2 (ขา 21-28) มี 8 ขาใช้สำหรับพอร์ต 2 ขนาด 8 (P2.0-P2.7) มีโครงสร้างคล้าย พอร์ต 0 โดยมี FET ตัวต่างตัวเดียวส่วนด้านบนใช้ความต้านทานพูลอัพแทน พอร์ตนี้ทำงานได้ สองหน้าที่ คือ สามารถใช้เป็น แอดเดรสบัส ขนาด 8 บิต (A8-A15) และเป็นพอร์ตอินพุต เอาต์พุตใช้งานทั่วไป เมื่อจะใช้งานเป็นพอร์ตอินพุต ต้องส่ง ลอจิก “1” มาที่พอร์ตนี้ก่อนเพื่อบังคับให้ FET อยู่ในสภาวะ off
- ขาพอร์ต 3 (ขา 10-17) มี 8 ขาใช้สำหรับพอร์ต 3 (P3.0-P3.7) ขนาด 8 บิต พอร์ตนี้ สามารถ ใช้งาน เป็น อินพุต เอาต์พุตพอร์ตทั่วไปได้ นอกจากนี้ยังใช้งานในหน้าที่พิเศษต่างๆ ดังนี้

ขา P3.0 ใ้รับข้อมูลจากภายนอกแบบอนุกรม

- ขา P3.1 ใช้ส่งข้อมูลออกไปภายนอกแบบอนุกรม
- ขา P3.2 ใช้เป็นอินพุตเพื่อรับสัญญาณอินเทอร์รัปต์ชนิดที่ 0
- ขา P3.3 ใช้เป็นอินพุตสำหรับรับสัญญาณอินเทอร์รัปต์ชนิดที่ 1
- ขา P3.4 สัญญาณอินพุตให้เคาน์เตอร์ของ ไทม์เมอร์ 0
- ขา P3.5 สัญญาณอินพุต ให้เคาน์เตอร์ของ ไทม์เมอร์ 1
- ขา P3.6 ใช้เป็นสัญญาณควบคุมการเขียนข้อมูลไปยังหน่วยความจำสำหรับเก็บภายนอกชิป
- ขา P3.7 ใช้เป็น สัญญาณ ควบคุมการเขียน ข้อมูลจากหน่วย ความจำสำหรับ เก็บข้อมูล ภาย นอกชิป
- ขา RT (ขา 9) ใช้สำหรับการรีเซ็ตวงจรทุกอย่างภายในชิป เพื่อเริ่มต้นการทำงานใหม่
- ขา ALE / PROG (ขา 30) เป็นขาสำหรับใช้ส่งสัญญาณออกไปภายนอก เพื่อควบคุมการ แลตช์ค่า แอดเดรสไปต์ต่ำ (Address Latch Enable) พอร์ต 0 ในการติดต่อ หน่วยความจำ สำหรับโปร แกรม หรือข้อมูลภายนอก สัญญาณนี้จะแอกทีฟทุกๆ 2 ครั้งใน 1 แมกซ์ซินไซเคิล
- ขา PSEN (ขา 29) ใช้ส่งสัญญาณสโตรบ เพื่ออ่านคำสั่งจากโปรแกรมที่ เก็บไว้ในหน่วยความ จำ ภายนอกชิป (Program Strobe Enable)
สัญญาณนี้จะส่งออกมาสองครั้งในแต่ละแมกซ์ซินไซเคิลแต่ถ้าเป็นการอ่าน คำสั่งจากหน่วยความจำโปรแกรมภายในจะไม่มีสัญญาณออกที่ขานี้
- ขา EA/Vpp (ขา 31) เป็นขาสำหรับใช้เลือกให้ MCS-51 ทำงานจากโปรแกรมที่อยู่ภายในชิป หรือ ภายนอกชิป หากขานี้มีสถานะเป็น 0 หมายถึงให้ใช้โปรแกรมที่อยู่ภายนอก หากขานี้มี สถานะเป็น 1 หมายถึงบังคับให้ MCS-51 ใช้โปรแกรมจากหน่วยความจำสำหรับ โปรแกรม ภายในชิป ส่วน MSC-51 ที่ไม่มีหน่วยความจำโปรแกรมสำหรับเก็บโปรแกรมภายในชิป ให้ต่อขานี้ ลงกราวด์เสมอ
- ขา XTAL1 (ขา 19) ใช้ต่อคริสตอลภายนอก โดยเป็นอินพุตเข้าสู่วงจรออสซิลเลเตอร์
- ขา XTAL2 (ขา 18) ใช้ต่อคริสตอลภายนอก โดยเป็นเอาต์พุตออกจากวงจรออสซิลเลเตอร์



รูปที่ 3-3 แสดงโครงสร้างแต่ละบิตภายในพอร์ตอินพุท/เอาต์พุทของ 8051

3.3 การจัดหน่วยความจำ

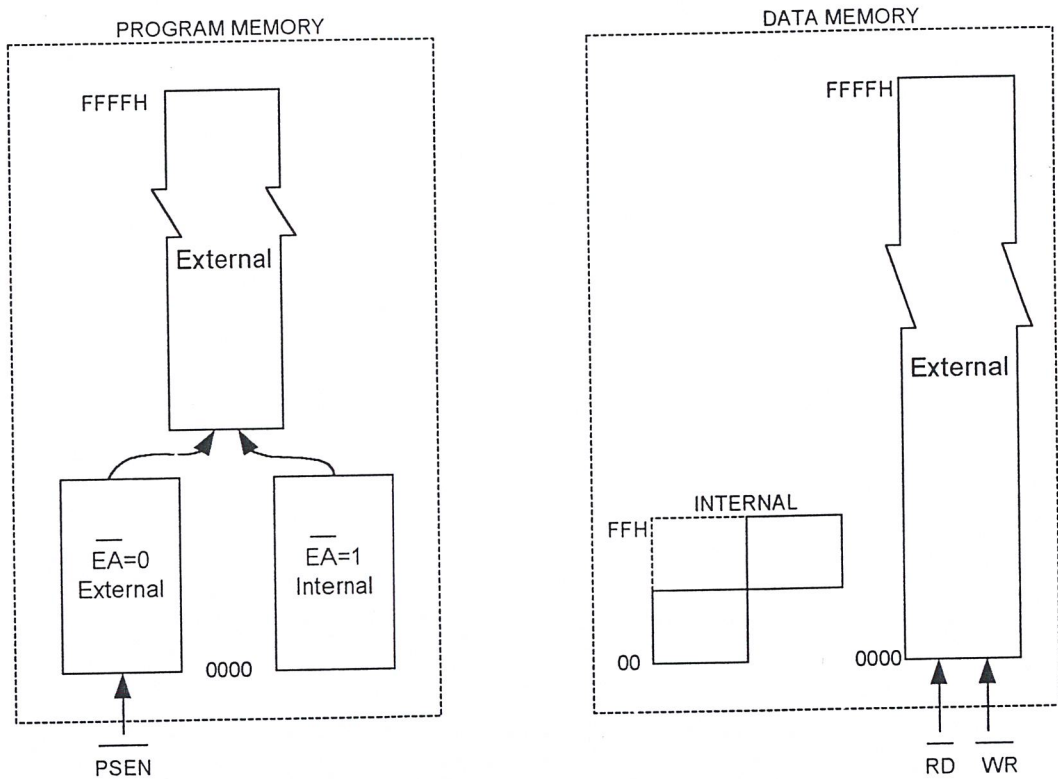
หน่วยความจำที่ใช้กับ MCS -51 มีอยู่ด้วยกัน 2 แบบคือ

- หน่วยความจำสำหรับโปรแกรม(Program Memory)
- หน่วยความจำสำหรับเก็บข้อมูล (Data Memory)

3.3.1 Program Memory

เป็นหน่วยความจำที่ใช้เก็บคำสั่งในรูปรหัสภาษาเครื่อง (Machine Language) ซึ่ง ต้องการ ให้ 8051 ทำงาน เมื่อ 8051 ทำงานก็ต้องอ่านข้อมูล ที่เก็บในหน่วยความจำประเภทนี้ เข้าไปถอดรหัส แล้วสร้าง สัญญาณควบคุมส่วนอื่น ๆ ตามการทำงานของแต่ละคำสั่งหน่วยความจำแบบนี้ จะต้องเป็นแบบ Read Only Memory (ROM) และ ผู้ใช้ต้องเขียนข้อมูลในแต่ละตำแหน่งของ หน่วยความจำเป็น รหัสภาษา เครื่องของ 8051 ตามลำดับการทำงานที่ต้องการ การเขียนข้อมูลลงไปบน ROMจะใช้เครื่องมือพิเศษ ในระหว่างการทำงานของ 8051 ผู้ใช้จะไม่สามารถใช้คำสั่ง ทำงานเขียนข้อมูลลงในหน่วยความจำแบบ นี้ได้จำนวนตำแหน่งสูงสุดของหน่วยความจำแบบนี้ที่ 8051 จะใช้งานได้คือ 65536 ตำแหน่ง ค่าของ

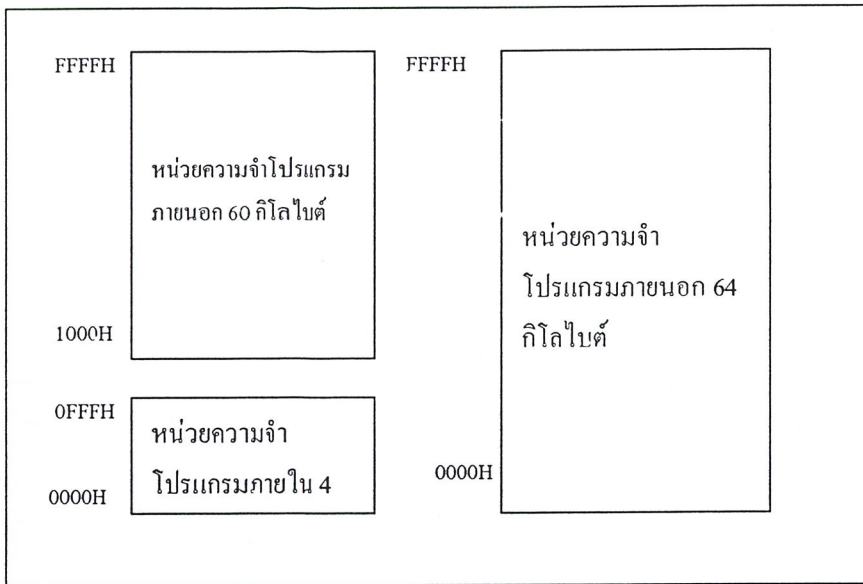
ตำแหน่ง (Address) จะเขียนเป็นเลขฐาน 16 ได้ตั้งแต่ 0000-FFFFh หน่วยความจำตำแหน่ง 0000-0FFFh จำนวน 4 กิโลไบต์ นั้นผู้ใช้จะเลือกได้ว่าเป็นตำแหน่งของ ROM ที่ภายในหรือภายนอก 8051 ถ้าต้องการให้ 8051 ทำงานตามคำสั่งที่เก็บไว้ใน ROM ภายใน 8051 ก็ให้ป้อนสัญญาณสถานะลอจิก High (1) เข้าที่ขา EA ของ 8051 แต่ถ้าต้องการให้ทำงานในโปรแกรมที่เก็บไว้ใน ROM ภายนอก 8051 ก็ให้ต่อลอจิก Low (0) เข้าที่ขา EA ของ 8051 ส่วนหน่วยความจำตำแหน่ง 1FFFh ถึง FFFFh จะต้องต่ออยู่ภายนอก 8051 เสมอดังแสดงใน แผนภูมิหน่วยความจำ (Memory Map) ในรูปที่ 3-4



รูปที่ 3-4 แผนภูมิหน่วยความจำ

ในพื้นที่ของหน่วยความจำโปรแกรมไม่ว่าจะใช้งานจากภายในหรือภายนอกก็ตาม ต้องมีการสงวนพื้นที่บางตำแหน่งเอาไว้สำหรับการบริการอินเตอร์รัปต์ 6 ประเภท ประเภทละ 8 ไบต์ ประกอบด้วย

- พื้นที่สำหรับบริการอินเตอร์รัปต์ 0 จากภายนอก กำหนดไว้ที่แอดเดรส 0003H
- พื้นที่สำหรับบริการอินเตอร์รัปต์จากไทมเมอร์ 0 กำหนดไว้ที่แอดเดรส 000BH
- พื้นที่สำหรับบริการอินเตอร์รัปต์ 1 จากภายนอก กำหนดไว้ที่แอดเดรส 0013H
- พื้นที่สำหรับบริการอินเตอร์รัปต์จากไทมเมอร์ 1 กำหนดไว้ที่แอดเดรส 001BH
- พื้นที่สำหรับบริการอินเตอร์รัปต์ของการสื่อสารอนุกรม กำหนดไว้ที่แอดเดรส 0023H
- พื้นที่สำหรับบริการอินเตอร์รัปต์จากไทมเมอร์ 2 กำหนดไว้ที่แอดเดรส 002BH



รูปที่ 3-5 การจัดสรรหน่วยความจำโปรแกรม ของไมโครคอนโทรลเลอร์ MCS-51

Internal Memory หมายถึงหน่วยความจำนั้นจะอยู่ภายใน 8051 ส่วน External Memory หมายถึง หน่วยความจำนั้นอยู่ภายนอก 8051

3.3.2 Data Memory

เป็นหน่วยความจำที่ 8051 จะใช้สำหรับพัก, เก็บข้อมูล แล้วเรียก มาใช้ใหม่ ในระหว่าง การทำงานของ 8051 การอ่านหรือการ เขียนข้อมูลจากหน่วย ความจำจะกระทำ โดยคำสั่ง ที่เก็บ ไว้ใน Program Memory หน่วยความจำประเภทนี้เป็นประเภท Random Access Memory ถ้ามีไฟเลี้ยงอยู่ ข้อมูลที่เก็บไว้จะไม่สูญหาย หน่วยความจำแบบ Data Memory ของ 8051 จะมีอยู่ 2 ชุด ชุด หนึ่ง อยู่ภายใน 8051 จำนวน 128 ไบต์ ที่ตำแหน่ง 00h-7Fh และอีกชุดหนึ่งจะต้องต่ออยู่ภายนอกของ 8051 มีได้สูงสุด 65536 ไบต์ อยู่ที่ตำแหน่ง 0000-FFFFh ดังแสดงในรูปที่ 3-5 โดยหน่วยความจำแบบ Data Memory ใน 8051 ที่ตำแหน่ง 80h-FFh นั้นไม่ได้มี อยู่ทุกตำแหน่ง จะมีอยู่ เฉพาะ ในบางตำแหน่ง ซึ่งเรียกหน่วยความจำบางตำแหน่งนี้ว่า Special Function Register (SFR) เพราะจะใช้หน่วย ความจำ เหล่านี้สำหรับงานพิเศษเท่านั้น อาจเป็น RAM หรือวงจรรนับ, วงจรตั้งเวลา ก็ได้

FFH	หน่วยความจำข้อมูลส่วนบน สามารถเข้าถึงแบบโดยอ้อม เท่านั้น	รีจิสเตอร์ฟังก์ชันพิเศษ(SFR) สามารถเข้าถึงแบบโดย ตรงได้
80H		
7FH	หน่วยความจำข้อมูลส่วนล่าง สามารถเข้าถึงได้ทั้งแบบโดย ตรงและแบบโดยอ้อม เท่านั้น	
00H		

รูปที่ 3-6 การจัดสรรพื้นที่ของหน่วยความจำข้อมูลภายในไมโครคอนโทรลเลอร์ MCS-51

จะเห็นได้ว่าหน่วยความจำข้อมูลส่วนบนและรีจิสเตอร์ฟังก์ชันพิเศษมีตำแหน่งทับซ้อนกัน แต่จะใช้การติดต่อที่แตกต่างกัน โดยในหน่วยความจำข้อมูลส่วนล่างขนาด 128 ไบต์มีแอดเดรส อยู่ที่ 00H-7FH สามารถเข้าถึงได้โดยตรงและโดยอ้อม สำหรับหน่วยความจำข้อมูลส่วนบนมีขนาด 128 ไบต์เช่นกัน มีแอดเดรสอยู่ที่ 80H-FFH แต่สามารถเข้าถึงแบบโดยอ้อมเท่านั้น ในขณะที่รีจิสเตอร์ ฟังก์ชันพิเศษมีแอดเดรสอยู่ที่ 80H-FFH เช่นเดียวกันกับหน่วยความจำข้อมูลส่วนบน แต่สำหรับรีจิสเตอร์ฟังก์ชันพิเศษใช้การเข้าถึงแบบโดยตรง

ตารางที่ 3-1 แสดงตำแหน่งแอดเดรสของรีจิสเตอร์ใช้งานทั่วไป

แอดเดรส	รีจิสเตอร์แบงก์	ชื่อรีจิสเตอร์ใช้งาน
00H - 07H	0	R0 - R7
08H - 0FH	1	R0 - R7
10H - 17H	2	R0 - R7
18H - 1FH	3	R0 - R7

ตารางที่ 3-2 แสดงการเลือก รีจิสเตอร์แบงก์ของรีจิสเตอร์ใช้งานทั่วไป

รีจิสเตอร์	บิต RS0	บิต RS1	ตำแหน่งหน่วยความจำ
แบงก์ 0	0	0	0000H
แบงก์ 1	0	1	0008H
แบงก์ 2	1	0	0010H
แบงก์ 3	1	1	0018H

3.4 พอร์ตอินพุท/เอาต์พุทของ 8051

ไมโครคอนโทรลเลอร์ตระกูล MCS-51 มีโครงสร้างของพอร์ตที่สามารถ ใช้งานแบบขนาน ได้จำนวนทั้งหมด 4 พอร์ต เรียกชื่อเรียงตามลำดับว่า พอร์ต 0, 1, 2 และ 3 ตามลำดับ เป็นพอร์ตขนาด 8 บิตทั้งหมดการใช้งานพอร์ตสามารถทำได้ทั้งในลักษณะของเส้นสัญญาณเดี่ยวๆ หรือกลุ่มของ สัญญาณ ก็ได้ นอกจากนี้พอร์ต 0-3 ยังสามารถนำไป ใช้งานอื่นๆที่ไม่ใช่พอร์ตอิน พุท/เอาต์พุทได้ โดยพอร์ต 0 ทำหน้าที่มีดีเฟลทซ์ระหว่างบัสแอดเดรสไบต์ต่ำ และบัสข้อมูล

ซึ่งพอร์ต 0 นั้นไม่สามารถที่จะใช้งานในการอ้างแอดเดรสไบต์ต่ำ และอ่านเขียนข้อมูลไปยัง RAM ภายนอกได้พร้อมๆกัน ด้วยเหตุนี้จึงมีการต่อ ไอซี 74HC573 รวมเข้าไปเพื่อช่วยในการ แลตซ์ แอดเดรสไบต์ต่ำให้กับหน่วยความจำภายนอก โดยขา ALE ของ MCU(Microcontroller Unit) จะเป็น ตัว ควบคุมจังหวะการ แลตซ์ ให้กับ ไอซี 74HC573 และขณะที่ ไอซี 74HC573 แลตซ์แอดเดรส ไบต์ ต่ำ อยู่ นั้นพอร์ต 0 จะทำการอ่านเขียน ข้อมูลกับหน่วยความจำภายนอกได้ นั้น เอง ซึ่งจากวงจรจะเห็นว่า หน่วยความจำภายนอกนั้น จะมีสัญญาณในการอ่าน เขียนข้อมูล โดยใช้ขาสัญญาณ \overline{RD} และ \overline{WR} ของ MCU เป็นตัวควบคุม ในพอร์ต2 นั้น ไม่มีปัญหา แต่อย่างไร เพราะ ใช้ในการ อ้างแอดเดรส ไบต์สูง เพียง หน้าที่เดียวเท่านั้น

สำหรับพอร์ต 3 นั้นนอกเหนือจากความสามารถเช่นพอร์ตปกติแล้ว สามารถนำไปเป็นขาสัญญาณ ของการอินเตอร์รัพท์ต่างๆ รวมทั้งสร้างสัญญาณควบคุม \overline{RD} และ \overline{WR} เพื่อทำหน้าที่อ่าน หรือ เขียนหน่วยความจำข้อมูลภายนอกด้วย การใช้งานพอร์ต ลักษณะงานแบบอื่นๆ ที่ไม่ใช่เป็นพอร์ต แบบอินพุท/เอาต์พุตนี้จะดำเนินการโดย ซีพียูโดยอัตโนมัติ

3.4.1 การใช้งานเป็นพอร์ตอินพุท

การใช้งานพอร์ตเป็นการอินพุทข้อมูลนั้น ก่อนอื่นจะต้องส่งข้อมูลค่า “ 1 ” ออกมาที่บิต ของ พอร์ตก่อนเพื่อหยุดการทำงานของทรานซิสเตอร์ที่ทำหน้าที่ขับสัญญาณเอาต์พุทของบิตนั้น ทำให้ ขา สัญญาณของบิตถูกต่อเข้ากับ ตัวต้านทาน ซึ่งทำหน้าที่ Pull-up ภายใน ซึ่งมีผลให้บิตนั้นๆ ของ พอร์ต 1, 2 และ 3 มีสถานะลอจิกสูง ตัวต้านทานเหล่านี้มีค่าประมาณ 50K ซึ่งเป็นค่าที่สูงมาก ทำให้ อุปกรณ์ภายนอกสามารถขับสัญญาณของพอร์ตเหล่านี้เป็นลอจิกต่ำได้ง่าย สำหรับบิตของพอร์ต 0 นั้น แม้ว่าจะมีการทำงานที่ คล้ายคลึง กับ บิตของพอร์ตอื่นๆ แต่เนื่องจากการที่ไม่มีตัวต้านทาน ทำหน้าที่ Pull-up ภายในไว้ทำให้เมื่อทรานซิสเตอร์ที่ทำหน้าที่ ขับสัญญาณเอาต์พุทนั้น หยุดทำงาน ก็จะเป็น ผลให้ ขา สัญญาณนี้อยู่ในสถานะ High Impedance แทน

3.4.2 การใช้งานเป็นพอร์ตเอาต์พุต

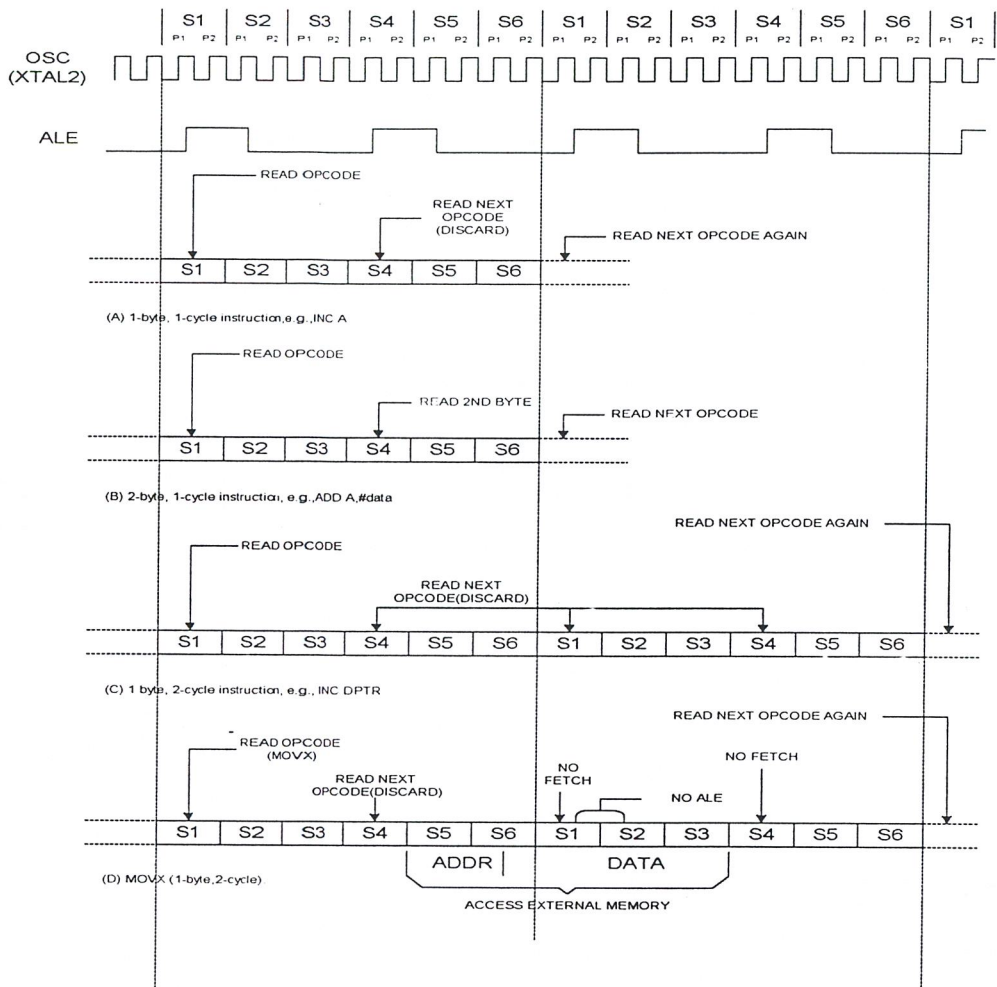
เมื่อมีการส่งข้อมูลที่มีค่าเป็น 0 ให้กับแต่ละบิตของพอร์ตทุกพอร์ต ข้อมูลนี้จะถูกส่งให้กับ ฟลิป-ฟลอป ซึ่งจะค้างค่านี้เอาไว้ และมีผลทำให้ทรานซิสเตอร์ที่ทำหน้าที่ขับ สัญญาณเอาต์พุต นั้นทำงาน ดังนั้นขาสัญญาณก็จะมีสถานะเป็นลอจิกต่ำด้วย ส่วนการส่งข้อมูลที่มีค้ เป็น 1 ออกมานั้น ใน กรณี ที่เป็นการทำงาน ในแต่ละบิตของ พอร์ต 1 , 2 หรือ 3 จะทำให้ทรานซิสเตอร์ที่ทำหน้าที่ขับสัญญาณ เอาท์พุตนั้นหยุดทำงาน มีผลทำให้ขาของสัญญาณเป็น ลอจิกสูงด้วยตัวต้านทานที่ Pull-up อยู่ภายใน นั้น แต่สำหรับการทำงานในแต่ละบิตของพอร์ต 0 จะมีผลที่แตกต่างออกไป โดยขาสัญญาณจะเป็น สถานะ อิมพีแดนซ์สูงแทน เนื่องจากไม่มีตัวต้าน ทานภายในเชื่อมต่ออยู่นั่นเอง ดังนั้นในการใช้งาน พอร์ต 0 เป็นการเอาต์พุตข้อมูล จึงจำเป็นต้องใช้ตัวต้านทานภายนอก Pull-up สัญญาณไว้กับไฟเลี้ยงแทน

3.5 ฐานเวลาในการทำงานของซีพียู 8051

ซีพียูตระกูล MCS-51 มีวงจรรอสซิโลเตอร์อยู่ภายใน สำหรับการสร้างพัลส์ของสัญญาณนาฬิกาซึ่งจะนำไปเป็นฐานเวลาหรือ การกำหนดจังหวะการทำงานของหน่วย การทำงาน ทั้งหมดให้ สอดคล้องกัน (Synchronization) โดยปกติแล้วก็มักจะทำโดยการใช้คริสตอลเชื่อมต่อ เข้ากับขาสัญญาณ XTAL1 และ XTAL2 หรืออาจจะใช้สัญญาณนาฬิกาจากภายนอกก็ได้

พัลส์ความถี่ของสัญญาณนาฬิกาจะเรียกว่า Pulse และคาบของสัญญาณนาฬิกาเรียกว่า คาบ เวลาออสซิลเลเตอร์ (Oscillator Period) คาบเวลาออสซิลเลเตอร์จำนวน 2 คาบเรียกว่า State ซึ่งจะนำไปใช้เป็นช่วงเวลาพื้นฐานการทำงานย่อยของไมโครคอนโทรลเลอร์ ช่วงเวลาของ State จำนวน 6 ครั้งเรียกว่า แมชชีนไซเคิล (Machine Cycle) ดังนั้นค่าเวลาหนึ่งแมชชีนไซเคิลจะใช้เวลา 12 คาบเวลาออสซิลเลเตอร์ ค่าของแมชชีนไซเคิลนี้จัดเป็นช่วง เวลาค่าน้อยที่สุด ในการทำคำสั่งใดคำสั่งหนึ่ง ซึ่งหากว่าเป็นคำสั่งที่ซับซ้อนมาก ก็ต้องใช้เวลานาน สองถึงสาม แมชชีนไซเคิล

จากรูปที่ 3-7 จะเห็นว่าหากทำคำสั่งที่ใช้เวลา 1 แมชชีนไซเคิลแล้ว จะมีการอ่านคำสั่งที่สเตท 1 หากคำสั่งมีขนาด 2 ไบต์ ก็จะมีการ Fetch ไบท์ที่สองของคำสั่งที่สเตทที่ 4 ของคำสั่งส่วนคำสั่งที่ ใช้เวลา 2 แมชชีนไซเคิลนั้น จะมีการอ่าน Opcode ที่สเตทแรก และระหว่างนั้นจะไม่มีการ Fetch คำสั่งถัดไปเข้ามา จนกว่าจะทำคำสั่งนั้นเสร็จสิ้น จึงจะเริ่ม Fetch คำสั่งถัดไป



รูปที่ 3-7 ไช้เกิดการทำงานของไมโครคอนโทรลเลอร์ MCS-51

คำว่า 1 แมกซีนไช้เกิด คือช่วงเวลาการทำงาน ตั้งแต่ S1 จนถึง S6 การทำงานในหนึ่งคำสั่งจะใช้เวลาเพียง 1 μ s ปรกติแล้วชิพไช้จะ Run ด้วยความเร็วเท่ากับ 12 MHz ดังนั้นคล็อก 12 ลูกจะใช้เวลาเท่ากับ 1 μ s

3.6 การอินเตอร์เฟสโดยพอร์ต RS-232

ลักษณะของการส่งข้อมูลแบบอนุกรมนั้น ข้อมูลจะถูกส่งออกมาทีละบิต จากตัวอุปกรณ์ส่งไปยังอุปกรณ์รับ ช่องสัญญาณในการส่งข้อมูลอาจจะใช้เพียง 1 หรือ 2 ช่องสัญญาณเท่านั้น ทำให้ค่าใช้จ่ายในการสื่อสารถูกกว่าแบบขนาน แต่อัตราการส่งข้อมูลจะช้ากว่าการส่งแบบขนาน ในการส่งข้อมูลแบบอนุกรม ข้อมูลที่ต้องการส่งจะอยู่ในลักษณะเป็นไบนารี จะถูกทยอยส่งทีละบิต และทาง อุปกรณ์รับจะต้องรับข้อมูลเข้ามาทีละบิต แล้วมารวมกันเป็นไบนารีซึ่งทางด้านอุปกรณ์รับจะต้องคอย ตรวจสอบว่าบิตใดเป็นบิตเริ่มแรกของไบนารีนั้น การตรวจสอบจะขึ้น อยู่กับรูปแบบของรหัสของ บิตที่ใช้ในการรับส่ง

ข้อมูลแบบอนุกรม ระหว่างไมโครคอมพิวเตอร์กับอุปกรณ์ภายนอกนั้น จำเป็น ต้องมีมาตรฐานในการรับส่ง ซึ่งมาตรฐานที่นิยมมากที่สุดก็คือมาตรฐาน RS-232

3.6.1 มาตรฐาน RS-232

เพื่อที่จะให้อุปกรณ์ จากผู้ผลิตต่างกันทำงานร่วมกันได้ มาตรฐานหลายชนิดจึงได้รับการออกแบบขึ้น มาตรฐานที่ใช้กันอย่างกว้างขวางที่สุดคือ RS-232C ซึ่งโดยปกติไมโครคอมพิวเตอร์จะมีพอร์ตที่เป็นแบบอนุกรมอยู่ในตัวอยู่แล้วและจะทำหน้าที่รับส่งข้อมูลในแบบอนุกรม ตามจุดประสงค์ของมาตรฐาน RS-232C นั้น เพื่อจะสามารถเชื่อมต่อกันระหว่างอุปกรณ์รับส่งข้อมูลปลายทาง (Data Terminal Equipment : DTE) เช่น พอร์ตของคอมพิวเตอร์หลักหรืออุปกรณ์ ปลายทาง กับอุปกรณ์สื่อสารข้อมูล (Data Communication Equipment : DCE) หมายถึงอุปกรณ์ที่สามารถแปลงรูปคลื่นดิจิทัล ไปเป็นสัญญาณที่เหมาะสมสำหรับการส่งผ่านสายโทรศัพท์ หรือตัวกลางการสื่อสารอย่างอื่น โดยกระบวนการ ผสมสัญญาณ (Modulation)

3.6.2 การอินเตอร์เฟสตามมาตรฐาน RS-232C

มาตรฐาน RS-232C ใช้สัญญาณเพียงเส้นเดียว ในการส่งสัญญาณ โดยสัญญาณ ที่ส่งไปได้ทิศทางเดียว สำหรับความเร็วและระยะทางของการเชื่อมต่อ RS-232C สามารถเชื่อมต่อการถ่ายโอนข้อมูลได้ถึง 200 Kbps ซึ่งเพียงพอสำหรับไมโครคอนโทรลเลอร์ที่มีอัตรา 110-9600 บอด ความยาวของสายเชื่อมสัญญาณระหว่าง DTE และ DCE โดยสัญญาณตามมาตรฐานของ RS-232C จำกัดอยู่ที่ 50 ฟุตหรือประมาณ 15 เมตร ซึ่งเพียงพอสำหรับการสื่อสาร ไมโครคอมพิวเตอร์กับอุปกรณ์ภายนอกสำหรับแรงดันของระดับสัญญาณจะถูกกำหนด ลงใน 2 บริเวณ คือ

- แรงดันไฟบวก (สถานะ Space) อยู่ระหว่าง +5 ถึง +15 โวลต์สำหรับเอาต์พุต และระหว่าง +3 ถึง +15 โวลต์สำหรับอินพุตความแตกต่างมีไว้เพื่อกรณีที่แรงดันไฟฟ้าสูญหายเนื่องจากความยาวของสายสัญญาณ
- แรงดันไฟลบ (สถานะ Mark) ถูกกำหนดไว้ระหว่าง -5 ถึง -15 โวลต์ สำหรับเอาต์พุต และระหว่าง -3 ถึง -15 โวลต์สำหรับอินพุต

ซึ่งจะเห็นได้ว่าถ้าให้สายสัญญาณยาวเกินไป ระดับแรงดันไฟฟ้าจะตกลงเกินขอบเขตที่กำหนด นอกจากนี้ค่าความจุไฟฟ้าที่เกิดขึ้น จะมีผลกับคุณภาพของสัญญาณ โดยทำให้การเปลี่ยนสถานะจากแรงดันไฟบวกไปเป็นแรงดันไฟลบนั้นไม่ชัดเจน เนื่องจาก RS-232C ไม่ได้ออกแบบให้นำไปใช้กับระยะทางไกล ดังนั้นถ้าอุปกรณ์อยู่ห่างกันมาก อาจจำเป็นต้องใช้โมเด็ม หรือวิธีการอื่น ๆ แทน

บทที่ 4

การออกแบบและหลักการทำงาน

ระบบเก็บข้อมูลในโครงการนี้ ประกอบด้วย 3 ส่วนใหญ่ๆ คือ ส่วนเซ็นเซอร์ ส่วนควบคุม และ ส่วนประมวลผล ซึ่งจะมีการประมวลผลทั้งบนไมโครคอนโทรลเลอร์ และบนคอมพิวเตอร์

- ส่วนของตัวอุปกรณ์เซ็นเซอร์นั้นจะใช้ LM335 ซึ่งจะมีการเปลี่ยนแปลงแรงดันทางด้านเอาต์พุตที่สัมพันธ์กับค่าของอุณหภูมิที่เปลี่ยนแปลงค่อนข้างเป็นเชิงเส้น
- ส่วนควบคุมระบบในที่นี้จะใช้ไมโครคอนโทรลเลอร์ MCS-51 เป็น ตัวควบคุม การทำงานทั้งหมดของระบบ (ไม่รวมส่วนที่เป็นอุปกรณ์เซ็นเซอร์) ในส่วนควบคุมนี้จะรวมทั้งส่วนประมวลผลโดยไมโครคอนโทรลเลอร์ การแปลงสัญญาณอนาลอกเป็นดิจิตอลและข้อมูลที่ได้ออกจากการสุ่มจะถูกพักไว้ที่หน่วยความจำขนาด 32 กิโลไบต์เพื่อส่งต่อไปประมวลผลยังคอมพิวเตอร์ต่อไป
- ส่วนประมวลผลบนคอมพิวเตอร์ จะเป็นการนำเอาข้อมูลที่ได้อจากอุปกรณ์ดาด์ล็อกเกอร์มาทำการประมวลผล และ พล็อตกราฟความสัมพันธ์ของค่าแรงดันกับอุณหภูมิ โดยสามารถเลือกดูเส้นกราฟของแต่ละช่องได้ด้วยการป้อนข้อมูลที่คีย์บอร์ดของคอมพิวเตอร์

ซึ่งรายละเอียดของหลักการออกแบบ และ หลักการทำงานของ แต่ละส่วนนั้น จะได้กล่าว โดยละเอียดต่อไป

4.1 วงจรทางด้านภาคเซ็นเซอร์

ในการตรวจวัดอุณหภูมิเราจะใช้ LM335 เป็นตัวอุปกรณ์เซ็นเซอร์ เนื่องจากว่าง่ายต่อการ ปรับแต่ง (Calibrated) สามารถทำงานได้อย่างต่อเนื่องในช่วงอุณหภูมิ -40°C ถึง $+100^{\circ}\text{C}$ มีอินพุตอิมพีแดนซ์ต่ำ และให้แรงดันทางขาออกที่เป็นแบบเชิงเส้น โดยมีค่าผิดพลาด 0.5% ที่อุณหภูมิห้อง (25°C) แรงดันเอาต์พุตของตัวเซ็นเซอร์สามารถคำนวณได้จาก

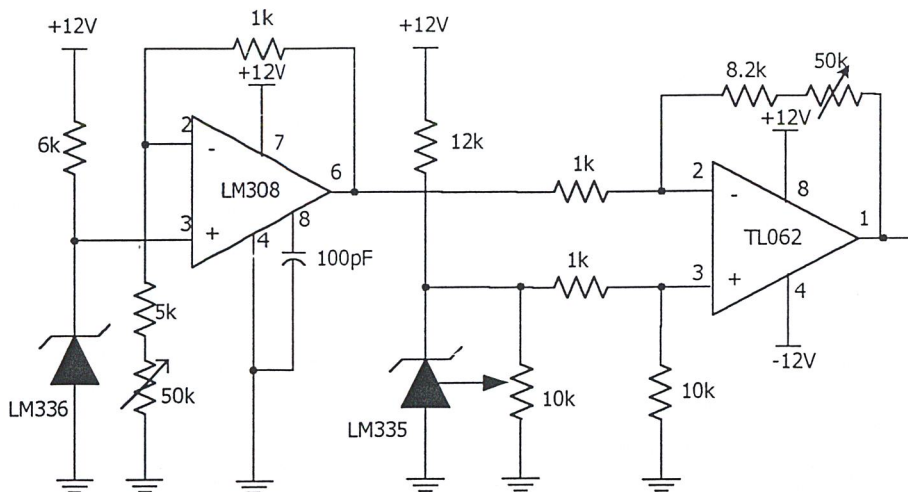
$$V_{\text{OUT}_T} = V_{\text{OUT}_{T_0}} \times \frac{T}{T_0} \quad (4.1)$$

เมื่อ T : คืออุณหภูมิที่วัดได้ ($^{\circ}\text{K}$)

T_0 : คืออุณหภูมิอ้างอิง (298°K)

$V_{\text{OUT}_{T_0}}$ คือค่าแรงดันเอาต์พุตที่อุณหภูมิอ้างอิง (2.982V ที่ 25°C)

V_{OUT_T} คือแรงดันเอาต์พุตที่ LM335



รูปที่4-1 วงจรตรวจวัดอุณหภูมิ

จากวงจร รูปที่ 4-1 จะใช้ LM336 เป็นตัวสร้างแรงดันอ้างอิงให้กับวงจร ในที่นี้คือ 2.5 โวลต์ หลังจากนั้นก็จะไปผ่าน LM308 ซึ่งเป็นวงจรขยายที่สามารถปรับค่าอัตราขยายเพื่อให้เราได้แรงดันเอาต์พุต (ที่ขา 6) ตามที่เราต้องการ โดยที่เอาต์พุตของ LM308 เราจะปรับค่าความต้านทาน R1 จนทำให้ได้แรงดันที่เอาต์พุตเท่ากับ 2.731 โวลต์ ที่อุณหภูมิห้อง ค่าที่ได้ นี้ จะคงที่ตลอดเวลา ไม่มีการเปลี่ยนแปลงตามค่าอุณหภูมิแต่อย่างใด และที่เอาต์พุตของตัวอุปกรณ์เซ็นเซอร์ (LM335) เราจะปรับค่า R2 เพื่อให้ได้แรงดันที่เอาต์พุตมีค่า 2.982 โวลต์ ค่าที่ได้นี้จะเป็ค่าอ้างอิงที่อุณหภูมิห้องแต่เมื่อใดที่อุณหภูมิมีการเปลี่ยนแปลงจะทำให้ค่าแรงดันเอาต์พุตที่ตัวเซ็นเซอร์มีการเปลี่ยนแปลงที่สัมพันธ์กับค่าอุณหภูมิที่เปลี่ยนไปนั้น

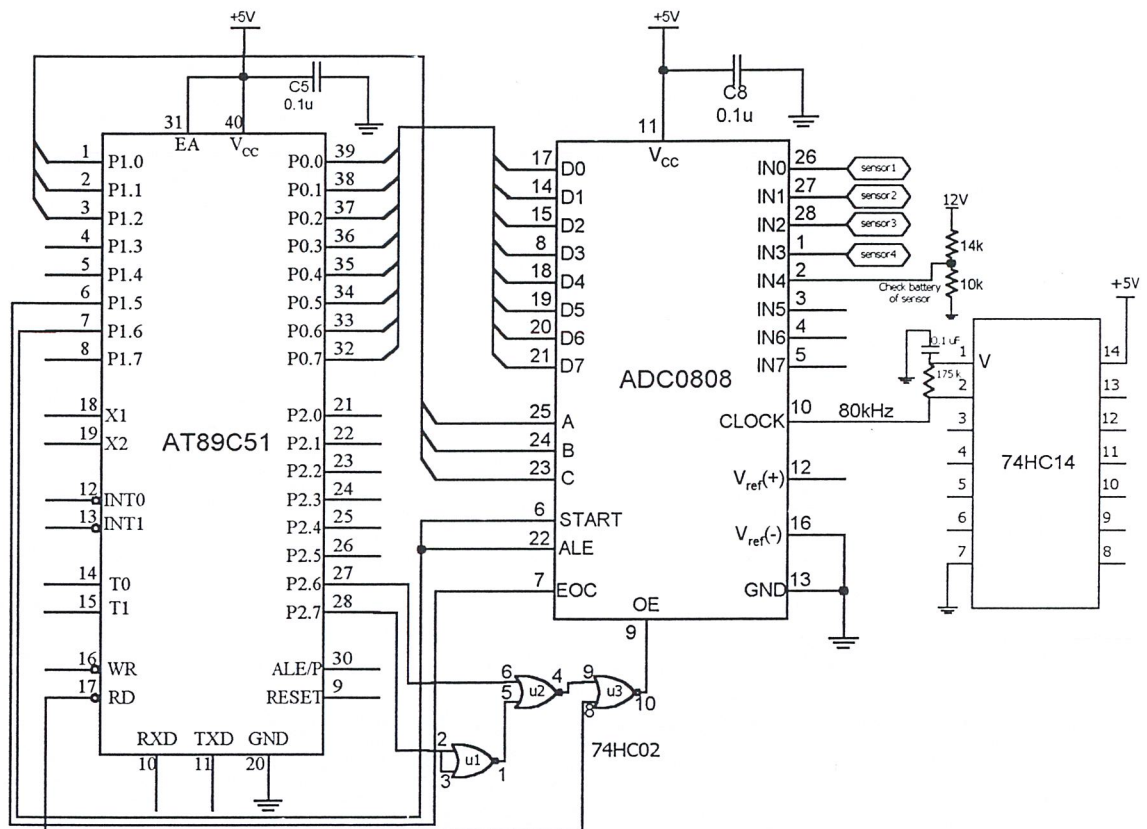
เนื่องจากแรงดันผลต่างที่ได้จากวงจรมีการเปลี่ยนแปลงเท่ากับ $10 \text{ mV}/^{\circ}\text{C}$ ดังนั้นจึงได้มีการนำไปผ่านวงจรขยายความแตกต่างเพื่อให้ค่าผลต่างที่ได้มีการเปลี่ยนแปลงเท่ากับ $100 \text{ mV}/^{\circ}\text{C}$ เนื่องจากความสามารถอุปกรณ์แปลงสัญญาณอนาลอกเป็นดิจิตอล สามารถแปลงสัญญาณได้ตั้งแต่ 0 ถึง 5 โวลต์ และมีการเปลี่ยนแปลงเท่ากับ $20 \text{ mV}/^{\circ}\text{C}$ ดังจะได้กล่าวโดยละเอียดถึงการออกแบบ และหลักการทำงานของอุปกรณ์ดังกล่าวในภาคการออกแบบส่วนควบคุมในหัวข้อต่อไป

4.2 การออกแบบภาคควบคุม

4.2.1 การเชื่อมต่อ ADC0808 กับไมโครคอนโทรลเลอร์ MCS-51

ในการแปลงสัญญาณอนาลอกเป็นดิจิตอลนั้นเราสามารถเขียนโปรแกรมเพื่อใช้งาน ไอซีแปลงสัญญาณอนาลอกเป็นสัญญาณดิจิตอลที่ใช้การเชื่อมต่อแบบ I²C (Inter-IC Communication) เบอร์ ADC0808

- ขาข้อมูล D0-D7 จะต่อเข้ากับขาพอร์ต P0.0-P0.7 ซึ่งเป็นคาตาบัส
- ขา Start และ ALE ต่อเข้ากับขาพอร์ต P1.6
- ขา EOC (End of Conversion) ต่อเข้ากับขาพอร์ต P1.5
- ขา A, B, C ต่อเข้ากับขาพอร์ต P1.0 ถึง P1.3 ตามลำดับ



รูปที่ 4-2 การเชื่อมต่อไมโครคอนโทรลเลอร์กับ ADC0808

การทำงาน

การแปลงสัญญาณอนาลอกเป็นดิจิตอลจำเป็นต้องส่งสัญญาณเริ่มต้นการทำงาน (Start) มายัง ADC ก่อน ความเร็วในการแปลงสัญญาณเท่าไรนั้นขึ้นอยู่กับชนิดของไอซีที่ใช้ เช่นเบอร์ ADC0808 จะใช้เวลาในการแปลง 100µs เมื่อแปลงเสร็จแล้วก็ จะมีสัญญาณออกมาที่ขา EOC เป็นลอจิก “1” ดังนั้นในการเขียนโปรแกรมต้องทำการเขียนพอร์ต ADC ก่อนหลังจากนั้นก็รอให้ขา EOC เป็นลอจิก “1” แล้วจึงอ่านเข้าไปเป็นอันว่าสิ้นสุดการทำงาน 1 รอบหรืออีกวิธีหนึ่ง เมื่อทำการ Start ADC แล้วให้วนดูปรอบจนกว่าจะกินเวลาครบ 100µs แล้วจึงมาอ่านค่าจาก ADC ไปเก็บ

ช่วงเวลาของการแปลงสัญญาณจะเริ่มขึ้นตั้งแต่สัญญาณนาฬิกาถูกแรกถูกส่งเข้าไปเตรียมระบบ ไปจนถึง เมื่อสถานะของรีจิสเตอร์กลับมาพร้อมทำงาน (Ready) อีกครั้งหนึ่ง ซึ่งจะต้องใช้จำนวนสัญญาณนาฬิกาเท่ากับ $n+1$ เท่ากับจำนวนบิตของรีจิสเตอร์ดังนั้นถ้าวงจรแปลงสัญญาณอนาลอกเป็น

ดิจิทัลแบบประมาณค่ารบกวน 8 บิต ที่ใช้สัญญาณนาฬิกาความถี่ 80 kHz เวลาที่ใช้ในการแปลงสัญญาณจะคำนวณได้ดังนี้

คำนวณคาบเวลาของสัญญาณนาฬิกา

$$F_{\text{clk}} = 80\text{kHz}$$

$$T = \frac{1}{F_{\text{clk}}} = T_1 + T_2 \cong \frac{1}{80 \times 10^3} \cong 12.5\mu\text{s}$$

$$T_1 = (R_a + R_b)C \times \log\left(\frac{V_{\text{cc}} - \frac{2}{3}V_{\text{cc}}}{V_{\text{cc}} - \frac{1}{3}V_{\text{cc}}}\right)$$

$$T_2 = R_a C \times \log\left(\frac{V_{\text{cc}} - \frac{2}{3}V_{\text{cc}}}{V_{\text{cc}} - \frac{1}{3}V_{\text{cc}}}\right)$$

จำนวนสัญญาณนาฬิกาทั้งหมดที่ใช้ในการแปลงเท่ากับ

$$n+1 = 8+1 = 9$$

เวลาทั้งหมดที่ใช้เท่ากับ

$$9 \times 12.5\mu\text{s} = 112.5\mu\text{s}$$

ความเที่ยงตรงของวงจรแปลงสัญญาณอนาลอกเป็นสัญญาณดิจิทัล เป็นการเปรียบเทียบแรงดันอนาลอกของวงจรแปลงสัญญาณอนาลอก กับแรงดันที่ควรเกิดขึ้นจริงเช่นข้อมูลดิจิทัลสูงสุดของวงจร ADC ขนาด 8 บิตเมื่อเทียบกับแรงดันอนาลอกควรมีขนาดเท่ากับ 5.0000 โวลต์แต่จากการคำนวณจะได้ค่าแรงดัน 4.9804 โวลต์ นั่นคือความผิดพลาดที่เกิดขึ้น ดังนั้นในวงจร ADC ขนาด 8 บิต จะมีความผิดพลาดเป็น $\pm \frac{1}{2}$ LSB

ค่าเวลาในการแปลงสัญญาณเป็นค่าเวลาทั้งหมดที่วงจรแปลงสัญญาณอนาลอกเป็นดิจิทัลใช้ในการแปลงสัญญาณเสร็จสิ้น พารามิเตอร์นี้มักจะปรากฏในคุณสมบัติของไอซีที่ทำงานเป็นวงจร ADC เมื่อไอซีทำการแปลงสัญญาณเสร็จสิ้นลง จะส่งสัญญาณที่เรียกว่า EOC ออกมา

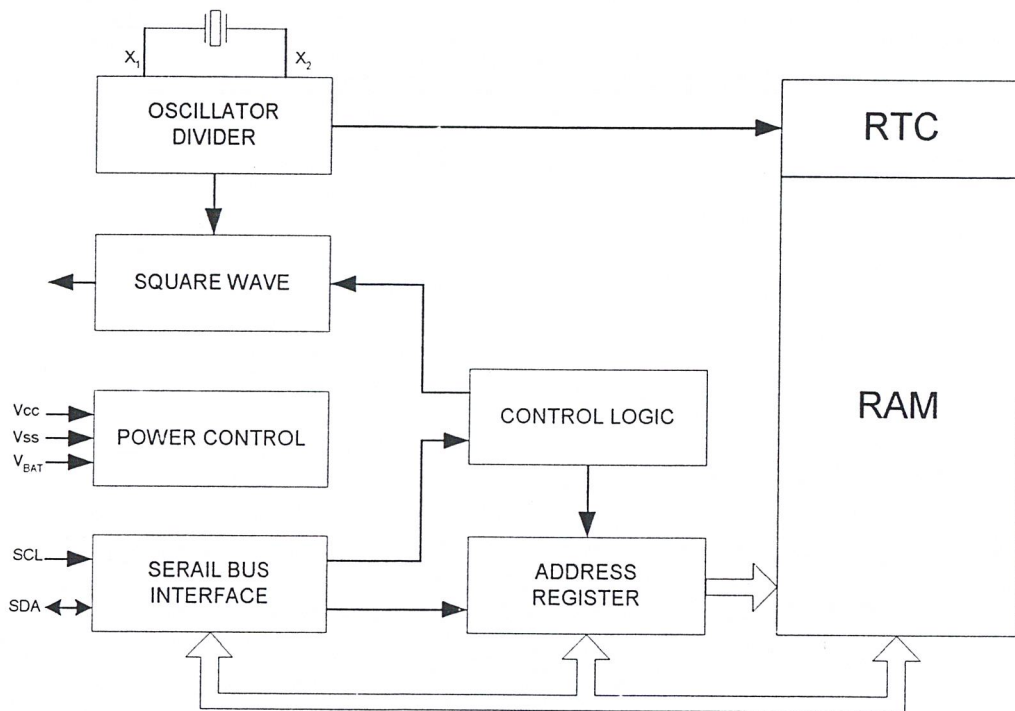
4.2.2 การสร้างฐานเวลาให้กับไมโครคอนโทรลเลอร์

ในการสร้างฐานเวลาให้กับไมโครคอนโทรลเลอร์จะใช้ ไอซี DS1307 โดยจะให้ข้อมูลเกี่ยวกับเวลาจริงทั้งหมด ไม่ว่าจะเป็นค่าของเวลาที่ละเอียดถึงหลัก วินาที นาที ชั่วโมง วันที่ วันในสัปดาห์ เดือน และ ปี ด้วยคุณสมบัติทางเทคนิคที่สำคัญดังนี้

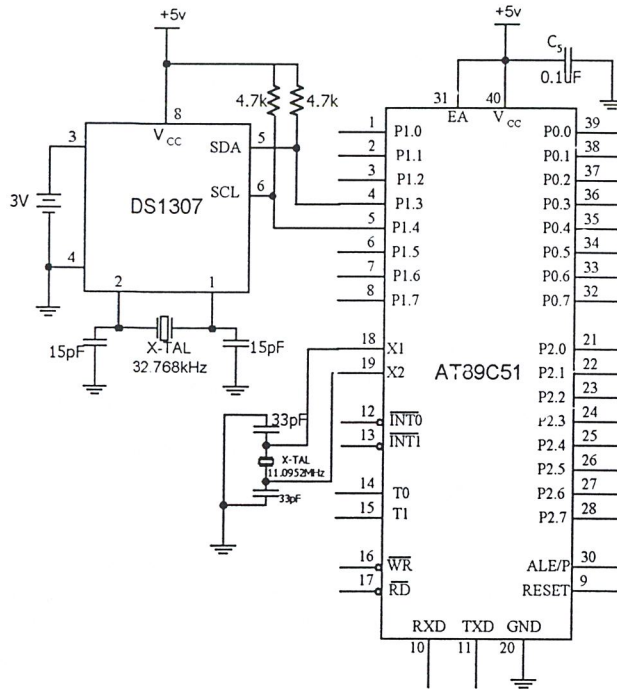
- เป็นไอซีรีดไทม์คล็อกให้ข้อมูลตั้งแต่วินาทีจนถึงปี
- มีหน่วยความจำอนาล็อก 56 ไบต์อยู่ภายใน สามารถใช้เก็บข้อมูลทั่วไปได้

- ใช้การเชื่อมต่อแบบระบบ I²C
- มีวงจรตรวจจับไฟเลี้ยง ต่ำ หรือ ขาดหาย ไปอย่าง อัตโนมัติ และสามารถรักษา ข้อมูลเวลาไว้ได้แม้ไม่มีไฟเลี้ยงไอซี

ขา 1 และ 2 ใช้ต่อกับคริสตอลความถี่มาตรฐาน 32.768 kHz เพื่อใช้เป็นฐานเวลาในการสร้าง ค่าเวลาจริงใน การใช้งาน ต้องต่อคริสตอลเข้า กับ ขาทั้งสองนี้และที่แต่ละขาต้องต่อตัวเก็บประจุค่าต่างๆ ประมาณ 15 pF ครอบงับขากราวด์ด้วย



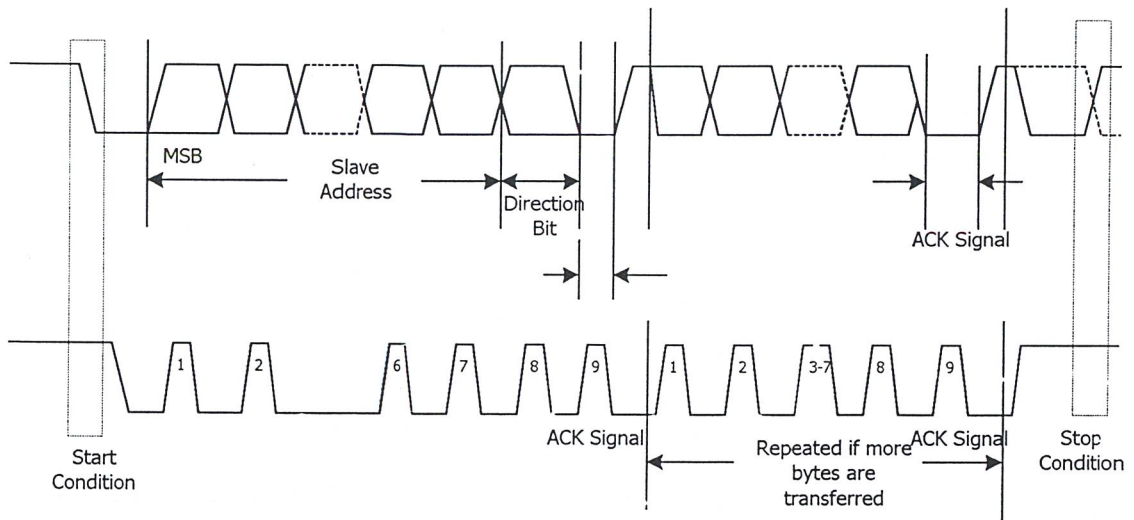
รูปที่4-3 แสดงถึงส่วนประกอบหลักที่สำคัญของ DS1307



รูปที่ 4-4 การเชื่อมต่อไมโครคอนโทรลเลอร์กับไอซีรีลไทม์คล็อก

การทำงานของ DS1307

วงจรรอสซิลเลทเตอร์ ถือเป็นหัวใจหลักของไอซีกำหนดสัญญาณนาฬิกาจริง (Real time clock) เนื่องจากเป็น จุดเริ่มต้นของ การสร้างข้อมูลเวลาจริง ในขณะที่ DS1307 ทำงานที่ขา SQW/OUT จะมี สัญญาณพัลส์สี่เหลี่ยมส่งออกมาตลอดเวลาในกรณีที่มีการอินิเตลวงจรกำเนิดสัญญาณพัลส์ที่รีจิสเตอร์ควบคุม ค่าความถี่ของสัญญาณนี้สามารถเลือกได้ 4 ค่าคือ 1 Hz , 4.096kHz, 8.192kHz และ 32kHz โดยการกำหนดค่า RS1 และ RS0 ดังแสดงในตาราง 4-1 พร้อมกันนั้นจะมีการเก็บค่าของเวลาไว้ในหน่วยความจำซึ่งมีขนาด 64 ไบต์ แต่จัดสรรให้ใช้เก็บข้อมูลเวลา 8 ไบต์ และเป็นหน่วยความจำสำหรับเก็บข้อมูลทั่วไปอีก 56 ไบต์



รูปที่ 4-5 การส่งข้อมูลบน Serial Bus ของ DS1308

รีจิสเตอร์ควบคุม (Control Register) ที่ใช้สำหรับควบคุมการทำงานของขา SQW/OUT

BIT7	BIT6	BIT5	BIT4	BIT3	BIT2	BIT1	BIT0
OUT	X	X	SQWE	X	X	RS1	RS0

- OUT (Output control): บิตนี้ใช้ควบคุมระดับเอาต์พุตของขา SQW/OUT ในกรณีที่มีการดีสเอเบิลการกำเนิดสัญญาณพัลส์ ถ้า SQWE = 0 ระดับสัญญาณลอจิกที่ขา SQW/OUT จะเท่ากับ "0" และจะเท่ากับ "1" เมื่อขา SQWE เท่ากับ "1"
- SQWE (Square Wave Enable): บิตนี้เมื่อเซตค่าลอจิกเป็น "1" จะเป็นการ Enable เอาต์พุตออสซิลเลเตอร์ ความถี่ของสัญญาณพัลส์จะขึ้นอยู่กับค่าของบิต RS0 และ RS1
- RS (Rate Select): บิตเหล่านี้ใช้ในการควบคุมความถี่เอาต์พุตพัลส์ ตารางที่ 4-1 แสดงถึงรายละเอียดของการเลือกความถี่คลื่นพัลส์โดยบิต RS ทั้งสองตัว
- SDA และ SCL (ขา 5 และ 6) เป็นขาสำหรับเชื่อมต่อกับไมโครคอนโทรลเลอร์บนระบบ I²C ซึ่งในที่นี้จะต่อกับ P1.3 และ P1.4 ตามลำดับ

ตารางที่ 4-1 การเลือกความถี่ของสัญญาณพัลส์

RS1	RS0	SQW/OUT Frequency
0	0	1 Hz
0	1	4.096 kHz
1	0	8.192 kHz
1	1	32.768 kHz

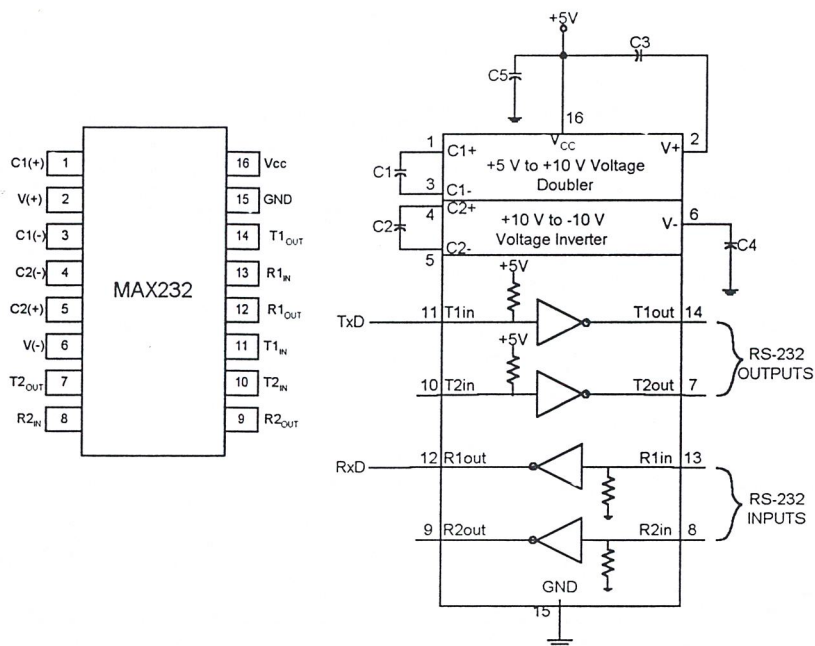
ในการส่งข้อมูลทุกครั้งจะเริ่มต้นด้วยสภาวะเริ่มต้น (Start Condition) และสิ้นสุดการส่งข้อมูลด้วยสภาวะหยุด (Stop Condition) จำนวนไบนารีของข้อมูลที่ทำการส่งในระหว่างสภาวะเริ่มต้นจนถึงสภาวะหยุดการส่งนั้นจะไม่มีขีดจำกัด แต่จะถูกกำหนดโดยอุปกรณ์ควบคุม ในการส่งไบนารีข้อมูลนั้นอยู่ที่อุปกรณ์รับจะมีการส่งสัญญาณเพื่อตอบรับการส่งข้อมูล (Acknowledge Signal) ไปที่ตัวส่งเพื่อบอกให้รู้ว่าสามารถส่งข้อมูลได้หรือข้อมูลที่ส่งไปได้รับเรียบร้อยแล้วโดยอุปกรณ์ตัวรับจะต้องส่งสัญญาณดังกล่าวไปพร้อมกับบิตที่ 9 หลังจากที่มีการรับข้อมูลทุกครั้ง

วงจรควบคุมพลังงานไฟฟ้าจะคอยตรวจสอบสถานะของไฟเลี้ยงไอซี หากไฟเลี้ยงต่ำกว่า $1.25V_{BAT}$ ก็จะควบคุมให้ DS1307 หยุดการทำงานดังนั้นในการใช้งานต้องระมัดระวังอย่าให้ไฟเลี้ยง ต่ำกว่า $1.25V_{BAT}$ หรือประมาณ 3.75 โวลต์ ในกรณีที่ V_{BAT} เท่ากับ 3 โวลต์ หากไฟเลี้ยงมีค่าต่ำกว่า V_{BAT} ไอซีจะเข้าสู่โหมดสำรองข้อมูลกระแสต่ำทันที จะไม่มีการส่งสัญญาณพัลส์ออกมาที่ขา SQW/OUT แต่วงจรสร้างฐานเวลายังคงทำงานเพื่อให้ค่าของเวลาเดินไปอย่างไม่ผิดพลาด เมื่อมีไฟเลี้ยง ปรากฏขึ้นอีกครั้ง DS1307 ก็จะสามารถให้ค่า ของเวลาที่เป็นจริงต่อไป

4.2.3 การเชื่อมต่อไมโครคอนโทรลเลอร์ กับ หน่วย ความจำภายนอก

Static RAM เป็นหน่วยความจำชนิดที่ง่ายต่อการใช้งานโดยไอซีที่นำมาต่อเป็นหน่วยความจำภายนอกได้แก่ไอซีเบอร์ 62256 โดยมีหน่วยความจำ 32 กิโลไบต์ ในการคิดค่าขนาดของหน่วยความจำนั้นสามารถคำนวณได้จากขาแอดเดรสของแรม จะเห็นว่าแรมเบอร์ 62256 มีขาแอดเดรสคือ A0-A14 หรือ 15 บิต ขนาดหน่วยความจำก็จะเท่ากับ 2^{15} ซึ่งเท่ากับ 32 กิโลไบต์

ซึ่งทำหน้าที่ในการแปลงระดับสัญญาณข้อมูลส่งของไมโครคอนโทรลเลอร์ MCS-51 จากระดับที่ทีแอล (TTL) ไปเป็นระดับของ RS-232 และทำการแปลงข้อมูลรับจากคอมพิวเตอร์จากระดับของ RS-232 เป็นระดับที่ทีแอลเพื่อให้สามารถถ่ายทอดไปยังไมโครคอนโทรลเลอร์ได้ รูปที่ 4-6 แสดงให้เห็นถึงการ จัดวางตำแหน่งขาสัญญาณและโครงสร้างภายในของไอซี MAX232 ที่จะใช้เชื่อมต่อกับพอร์ตอนุกรม ของคอมพิวเตอร์



รูปที่ 4-7 การจัดขา และ โครงสร้างภายในของ MAX232 สำหรับต่อกับพอร์ตของคอมพิวเตอร์และ ไมโครคอนโทรลเลอร์

4.2.4 การเชื่อมต่อกับผู้ใช้งาน

ในโครงงานนี้ใช้แผง LCD แสดงผลเมื่อมีการ

4.2.4.1 การเชื่อมต่อ LCD กับไมโครคอนโทรลเลอร์

โมดูล LCD จะมีส่วนประกอบหลักๆ 3 ส่วนดังนี้

ตัวแสดง (Display) ผลภายในเป็นผลึกเหลวที่สามารถแสดงผลให้เห็นโดยอาศัยแสงจากภายนอก ดังนั้นจึงต้องมีมุมในการมองข้อมูลที่แสดงผลบนจอ LCD

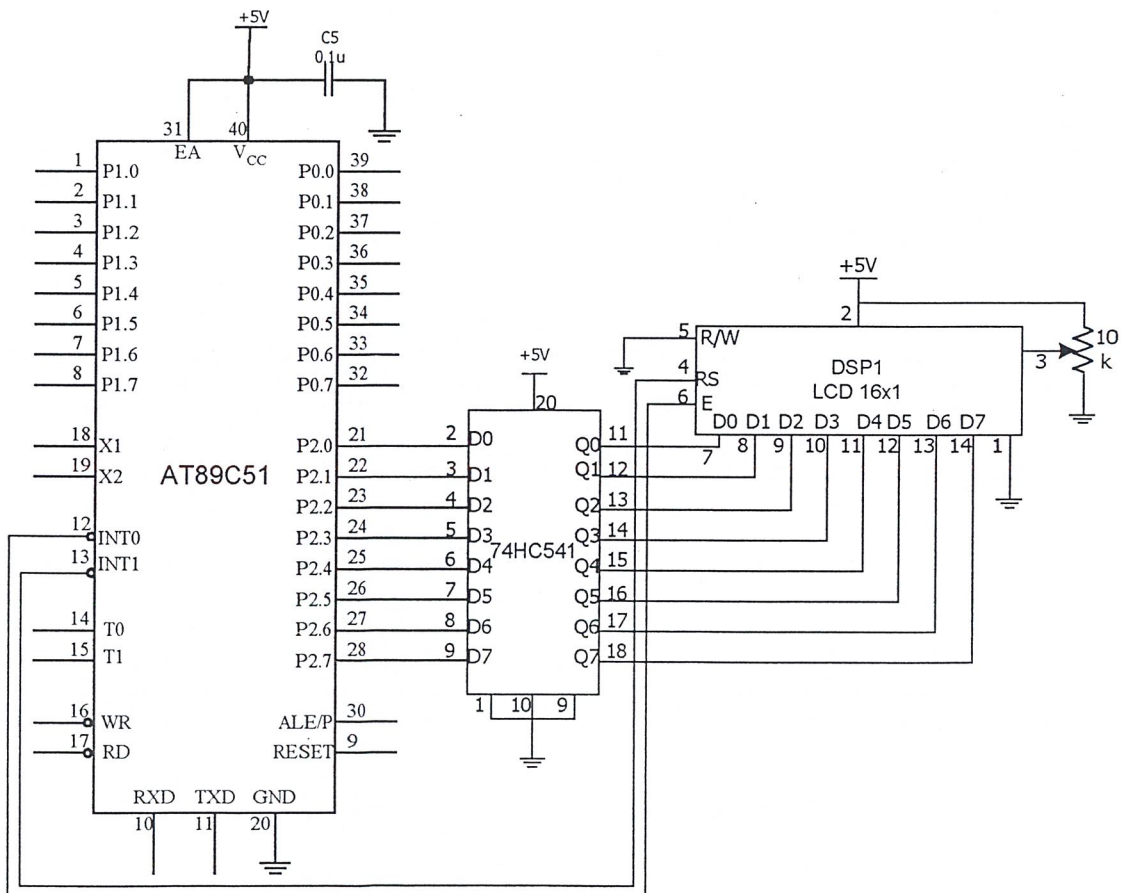
ตัวควบคุม (Controller) เป็นตัวรับข้อมูลจากอุปกรณ์ภายนอกมาควบคุมการทำงานของโมดูล LCD เช่น ลบจอภาพ แสดงตัวอักษร หรือเลื่อนเคอร์เซอร์ เป็นต้น

ตัวขับ (Driver) เป็นตัวรับสัญญาณจากตัวควบคุมมาขับให้ตัวแสดงผลแสดงข้อมูลตามที่กำหนด

ในการเชื่อมต่อโมดูลแสดงผลแบบผลึกเหลว (LCD) กับไมโครคอนโทรลเลอร์นั้นเราจะใช้ไอซี เบอร์ 74HC541 ทำหน้าที่เป็นไอซีขับเฟอ์เพื่อเพิ่มกระแสจากพอร์ตของไมโครคอนโทรลเลอร์ที่จะไป ขับ LCD นั้นมีค่าสูงขึ้น เนื่องจากว่ากระแสที่ขาพอร์ตของไมโครคอนโทรลเลอร์นั้นมีค่าต่ำ ซึ่งไม่สามารถที่จะขับโมดูล LCD ให้สว่างได้นั่นเอง.

โมดูล LCD ขนาด 16x1 มีขาต่อใช้งานทั้งสิ้น 14 ขา มีการจัดขาตั้งรูปที่ 4-8 รายละเอียดการทำงานของแต่ละขามีดังนี้

- V_{SS} (ขา 1) ต่อกาวด์
- V_{DD} (ขา 2) ต่อไฟเลี้ยง +5 โวลต์
- V_O (ขา 3) เป็นขาอินพุตรับแรงดันเพื่อปรับความเข้มของการแสดงผล
- RS (ขา 4) เป็นขาอินพุตใช้ในการแยกชนิดของข้อมูลที่ทำการประมวลผลในขณะนั้นว่าเป็นคำสั่งสำหรับรีจิสเตอร์ IR (Intruction Registe) หรือเป็นข้อมูลสำหรับรีจิสเตอร์ DR (Data Register) โดยถ้าขานี้เป็น “0” ข้อมูลที่ส่งมาจะเป็นคำสั่ง แต่ถ้าขานี้เป็น “1” ข้อมูลที่ส่งมาจะเป็นข้อมูลสำหรับการแสดงผล
- R/W (ขา 5) เป็นขาที่ใช้เลือกการอ่านหรือเขียนข้อมูลกับ LCD ถ้าเป็น “0” เป็นการกำหนดให้เขียนข้อมูล แต่ถ้าเป็น “1” จะเป็นการอ่านข้อมูล
- E (ขา 6) เป็นขาอีนเบิต LCD ให้ทำงาน
- D0-D7 (ขา 7-14) เป็นขาที่ใช้เป็นทางผ่านของข้อมูลระหว่าง LCD กับอุปกรณ์ภายนอกขนาด 8 บิต



รูปที่ 4-8 การเชื่อมต่อโมดูล LCD กับไมโครคอนโทรลเลอร์

4.2.5 สวิตช์ส่งงานคอมพิวเตอร์ระบบ

สวิตช์ที่ออกแบบไว้ในระบบดาต้าล็อกเกอร์มีทั้งหมด 3 ตัวด้วยกันซึ่งแต่ละตัวจะทำหน้าที่หลายอย่างด้วยกัน (ภาคผนวก) ได้แก่

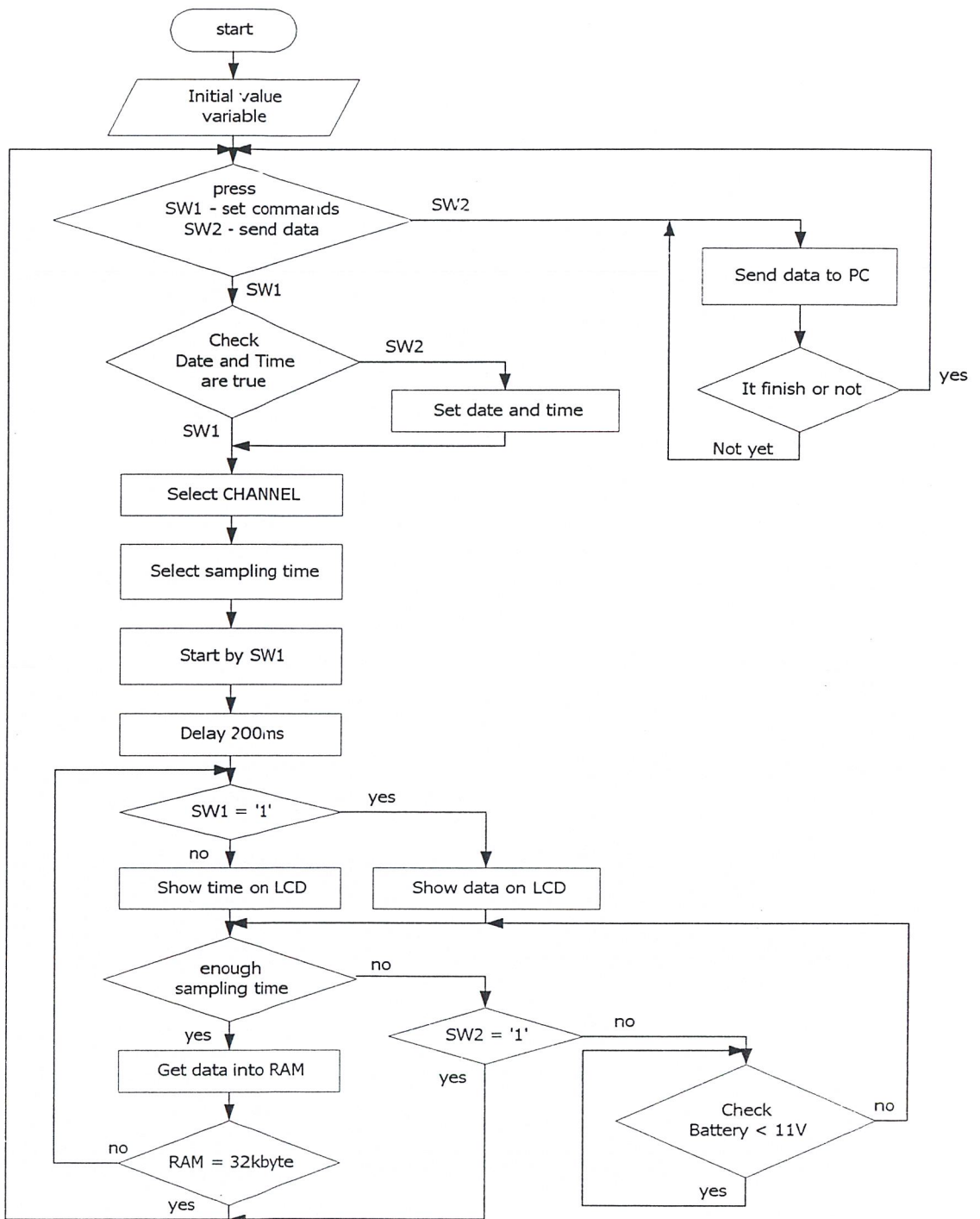
- ✦ Switch 1 (SW1)
- ✦ Switch 2 (SW2)
- ✦ Switch 3 (SW3)

4.3 ซอฟต์แวร์

ซอฟต์แวร์ของระบบประกอบด้วยสองส่วน: ส่วนแรกใช้ ในการโปรแกรม การทำงานของฮาร์ดแวร์และเชื่อมต่อกับไมโครคอมพิวเตอร์และกับผู้ใช้ ในส่วนนี้พัฒนาบน ET – AFP V1.0 ในส่วนที่สองเป็นซอฟต์แวร์บนไมโครคอมพิวเตอร์ ใช้ในการรับข้อมูลเพื่อนำมาประมวลและแสดงผล ในส่วนนี้เขียนด้วยภาษา C (Turbo C™)

4.3.1 การไหลของโปรแกรมควบคุมระบบ

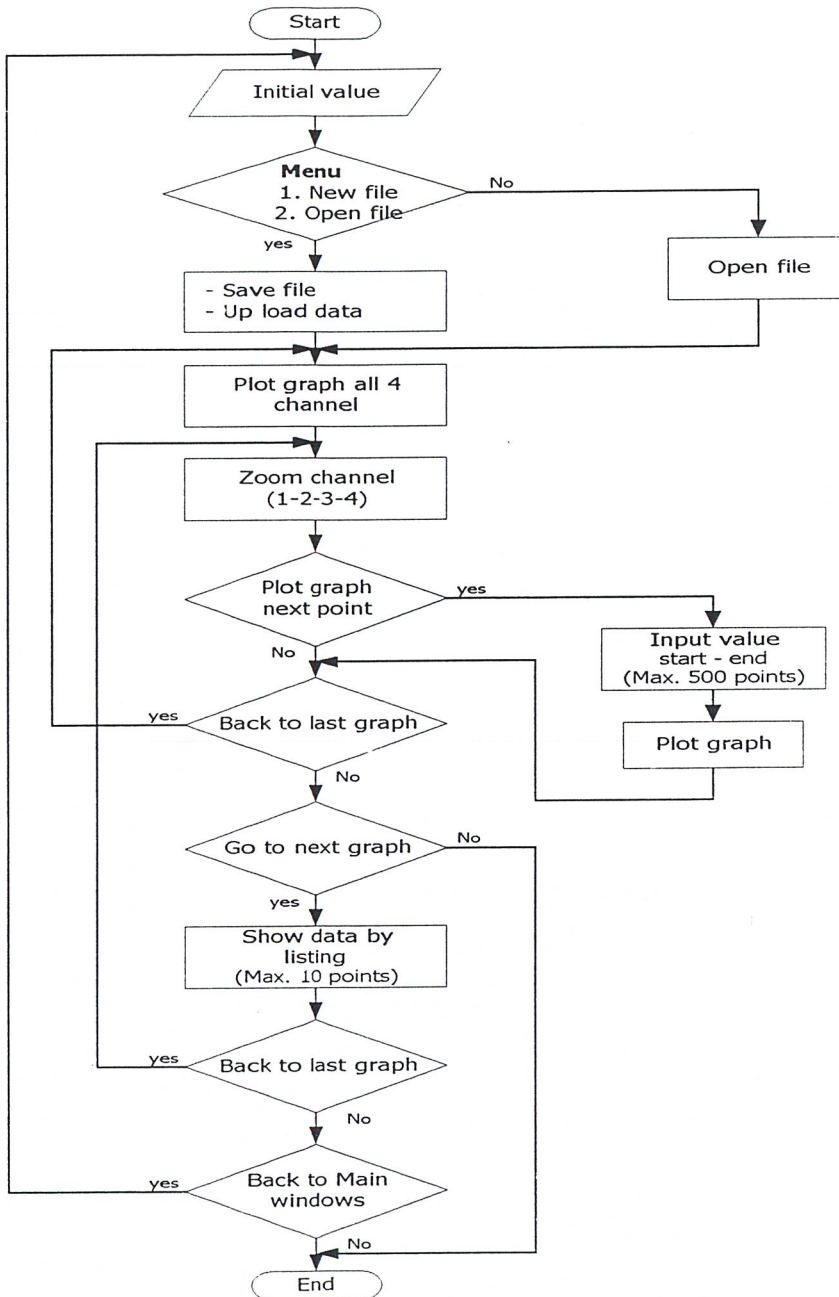
การทำงานแสดงเป็นโฟลวชาร์ตดังรูปที่4-9



รูปที่ 4-9 การไหลของโปรแกรมควบคุมระบบ

4.3.2 การไหลของโปรแกรมบนไมโครคอมพิวเตอร์

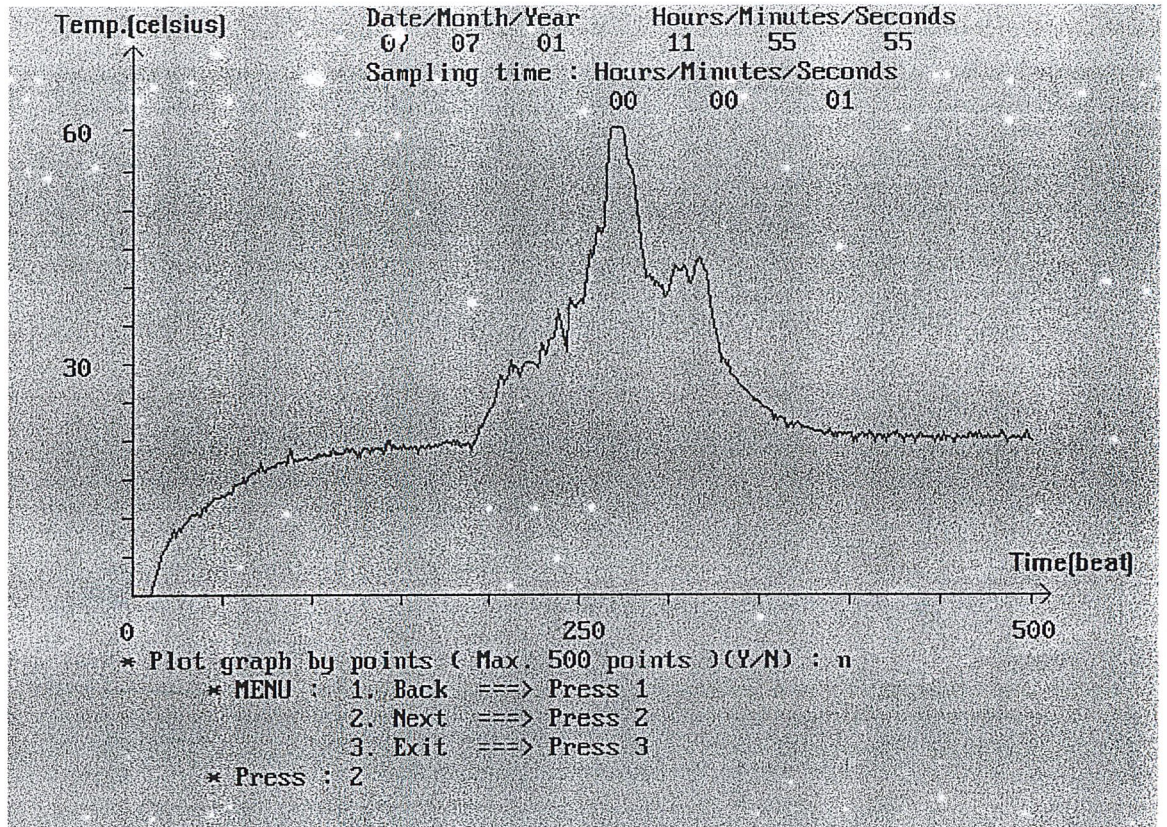
การทำงานแสดงเป็นโฟลวชาร์ตดังรูปที่ 4-10



รูปที่ 4-10 การไหลของโปรแกรมบนไมโครคอมพิวเตอร์

ที่หน้าจอแสดงผลจะบอกเวลาที่เรารับข้อมูล ค่า Sampling time และจำนวนช่องที่เราใช้เก็บข้อมูล

สมมุติว่าเราต้องการดูข้อมูลที่เก็บได้จากช่อง 1 เราก็กดเลข 1 บนคีย์บอร์ดของคอมพิวเตอร์จากนั้นที่หน้าจอจะปรากฏข้อมูลเฉพาะที่ช่อง 1 ดังรูปที่ 4-12



รูปที่ 4-12 หน้าจอแสดงข้อมูลที่เก็บในช่อง 1

4.4 การคำนวณระยะเวลาของการเก็บข้อมูล

เนื่องจากว่าเวลาของการสุ่มเก็บข้อมูลของระบบเรานั้นสามารถที่จะเลือก Sampling time ได้ตามที่เราต้องการ โดยการกดสวิทช์ที่บอร์ดของคาต้าล็อกเกอร์ดังนั้นระยะเวลาที่หน่วยความจำในตัวคาต้าล็อกเกอร์ จะสามารถเก็บข้อมูลได้ในแต่ละช่องเมื่อเราเลือก Sampling time ค่าต่างๆดังนี้

$$\text{Duration} = \frac{32768}{\text{Number of Channel}} \times \text{Sampling time}$$

กำหนดให้

Duration : ระยะเวลาที่คาต้าล็อกเกอร์สามารถเก็บข้อมูลได้

Sampling time : ช่วงระยะเวลาที่จะทำการสุ่มเก็บข้อมูล

Number of Channel : จำนวนช่องที่ ต้องการเก็บ

ตัวอย่างการคำนวณระยะเวลาที่หน่วยความจำจะสามารถเก็บข้อมูลได้ เมื่อใช้ Sampling time ค่าต่างๆ โดยใช้สมการข้างบนเราจะคำนวณได้ดังนี้

4.4.1 เก็บข้อมูลทุกๆ 1 วินาที

ถ้าเราให้คาส์ถ่วงเกออร์เก็บข้อมูลทุกๆ 1 วินาที จะได้ระยะเวลาของการสุ่มเก็บดังนี้

- เก็บ 1 ช่องจะได้เท่ากับ

$$\text{Duration} = \frac{32768}{1} \times 1 \text{Sec} = 32768 \text{Sec} = 9 \text{Hours } 6 \text{Min}$$

- เก็บ 2 ช่องจะได้เท่ากับ

$$\text{Duration} = \frac{32768}{2} \times 1 \text{Sec} = 16394 \text{Sec} = 4 \text{Hours } 33 \text{Min}$$

- เก็บทั้ง 3 ช่องจะได้เท่ากับ

$$\text{Duration} = \frac{32768}{3} \times 1 \text{Sec} = 10922 \text{Sec} = 3 \text{Hours } 2 \text{Min}$$

- เก็บทั้ง 4 ช่องจะได้เท่ากับ

$$\text{Duration} = \frac{32768}{4} \times 1 \text{Sec} = 80692 \text{Sec} = 2 \text{Hours } 16 \text{Min}$$

4.4.2 เก็บข้อมูลทุกๆ 1 นาที

- เก็บ 1 ช่องจะได้เท่ากับ

$$\text{Duration} = \frac{32768}{1} \times 60 \text{Sec} = 1966080 \text{Sec} = 546 \text{Hours } 8 \text{Min}$$

- เก็บ 2 ช่องจะได้เท่ากับ

$$\text{Duration} = \frac{32768}{2} \times 60 \text{Sec} = 983040 \text{Sec} = 273 \text{Hours } 4 \text{Min}$$

- เก็บ 3 ช่องจะได้เท่ากับ

$$\text{Duration} = \frac{32768}{3} \times 60 \text{Sec} = 819200 \text{Sec} = 182 \text{Hours } 2 \text{Min}$$

- เก็บทั้ง 4 ช่องจะได้เท่ากับ

$$\text{Duration} = \frac{32768}{4} \times 60 \text{Sec} = 491520 \text{Sec} = 136 \text{Hours } 32 \text{Min}$$

ในการคำนวณระยะเวลาที่ค่า Sampling time อื่นๆ นั้นก็ใช้หลักในการคำนวณเหมือนกับ การคำนวณด้านบน ซึ่งจะสรุปได้ดังตารางที่ 4-2 แสดงถึงระยะเวลาที่สามารถเก็บข้อมูลได้เมื่อใช้ Sampling time ค่าต่างๆ

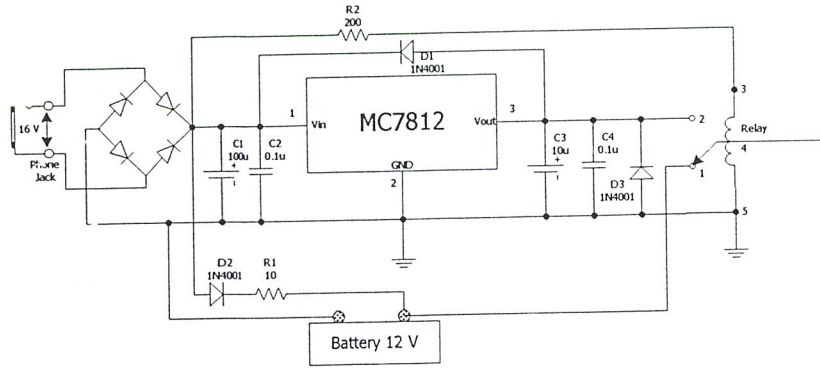
ตารางที่ 4-2 ความสามารถในการเก็บข้อมูลของหน่วยความจำ

Sampling time	ระยะเวลาที่สามารถเก็บข้อมูลในหน่วยความจำ (ชั่วโมง : นาที : วินาที)			
	1 ช่อง	2 ช่อง	3 ช่อง	4 ช่อง
1 วินาที	09 : 06 : 08	04 : 33 : 04	03 : 02 : 02	02 : 16 : 32
5 วินาที	45 : 30 : 40	22 : 45 : 20	15 : 10 : 13	11 : 22 : 40
10 วินาที	91 : 01 : 40	45 : 30 : 40	30 : 20 : 26	22 : 45 : 20
30 วินาที	273 : 04 : 00	136 : 32 : 00	91 : 01 : 20	68 : 16 : 00
1 นาที	546 : 08 : 00	273 : 04 : 00	182 : 02 : 40	136 : 32 : 00
10 นาที	5461 : 20 : 00	2730 : 40 : 00	1820 : 26 : 40	1365 : 20 : 00
30 นาที	16384 : 00 : 00	8192 : 00 : 00	5461 : 20 : 00	4096 : 00 : 00
1 ชั่วโมง	32768 : 00 : 00	16384 : 00 : 00	10922 : 40 : 00	8192 : 00 : 00

4.5 แหล่งจ่ายไฟของระบบ (Power Supply)

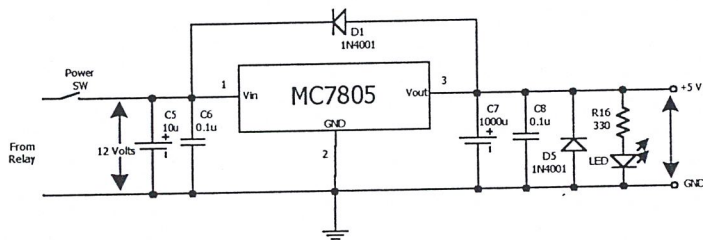
เนื่องจากว่าในระบบของเรานั้นต้องการแหล่งจ่ายแรงดันที่แตกต่างกันเช่น ส่วนที่เป็นวงจรเซ็นเซอร์จะต้องการแรงดันทั้งบวกและลบ (± 12 โวลต์) และคาต้าไลกเกอร์ที่ต้องการแรงดัน +5 โวลต์ ดังนั้นในส่วนนี้จะเป็นการออกแบบแหล่งจ่ายไฟเลี้ยงที่จะให้กับระบบ เพื่อที่จะทำให้ระบบของเราสามารถใช้ได้ทั้งไฟบ้าน คือใช้หม้อแปลง 16 โวลต์ ผ่านวงจรเรกกูเลเตอร์ เพื่อให้ได้แรงดัน 12 โวลต์ และใช้ได้กับแบตเตอรี่ 12 โวลต์ โดยในขณะที่เราใช้ไฟโดยผ่านหม้อแปลงนั้น ระบบก็จะทำการชาร์จแบตเตอรี่ไปในตัวด้วยและเมื่อไม่มีไฟเลี้ยงอินพุตของวงจรเรกกูเลเตอร์ สวิตช์รีเลย์ก็จะเปลี่ยนมาใช้ไฟจากแบตเตอรี่แทน โดยในส่วนของการออกแบบภาคไฟเลี้ยงจะมีอยู่ด้วยกัน 3 ส่วนคือ

- แรงดันที่ได้จากหม้อแปลง 16 โวลต์จะผ่านวงจรเรกกูเลเตอร์ เพื่อให้ได้ แรงดันเอาท์พุท ที่เราต้องการคือ 12 โวลต์ รูปที่ 4-13 โดยเราจะใช้ไอซีเรกกูเลเตอร์เบอร์ MC7812 และแรงดันที่ได้จากหม้อแปลงนี้ก็จะถูกนำไปใช้ในการชาร์จแบตเตอรี่ด้วย ซึ่งกระแสที่ใช้ในการชาร์จนั้นประมาณ 0.5 แอมป์



รูปที่ 4-13 วงจรเรกกูเรเตอร์ 12 โวลท์

วงจรเรกกูเรเตอร์อีกตัวหนึ่งจะเป็นส่วนที่จะทำให้เราได้ไฟ +5 โวลท์ที่เพื่อเป็นแหล่งจ่ายให้กับระบบ ดังรูปที่ 4-14 ในส่วนนี้เราใช้อิซีเรกกูเรเตอร์เบอร์ MC 7805 ซึ่งจะให้แรงดันทางเอาท์พุท +5 โวลท์



รูปที่ 4-14 วงจรเรกกูเรเตอร์ 5 โวลท์

• DC to DC Converter หน้าที่หลักของวงจร DC/DC Converter เป็นวงจรที่สร้างแหล่งจ่ายไฟลบให้กับ Op_amp ทั้งหมดในระบบ

โดยหลักการออกแบบ DC to DC Converter นั้นเป็นการนำเอาวงจร อินเวอร์เตอร์แบบ Indirect มาใช้ ในรูปที่ 4-15 โดยที่ขาเบสของทรานซิสเตอร์นั้นจะเป็นสัญญาณรูปสี่เหลี่ยม ซึ่งเราได้ จากขาที่ 8 และ 11 ของไอซีเบอร์ TL 494 ด้วยเหตุนี้จะทำให้ทรานซิสเตอร์ มีการสวิทช์ และเมื่อทรานซิสเตอร์ “ON” กระแสจากขา Collector จะทำให้ขดลวดที่ 1 มีการนำกระแส และในขณะที่เดียวกันนี้ไดโอดถูกป้อนแรงดันย้อนกลับ แต่เมื่อทรานซิสเตอร์ “OFF” แรงดันที่ตกคร่อมขดลวดจะกลับขั้วหลังจากนั้นก็ จะจ่ายให้กับโหลดในขณะที่ไดโอดจะถูกป้อนแรงดันตรง ฉะนั้นจุดที่สำคัญของวงจรมีคือการออกแบบ ค่าขดลวดที่ 1 และคาปาซิเตอร์ 1 ให้เหมาะสมเพราะว่าทั้งสองตัวนี้คือตัวที่กำหนด Time Constant ของวงจร ดังนั้น เพื่อให้ L และ C ชุดนี้มีการตอบสนองต่อความถี่ของสวิทช์ได้ที่เราสามารถคำนวณค่า L และ C ได้ดังนี้

ให้

$$|V_O| \approx 12 \text{ V}$$

$$|I_O| \approx 0.25 \text{ A}$$

$$\text{Eff} \approx 60$$

$$|I_O| = \frac{0.25 \text{ A}}{0.6} = 0.42 \text{ A}$$

จากสมการ

$$T_{\text{on(MAX)}} = \frac{0.8V_O T}{N_{\text{IN(MIN)}} + V_O}$$

ให้

$$f = 25 \text{ kHz}; T = \frac{1}{25 \text{ kHz}} = 40 \mu\text{s}$$

ให้

$$V_{\text{IN(MIN)}} = 8 \text{ V}$$

ได้

$$T_{\text{on(MIN)}} = \frac{0.8 \times 12 \times 40 \mu\text{s}}{8 + 12} = 19.2 \mu\text{s}$$

จากสมการ

$$V_O = V_{\text{in(MIN)}} T_{\text{on}} \sqrt{\frac{R_L}{2TL}}$$

ได้

$$L = \frac{R_L V_{\text{IN}}^2 T_{\text{on(MAX)}}^2}{2T V_O^2}$$

$$R_L = \frac{|V_O|}{|I_O|} = \frac{12 \text{ V}}{0.42 \text{ A}} = 28.57 \Omega \approx 28 \Omega$$

ได้

$$L = \frac{28}{2 \times 40 \mu\text{s}} \times \frac{8^2 \times (19.2 \mu\text{s})^2}{12^2} = 57.34 \mu\text{H}$$

ให้

$$L \approx 60 \mu\text{H}$$

จากสมการ

$$I_{\text{Pk}} = \frac{V_{\text{IN(MIN)}} T_{\text{on(MAX)}}}{L}$$
$$= \frac{8 \times 19.2 \mu}{57 \mu} = 2.7 \text{ A}$$

หาค่า C จากตาราง 1.4 ใน DATA MC 33063 หรือ 78S40

$$C \geq \frac{9I_O t_{\text{on}}}{V_{\text{ripple}}}$$

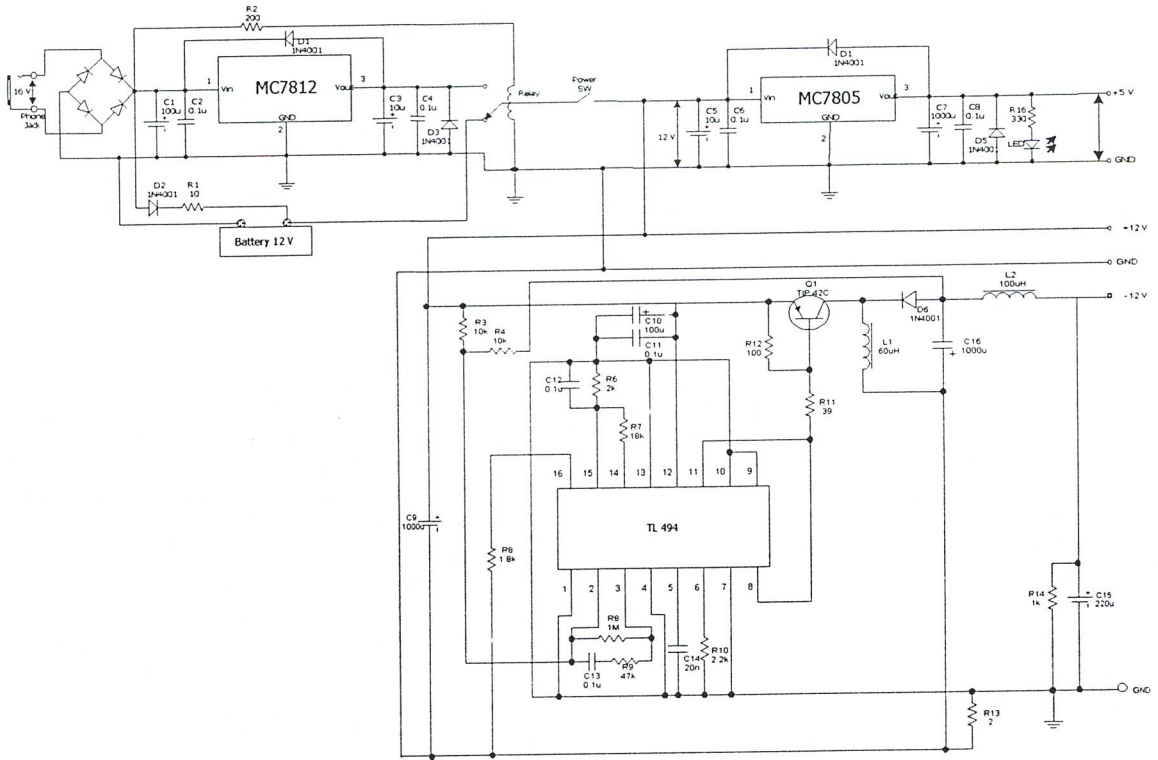
ให้

$$V_{\text{ripple}} = 50 \text{ mV}_{\text{PP}}$$

$$C \geq \frac{9 \times 0.25 \times 19.2 \mu}{50 \text{ mV}_{\text{PP}}} \geq 864 \mu\text{F}$$

ให้

$$C = 1000 \mu\text{F}$$



รูปที่ 4-15 วงจร dc to dc converter

ระบบที่ออกแบบมาทั้งหมดจะใช้ไฟประมาณ 120 mA ฉะนั้นถ้าเราใช้แบตเตอรี่ที่มี ขนาด 12 โวลท์ 1.2 Ah ระบบก็จะสามารถเก็บข้อมูลได้นานประมาณ 10 ชั่วโมง หรือหากต้องการให้ระยะเวลาในการเก็บข้อมูลเพิ่มขึ้น ก็สามารถเลือกใช้แบตเตอรี่ที่มีขนาด 12 โวลท์ 40Ah ได้เพราะจะทำให้เก็บข้อมูลได้ 13 ถึง 15 วัน แต่ก็อาจจะมีปัญหาว่าถ้าขนาดของแบตเตอรี่ใหญ่ขึ้นการเคลื่อนย้ายก็จะมีควมลำบากมากขึ้นไปด้วย

4.6 การตรวจสอบแรงดันแบตเตอรี่

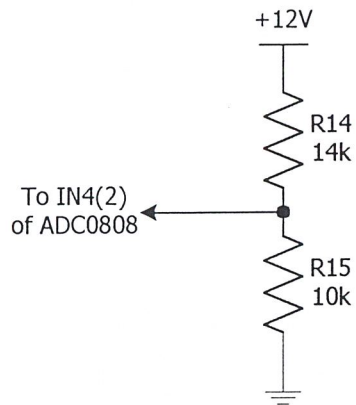
เนื่องจากขนาดของแรงดันไฟเลี้ยงมีผลอย่างมากกับการวัดอุณหภูมิ จึงได้ออกแบบให้ระบบมีการตรวจสอบแรงดันแบตเตอรี่ก่อนการวัดทุกครั้งโดยใช้ตัวต้านทานแบ่งแรงดันดังรูป 4-15 ซึ่งจะมีการทำงานดังนี้

- เมื่อแรงดันไฟเลี้ยงเท่ากับ 12 โวลท์

$$V_{O(MAX)} = \frac{(10k)(12V)}{(14k + 10k)} = 5V$$

- เมื่อแรงดันไฟเลี้ยงเท่ากับ 11 โวลท์

$$V_{O(MIN)} = \frac{(10k)(11V)}{(14k + 10k)} = 4.58V$$



รูปที่ 4-16 วงจรตรวจสอบแรงดันแบตเตอรี่

จากนั้นค่า $V_{O(MIN)}$ ที่ได้จะถูกนำไปผ่านวงจร ADC เพื่อเปลี่ยนเป็นรหัสใน 256 ระดับจะได้ 204 เท่ากับ CCh (เลขฐานสิบหก) แล้วนำเอารหัสดังกล่าวมาเป็นตัวตรวจสอบแบตเตอรี่

บทที่ 5

การทดลองและผลการทดลอง

จากการทดสอบวงจรนั้น ในเบื้องต้นได้แยกทดสอบเป็นส่วน ๆ เพื่อที่จะสามารถตรวจสอบการทำงานของวงจรเหล่านั้นได้สะดวก โดยมีผล การทดลองดังนี้

5.1 ภาคเซ็นเซอร์อุณหภูมิ

5.1.1 ผลที่อ้างอิงจาก data sheet

เราจะสามารถคำนวณหาค่าแรงดันผลต่างที่เอาต์พุตได้ โดยใช้สมการข้างล่างนี้

$$V_{\text{sensor}} = V_{\text{OUT}_{T_0}} \times \frac{T}{T_0} \quad (5.1)$$

$$V_{\text{diff}} = (V_{\text{sensor}} - V_{\text{ref}}) \quad (5.2)$$

$$V_{\text{OUT}} = A_v \times V_{\text{diff}} \quad (5.3)$$

กำหนดให้

T : คืออุณหภูมิที่เราสามารถรู้ได้ ($^{\circ}\text{K}$)

T_0 : คืออุณหภูมิอ้างอิง (298°K)

$V_{\text{OUT}_{T_0}}$: คือค่าแรงดันเอาต์พุตที่อุณหภูมิอ้างอิง (2.982V ที่ 25°C)

V_{sensor} : คือแรงดันเอาต์พุตที่ LM335

V_{diff} : แรงดันผลต่าง

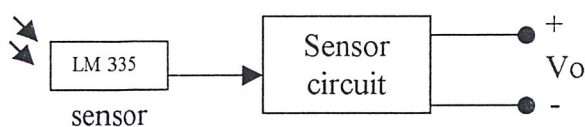
V_{ref} : ค่าแรงดันอ้างอิงเท่ากับ 2.731 โวลต์

$A_v = 10$: ค่าอัตราขยายของวงจรขยายแรงดันผลต่าง (Differential Amplifier)

ตารางที่ 5-1 แสดงความสัมพันธ์ระหว่างค่าอุณหภูมิ หน่วย °C, °K และ แรงดันเอาต์พุต (จากการคำนวณ)

อุณหภูมิ		V_{in} (V)	V_{out} (V)
องศาเซลเซียส	องศาเคลวิน		
0	273	0.00	0.00
5	278	0.05	0.50
10	283	0.10	1.00
15	288	0.15	1.50
20	293	0.20	2.00
25	298	0.25	2.50
30	303	0.301	3.01
35	308	0.351	3.51
40	313	0.401	4.01
45	318	0.451	4.51
50	323	0.501	5.01

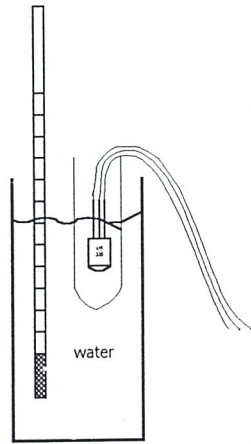
5.1.2 ผลการทดลองที่ได้จากวงจรตรวจวัดอุณหภูมิ



รูปที่ 5-1 วิธีการทดลองวงจรเซ็นเซอร์อุณหภูมิ

วิธีการทดลอง

ในการทดสอบหาคคุณสมบัติของภาคเซ็นเซอร์ เราจะทำการทดลองโดยการวัดอุณหภูมิของน้ำ ซึ่งในการวัดนั้นเราจะใช้การวัดจากเซ็นเซอร์แล้วเปรียบเทียบผลที่ได้กับการวัดโดยใช้เทอร์โมมิเตอร์ โดยในการทดลองนั้นจะทำการวัดที่เอาต์พุตของเซ็นเซอร์โดยมีการเปลี่ยนแปลงค่าแรงดันที่จ่ายให้กับตัวเซ็นเซอร์ ดังรูปที่ 5-2

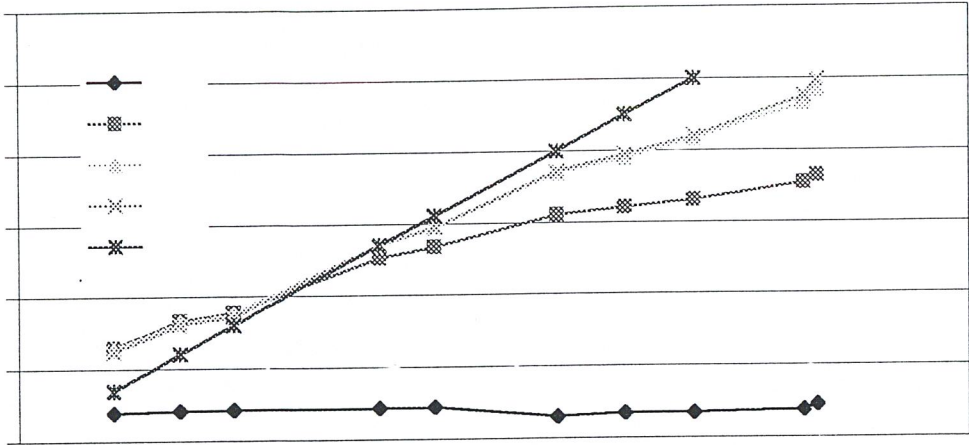


รูปที่ 5-2 การทดสอบคุณสมบัติของภาคเซ็นเซอร์

ซึ่งจะเห็นได้ว่าผลที่ได้จากการทดลองเมื่อนำมาเปรียบเทียบกับผลที่ได้จากการคำนวณจะเห็นว่ามีความแตกต่างกันค่อนข้างมาก เนื่องจากว่าขณะที่ทำการทดลองนั้นได้ใช้พลาสติกหุ้มตัวเซ็นเซอร์เอาไว้เพื่อไม่ให้เสียหายเมื่อโดนน้ำนั่นเอง อีกประการหนึ่งแรงดันไฟเลี้ยงที่จ่ายให้กับภาคเซ็นเซอร์นั้นเมื่อมีค่าลดลงมากก็จะทำให้ความสามารถในการทำงานของตัวเซ็นเซอร์เองไม่เป็นไปตามที่เราต้องการด้วย ซึ่งจะได้ผลการทดลองดังตารางที่ 5-2

ตารางที่ 5-2 แสดงความสัมพันธ์ระหว่างค่าอุณหภูมิ หน่วย องศาเซลเซียส และแรงดันเอาต์พุต (จากการทดลอง)

อุณหภูมิ (เซลเซียส)	แรงดันเอาต์พุต (โวลต์)			
	$V_{cc}=9$ โวลต์	$V_{cc}=10$ โวลต์	$V_{cc}=11$ โวลต์	$V_{cc}=12$ โวลต์
7	0.385	1.29	1.27	1.24
12	0.417	1.66	1.63	1.61
16	0.423	1.77	1.75	1.71
27	0.43	2.515	2.697	2.695
31	0.44	2.67	2.95	2.945
40	0.297	3.1	3.69	3.721
45	0.34	3.2	3.9	3.94
50	0.345	3.3	4.16	4.2
58	0.38	3.64	4.65	4.75
59	0.45	3.54	4.84	4.97



รูปที่ 5-3 กราฟแสดงความสัมพันธ์ระหว่างอุณหภูมิ และแรงดันเอาต์พุตเมื่อจ่ายไฟเลี้ยงค่าต่างๆ

5.2 ภาคการแปลงสัญญาณอนาลอกเป็นดิจิทัล (Analog to Digital converter)

ตารางที่ 5-3 แสดงแรงดันเอาต์พุตและค่าข้อมูลไบนารีที่ได้จากการแปลงสัญญาณอนาลอกเป็นดิจิทัล

อุณหภูมิ		Vout (V)	Binary code
องศาเซลเซียส	องศาเคลวิน		
0	273	0.012	0000 0001
5	278	0.144	0000 0111
10	283	0.597	0001 1111
15	288	1.014	0011 0100
20	293	1.605	0101 0011
25	298	1.991	0110 0110
30	303	2.353	0111 1000
35	308	2.832	1001 0001
40	313	3.223	1010 0111
45	318	3.763	1100 0011
50	323	4.261	1101 1101
55	328	4.763	1111 0110
58	331	5.057	1111 1111

เส้นกราฟข้างบนนี้ได้มา จากการสุ่มเก็บข้อมูล โดยการวัดอุณหภูมิ จากน้ำร้อนที่ 50 องศาเซล -

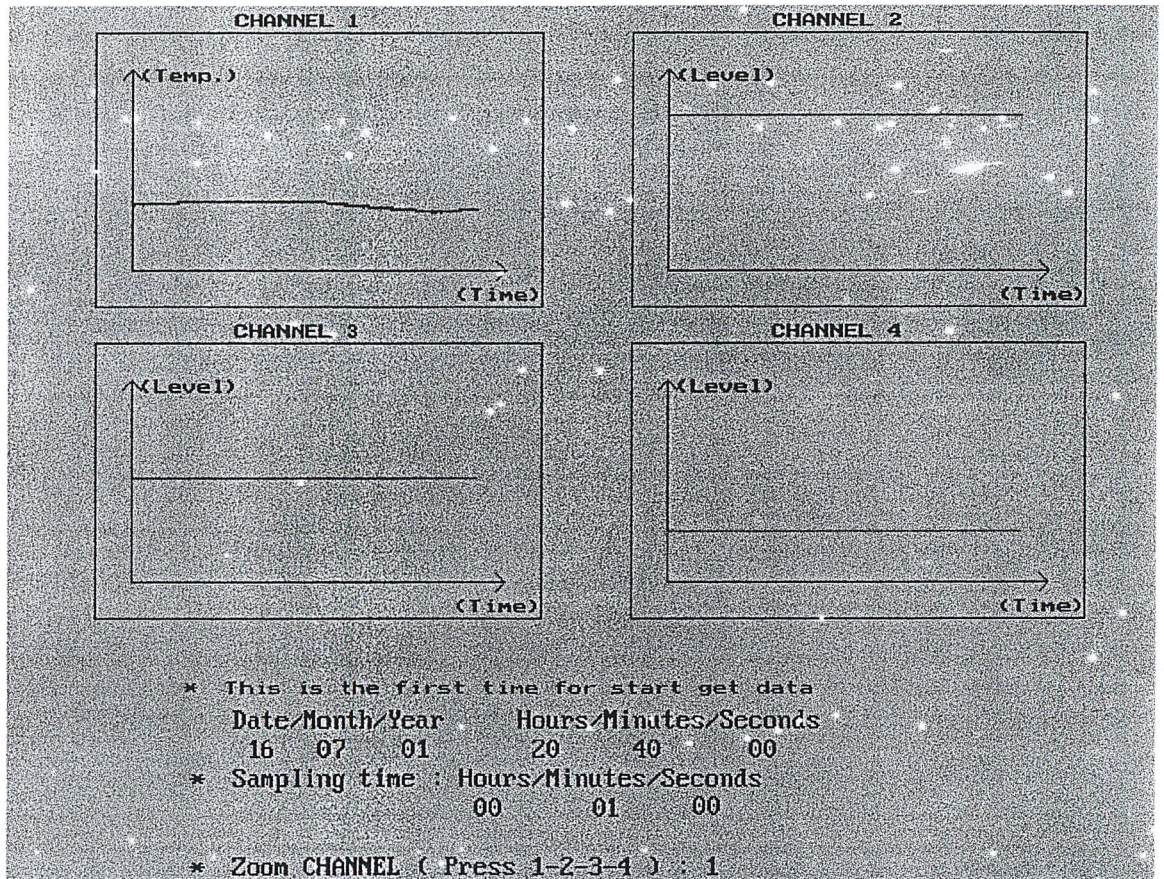
เช็ส แล้งค่อยๆปล่อยให้น้ำเย็นลง เราสามารถรู้ค่าอุณหภูมิที่แรงดันจุดต่างๆ โดยการเปรียบเทียบกับตารางที่ 5-3 ซึ่งตารางดังกล่าวนี้ได้มาจากการคำนวณ

ตารางที่ 5-4 แสดงความสัมพันธ์ระหว่างแรงดันเอาต์พุตและอุณหภูมิ (จากการคำนวณ)

อุณหภูมิ (องศาเซลเซียส)	แรงดันผลต่าง (V)	แรงดันเอาต์พุต (V)	อุณหภูมิ (องศาเซลเซียส)	แรงดันผลต่าง (V)	แรงดันเอาต์พุต (V)
0	0.000	0.000	26	0.260	2.600
1	0.010	0.100	27	0.270	2.700
2	0.020	0.200	28	0.280	2.800
3	0.030	0.300	29	0.290	2.900
4	0.040	0.400	30	0.300	3.000
5	0.050	0.500	31	0.310	3.100
6	0.060	0.600	32	0.320	3.200
7	0.070	0.700	33	0.330	3.300
8	0.080	0.800	34	0.340	3.400
9	0.090	0.900	35	0.350	3.500
10	0.100	1.000	36	0.360	3.600
11	0.110	1.100	37	0.370	3.700
12	0.120	1.200	38	0.380	3.800
13	0.130	1.300	39	0.390	3.900
14	0.140	1.400	40	0.400	4.000
15	0.150	1.500	41	0.410	4.100
16	0.160	1.600	42	0.420	4.200
17	0.170	1.700	43	0.430	4.300
18	0.180	1.800	44	0.440	4.400
19	0.190	1.900	45	0.450	4.500
20	0.200	2.000	46	0.460	4.600
21	0.210	2.100	47	0.470	4.700
22	0.220	2.200	48	0.480	4.800
23	0.230	2.300	49	0.490	4.900
24	0.240	2.400	50	0.500	5.000
25	0.250	2.500			

5.3 ผลการทดลองเก็บข้อมูลจริง

จากกราฟด้านล่างนี้เป็นผลที่ได้จากการทดลองโดยการวัดค่าอุณหภูมิที่ห้องทำงาน และ อีกสามช่องเป็นการวัดโดยการให้เก็บค่าแรงดันไฟตรง ซึ่งสามช่องที่ว่านี้สามารถที่จะนำไปใช้ได้ตามความต้องการ โดยสามารถที่จะเป็นอะไรก็ได้แล้วแต่ชนิดของเซ็นเซอร์



รูปที่ 5-4 ผลที่ได้จากวัดทั้ง 4 ช่อง

กราฟที่เห็นนี้เป็นกราฟที่แสดงบนหน้าจอคอมพิวเตอร์ โดยจะแสดงทั้ง 4 ช่องพร้อมกันและนอกจากนั้นก็ยังสามารถตรวจสอบดูข้อมูลที่เก็บไว้ในแต่ละช่องได้ ดังรูปที่ 5-5 เป็นข้อมูลอุณหภูมิที่เก็บไว้ที่ช่อง 1 และก็ยังสามารถตรวจสอบดูค่าอุณหภูมิที่จุดต่างๆ โดยจะแสดงค่าเป็นตารางได้ครั้งละ 10 จุด

• เปรียบเทียบข้อมูลจริงกับข้อมูลที่แสดงบน LCD ของ Board และ ข้อมูลที่แสดงบน PC
(Personal Computer)

ระยะเวลาในการเก็บ ข้อมูลต่อหนึ่งครั้ง (นาที)	ข้อมูลจริงที่ได้จาก บารรูด (องศา C)	ข้อมูลที่ได้จาก LCD บน Board (องศา C)	ข้อมูลที่ได้จากการ แสดงบน Computer (องศา C)
5	24	24	23
10	22	22	21
15	22	20	20
20	21	20	19
25	21	20	19
30	21	20	19
35	21	20	19
40	21	20	19
45	21	20	19
50	21	19	18

จากตาราง เห็นว่าค่าอุณหภูมิที่ได้ไม่ว่าจะเป็นการแสดงผลบน LCD ของ Board data logger หรือการแสดงผลบน Computer จะมีค่าที่ใกล้เคียงกัน โดยมีค่าความผิดพลาดน้อยกว่า 3 % จากข้อมูลจริง

บทที่ 6

สรุปและวิจารณ์

จากแนวคิดที่วางไว้ในการสร้างระบบเก็บข้อมูลแบบหลายช่องในปริิณยานิพนธ์ฉบับนี้ได้กล่าวถึงความเป็นมาของการทำปริิณยานิพนธ์ระบบเก็บข้อมูลแบบหลายช่องโดยได้ให้รายละเอียดทฤษฎีที่จำเป็นสำหรับการสร้างโครงการนี้ได้แก่ ทฤษฎีไมโครคอนโทรลเลอร์ การแปลงสัญญาณอนาลอกเป็นดิจิทัล ตลอดจนเซ็นเซอร์อุณหภูมิได้ทำการทดสอบส่วนที่เป็นเซ็นเซอร์สำหรับวัดอุณหภูมิโดยการวัดแรงดันเอาต์พุตที่อุณหภูมิต่างๆ ดังแสดงในตารางที่ 5-2 จากแนวความคิดของโครงการที่ว่าเราสามารถเก็บ ข้อมูลได้ทั้งหมด 4 ช่องด้วยกันแต่เนื่องจากข้อจำกัดในการดำเนินโครงการดังนั้นในการทดลองจึงได้ ทำการวัดเฉพาะอุณหภูมิเพียงอย่างเดียว แต่ว่าการนำไปใช้งานจริงก็จะสามารถประยุกต์ใช้งานได้โดยการเลือกอุปกรณ์เซ็นเซอร์ที่ความเหมาะสมเพื่อการใช้งานต่อไป

จากการดำเนินโครงการมาทั้งหมด สามารถสรุปความก้าวหน้าของโครงการได้ ดังนี้

- ระบบสามารถที่จะเก็บข้อมูล ณ ที่เวลาใดก็ได้ตามที่ผู้ใช้งานต้องการ โดยการกดสวิทช์เพื่อเลือกเวลา ซึ่งจะเป็น ชั่วโมง นาที และวินาที
- ข้อมูลที่เก็บได้จะถูกพักไว้ที่หน่วยความจำขนาด 32 กิโลไบต์ เพื่อที่จะมาสาารถนำไปแสดงผลที่คอมพิวเตอร์ได้
- ข้อมูลที่แสดงบนจอคอมพิวเตอร์จะเป็นเส้นกราฟ แสดงทั้ง 4 ช่องพร้อมกัน สามารถเลือกดูข้อมูลแต่ละช่องได้ โดยที่หน้าจอจะแสดงเวลาที่เริ่มต้นเก็บข้อมูล และแสดงค่า Sampling time ที่เราใช้ในการเก็บข้อมูล
- ข้อมูลช่องที่ 1 จะเป็นค่าอุณหภูมิ และอีก 3 ช่องจะเอาไว้สำหรับใช้งานทั่วไป

ในปริิณยานิพนธ์นี้จะมีบางส่วนที่ยังจะต้องมีการปรับปรุง นั่นก็คือในส่วนของไฟเลี้ยงที่จ่ายให้กับเซ็นเซอร์ที่เป็นวงจรไฟลบ 12 โวลต์ แบบสวิทช์ซึ่งเรกกูเลเตอร์ เนื่องจากวงจรนี้ดึงกระแสประมาณ 70 mA ของกระแสทั้งหมดในวงจร (120 mA) และปัญหาจากเอาต์พุตของเซ็นเซอร์ซึ่งจะไม่เที่ยงตรงเมื่อไฟเลี้ยงต่ำกว่า 11 โวลต์

ภาคผนวก ก. วงจรรวม

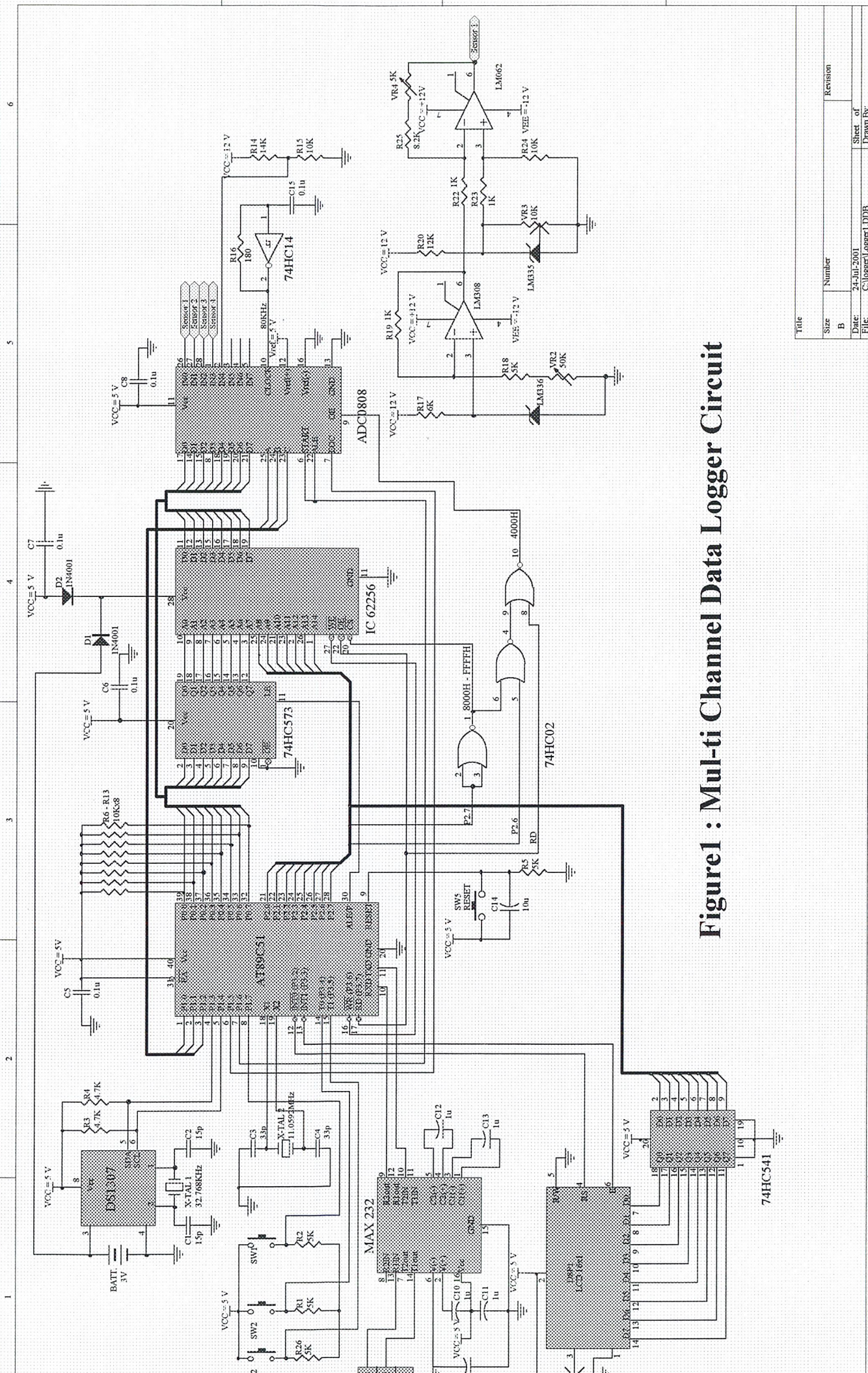


Figure1 : Mul-ti Channel Data Logger Circuit

Title	
Size	Number
B	
Date:	24-Jul-2001
File:	C:\logger\Logger.LDD8
Sheet of	
Drawn By:	
Revision	

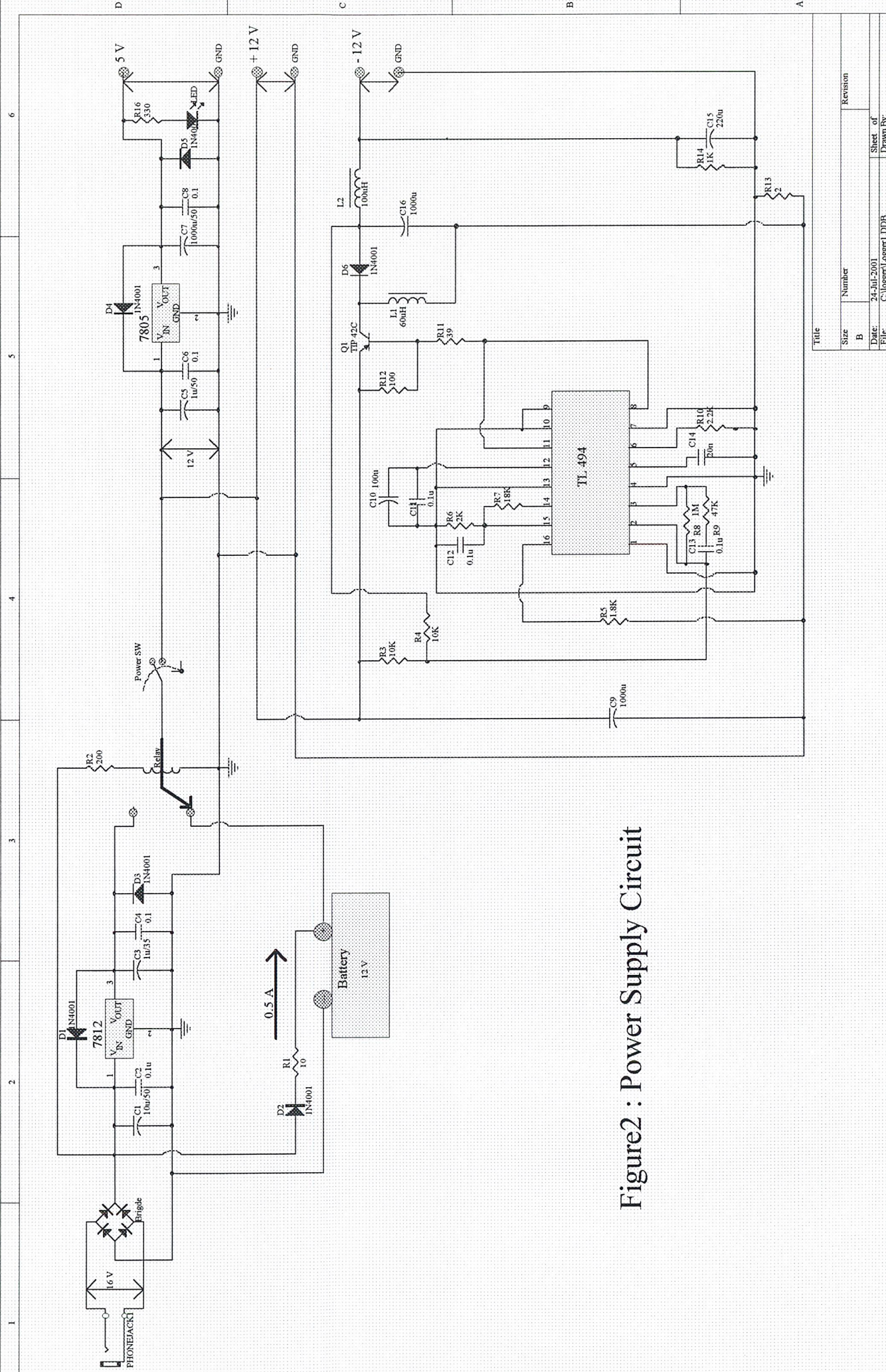


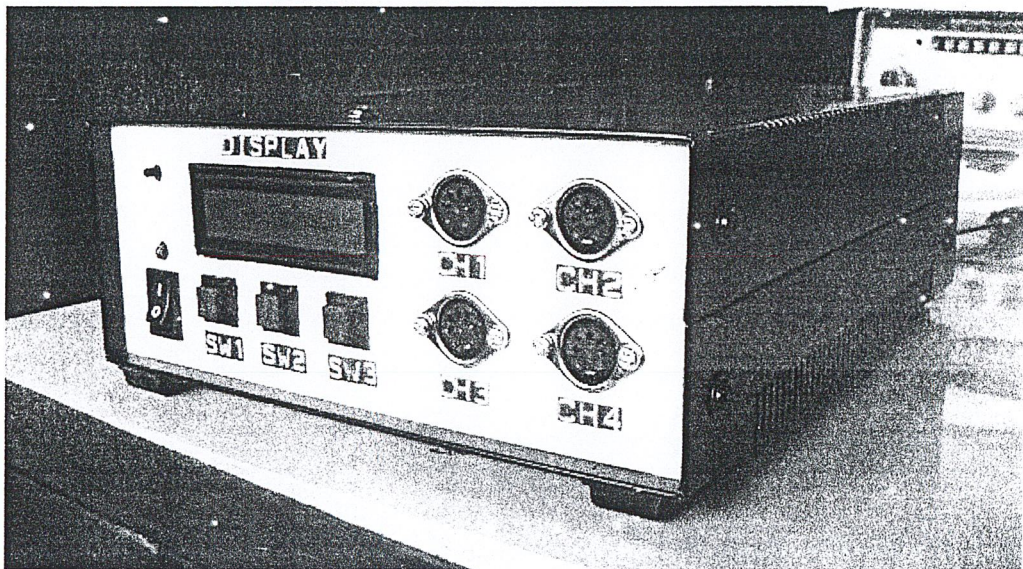
Figure2 : Power Supply Circuit

Title	
Size	Number
B	
Date:	24-Jul-2001
File:	C:\loggers\Logger\LDDB
Sheet of	1
Drawn By:	
Revision	

ภาคผนวก ข. คู่มือการใช้งาน

คู่มือการใช้งาน

เครื่องเก็บข้อมูลแบบ 4 ช่องสัญญาณ



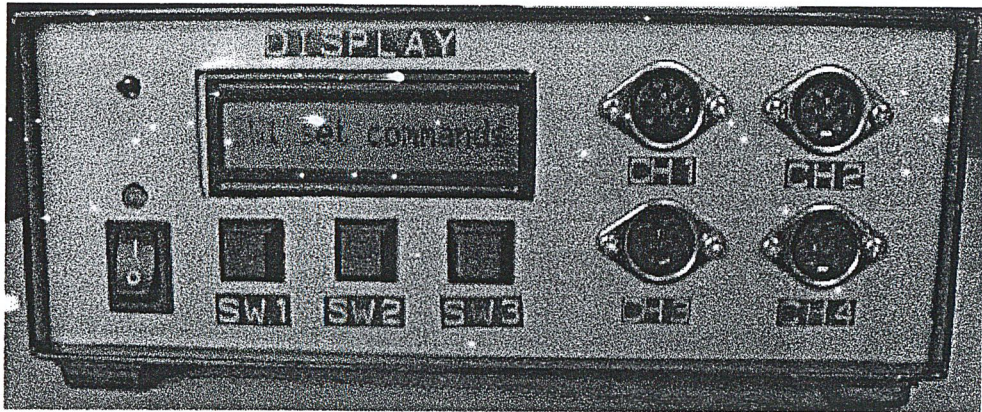
จัดทำโดย : นาย คำผอง คงสมบุญ
นางสาว ลัดสะหมี ไชตุลียง
ดร.กิติพล ชิตสกุล (อาจารย์ที่ปรึกษา)
ปีการศึกษา 2544

Supported by NUOL – KMITL - JICA

คู่มือการใช้งาน

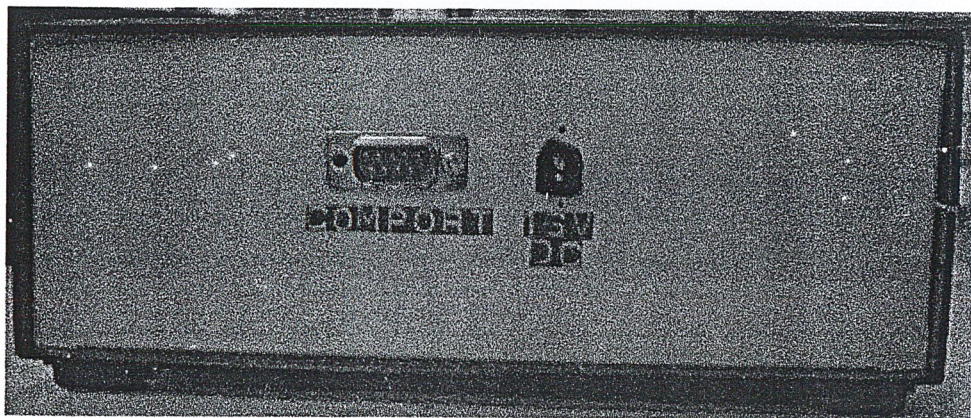
1. โครงสร้างของกล่อง

ด้านหน้า



รูปที่ 1 ภาพถ่ายด้านหน้าของตัวเก็บข้อมูล

ด้านหลัง

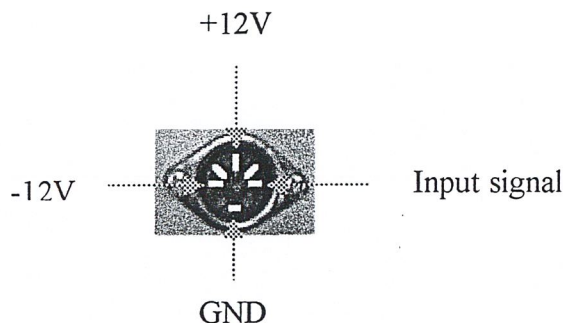


รูปที่ 2 ภาพถ่ายด้านหลังของตัวเก็บข้อมูล

2. หน้าที่ของปุ่มต่างๆ

- POWER SWITCH : ทำหน้าที่ เปิด-ปิด ไฟเลี้ยงให้กับวงจรทั้งหมด
- LED : เป็นตัวแสดงสถานะ เปิด-ปิด ของเครื่อง
- RESET SWITCH : มีหน้าที่สำหรับ Reset ระบบใหม่เมื่อระบบทำงานผิดปกติ

- LCD : หน้าหลักคือแสดงสถานะต่างๆ ของ Board ไม่ว่าจะอยู่ในช่วงรอการตั้งคำสั่งเพื่อให้ Board ทำงาน หรือ รอการส่งข้อมูลขึ้นไปยังเครื่องไมโครคอมพิวเตอร์ รวมถึงเป็นนาฬิกาอีกด้วย
- Ch1 , Ch2 , Ch3 และ Ch4 : เป็นอินพุตสำหรับรับข้อมูลจาก Sensor โดยโครงสร้างแสดงดังรูปที่1. . จะเห็นว่า Jack มีสายสัญญาณ ดังนี้คือ :



รูปที่ 3 แสดงส่วนประกอบของ Channel Jack

- สายสัญญาณที่เป็น Input ของ Board โดยได้จาก Output ของ Sensor
- สายไฟ $\pm 12 V$ เป็นไฟที่ออกมาจาก Board เพื่อนำไปเป็นไฟเลี้ยงให้กับ Sensor
- GND : กราว
- SW1 , SW2 , SW3 : เป็นส่วนควบคุมการทำงานของระบบ และจะขออธิบายการใช้งานในขั้นต่อไป.
- Comport หรือ RS232 port : เป็นพอร์ตที่ใช้ส่งข้อมูลระหว่างตัวเก็บข้อมูลไปยังเครื่องคอมพิวเตอร์ โดยผ่านทางพอร์ต COM1 ของ Computer .

3. ขั้นตอนการตั้งคำสั่งต่างๆเพื่อให้ Board ทำการเก็บข้อมูล.

เมื่อเริ่มต้นกด SW Power เพื่อจ่ายแรงดันให้กับระบบแล้ว LCD จะเป็นตัวแสดงสถานะต่างๆดังนี้ :

- ขั้นตอนที่ 1.

LCD Display จะแสดงข้อความออกมาเพื่อให้เลือกแบบการทำงานของเครื่องเก็บข้อมูลด้วยการใช้ SW1 และ SW2 ดังนี้

LCD Display

SW1 set commands

- เมื่อกด SW1 ระบบก็จะเข้าสู่การตั้งคำสั่งต่างๆ เพื่อให้ Board ทำงาน .

LCD Display

SW2 send data

- เมื่อกด SW2 ก็จะเป็นการส่งข้อมูลขึ้นไปบน Computer แต่ Computer ต้องอยู่ในสถานะรอรับข้อมูลอยู่แล้ว.

สมมติว่าเรากด SW1 แล้ว LCD จะแสดงค่าเวลาต่างๆ ออกมาแต่ถ้าค่าเวลาไม่ถูกต้องก็สามารถแก้ไขได้ด้วยการกด SW2 ซึ่งเป็นการตั้งค่าเวลาใหม่ จากนั้นสามารถควบคุมการตั้งค่าได้ด้วย SW1 และ SW2

LCD Display

T:01/01/01 00 : 00

- SW1 : ทำหน้าที่เป็น Enter
- SW2 : ทำหน้าที่เลื่อนตัวเลข

แต่ถ้าเวลาถูกต้องแล้วก็สามารถข้ามขั้นตอนนี้ไปได้ด้วยการกด SW1

- ขั้นตอนที่ 2 .

เป็นการตั้งช่องในการเก็บข้อมูลซึ่งทั้งหมดมีอยู่ 4 ช่องสัญญาณคือ : Ch1 , Ch2 , Ch3 และ Ch4 สามารถควบคุมได้จาก SW1 และ SW2 เช่นกัน

LCD Display

Channel : (1-2-3-4)

- SW1 : ทำหน้าที่เป็น Enter
- SW2 : ทำหน้าที่เลื่อนจำนวนช่องสัญญาณ

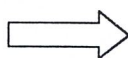
- ขั้นตอนที่ 3 .

เป็นการตั้งเวลาสุ่มข้อมูลให้กับระบบว่าจะให้ Board เรานานเท่าไรจึงจะเก็บข้อมูลหนึ่งครั้ง การตั้งค่านี้นี้ทำเหมือนกันกับการตั้งเวลาโดยสามารถกำหนดเวลาในการสุ่มข้อมูลต่ำสุด 1 วินาที

LCD Display

Sampling time

กด SW2



LCD Display

Time : 01/30/10

- SW1 : ทำหน้าที่เป็น Enter
- SW2 : ทำหน้าที่เลื่อนตัวเลข

- ขั้นตอนที่ 4.

เมื่อตั้งค่าต่างๆ ให้กับ Board แล้วจากนั้นก็เริ่ม Start โดยการกด SW1 ขณะเดียวกันก็สามารถหยุดระบบได้ด้วยการกด SW2 .

LCD Display

Start by SW1

- SW1 : Start ให้ Board เริ่มเก็บข้อมูล

- SW2 : Stop เก็บข้อมูล

ในขณะที่เก็บข้อมูลอยู่ LCD จะแสดงวันและเวลาออกมา แต่ถ้าอยากดูข้อมูลก็ให้กด SW1 แล้ว LCD ก็จะแสดงข้อมูลในแต่ละช่องสัญญาณออกมาเป็นค่าตัวเลข.

เมื่อกด SW2 จะเป็นการหยุดเก็บข้อมูล แล้วระบบจะไปอยู่ในขั้นตอนที่ 1 เพื่อรอการส่งข้อมูลขึ้น PC

ส่วน SW3 จะถูกใช้งานก็ต่อเมื่อระบบมีระดับแรงดันไฟเลี้ยงต่ำกว่า 11 V ในขณะเดียวกัน LCD จะแสดงข้อความว่า LOW BATTERY แต่เมื่อเรา Charge Bat. ให้มีค่ามากกว่า 11 โวลต์ LCD ก็จะแสดงข้อความว่า BATTERY PASS ตอนนี้ ระบบจะรอการกด SW3 อยู่เพื่อเริ่มเก็บข้อมูลต่อไป

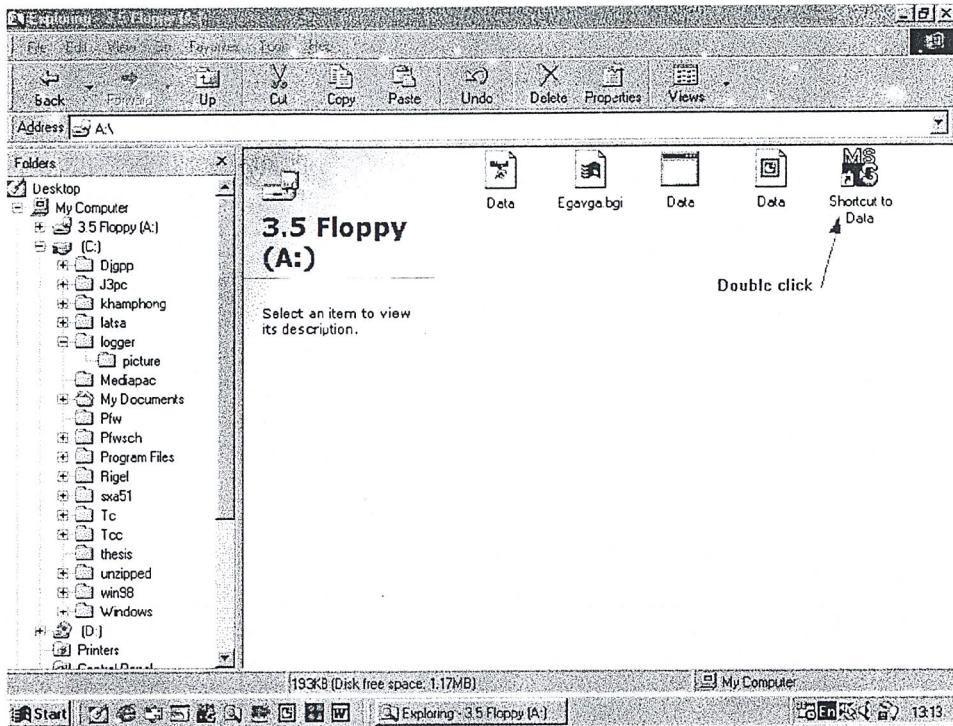
การแสดงผลข้อมูลบน PC

- ขั้นตอนที่ 1.

ต่อ Comport หรือ RS232 port เข้ากับ COM1 ของ Computer .

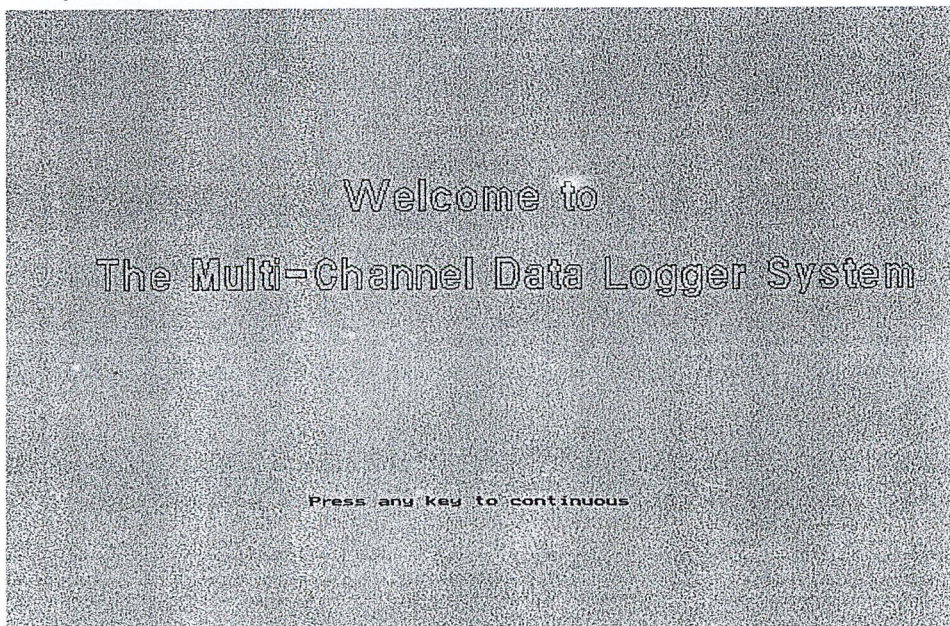
- ขั้นตอนที่ 2.

เปิด File จาก Floppy disk ที่มีชื่อว่า : data โดยการใช้ Mouse click สองครั้ง รูปที่ 4



รูปที่ 4: แสดงการเปิดไฟล์จาก Floppy disk

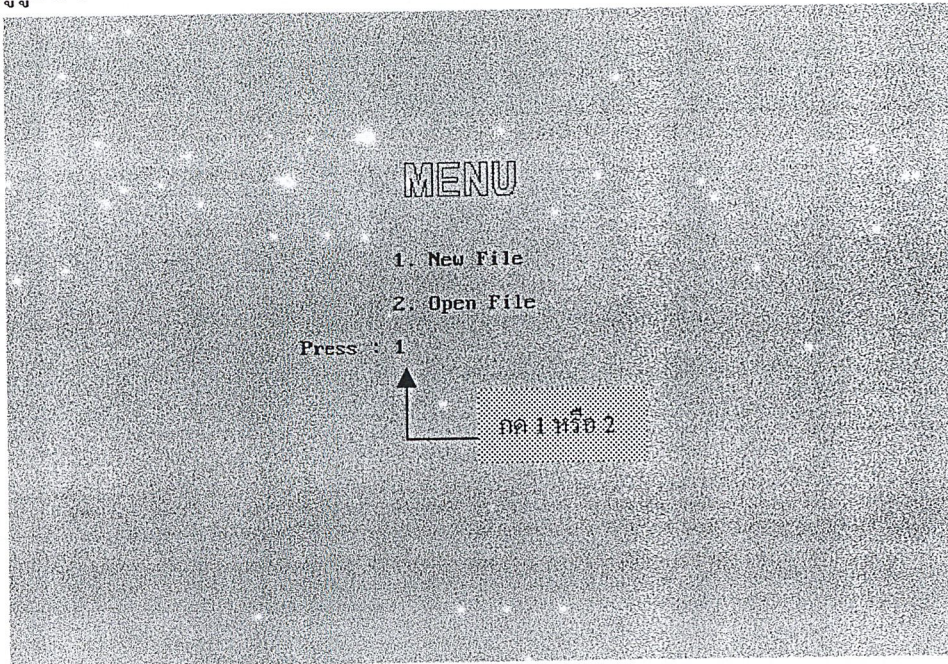
จากนั้นจะได้รูปที่ 5 แล้วให้กด Enter



รูปที่ 5 : เสนอหน้าจอ

- ขั้นตอนที่ 3.

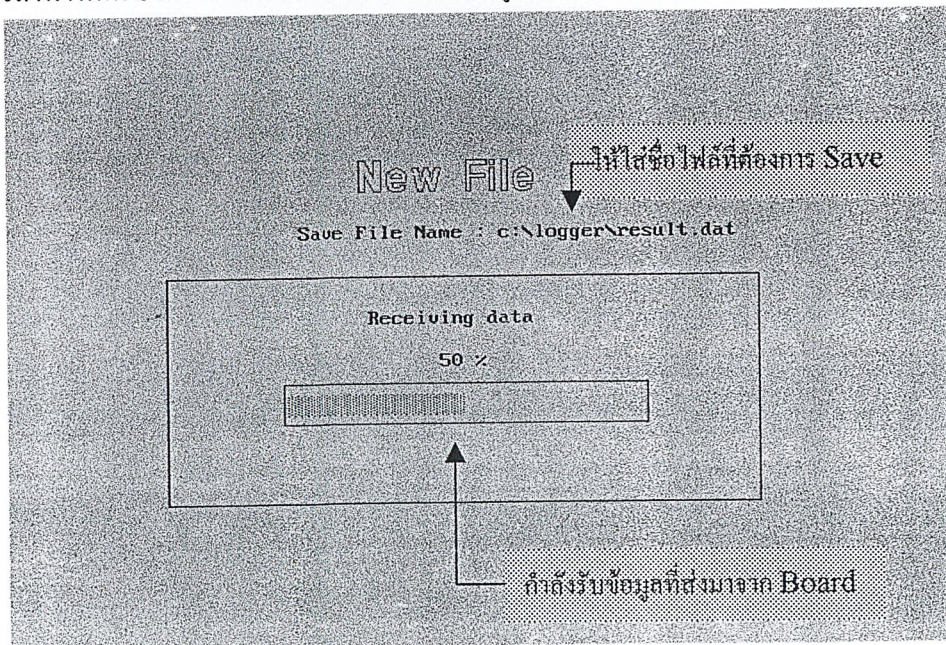
หน้าจอ Computer จะแสดง Menu ออกมา เพื่อให้เลือกว่า จะเปิดไฟล์ใหม่หรือเปิดไฟล์เก่าที่เก็บไว้ดูรูปที่ 6



รูปที่ 6 : แสดง Menu การใช้งาน

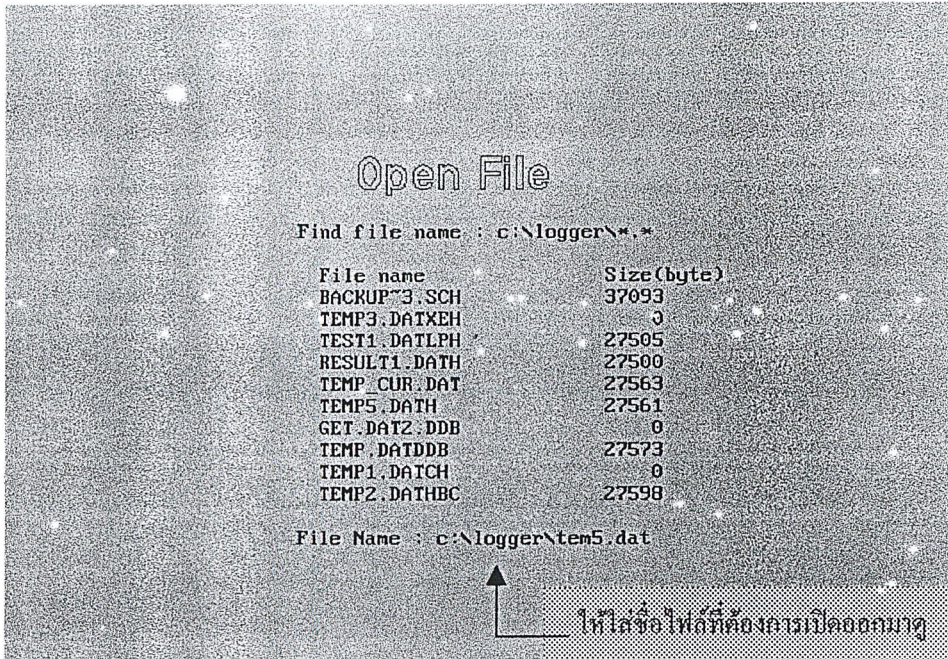
เมื่อกด 1 แสดงว่าท่านเลือกที่จะเปิดไฟล์ใหม่ (New File) ดูรูปที่ 7

ในขั้นตอนนี้ให้ใส่ชื่อไฟล์เพื่อจะ Save เก็บไว้ต่อจากนั้น Program จะรอการส่งข้อมูลจาก Board เวลาให้กด SW2 ที่ Board เพื่อเป็นการส่งข้อมูลขึ้นมา .



รูปที่ 7 : รูปแสดงการส่งข้อมูลขึ้นมาบน PC

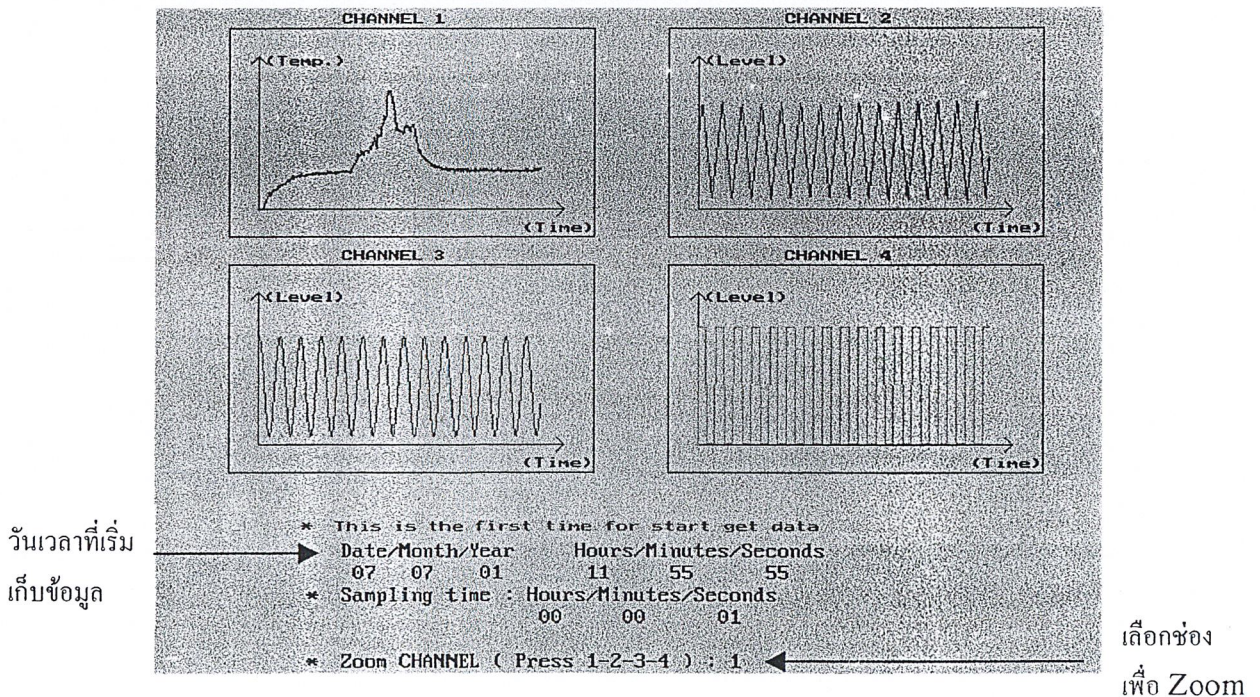
แต่ถ้ากด 2 แสดงว่าเป็นการเลือกเปิดไฟล์ที่เก็บไว้เอาออกมา Plot graph จากนั้นให้ใส่ชื่อไฟล์ที่ต้องการแสดงผลรูปที่ 8.



รูปที่ 8: การเปิดไฟล์ที่มีแล้ว

- ขั้นตอนที่ 4.

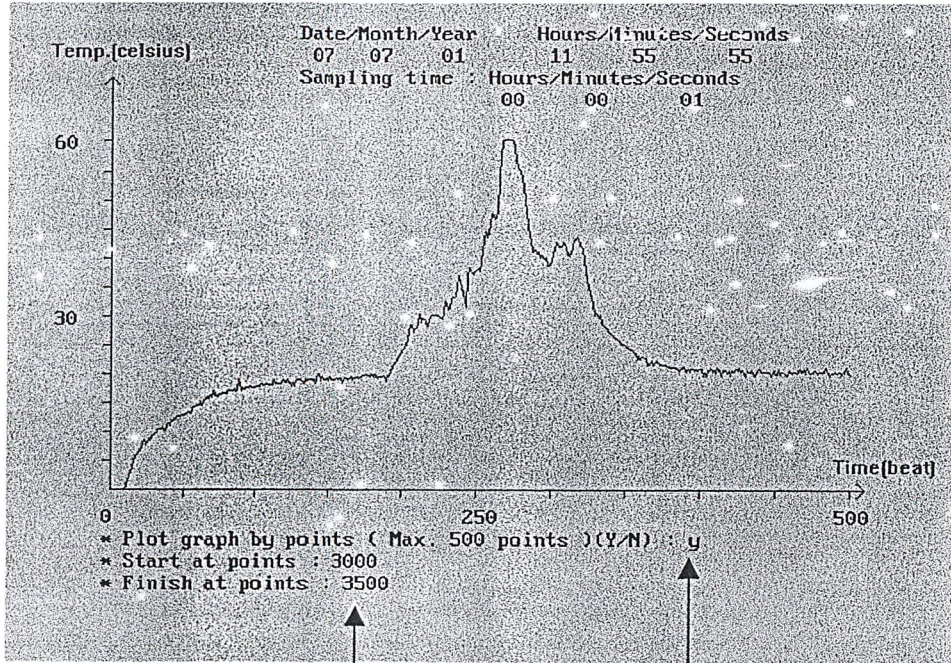
ข้อมูลที่ได้มาจะนำมา Plot เป็น Graph ในตอนนี้ Computer จะ Plot graph ตามจำนวนช่องที่ได้เลือกไว้ รูปที่ 9 ถ้าช่องไหนไม่ถูกเลือกให้เก็บข้อมูลก็จะไม่มี Graph ให้เห็น.



รูปที่ 9 : การ Plot graph ทั้ง 4 ช่องสัญญาณ

- ขั้นตอนที่ 5.

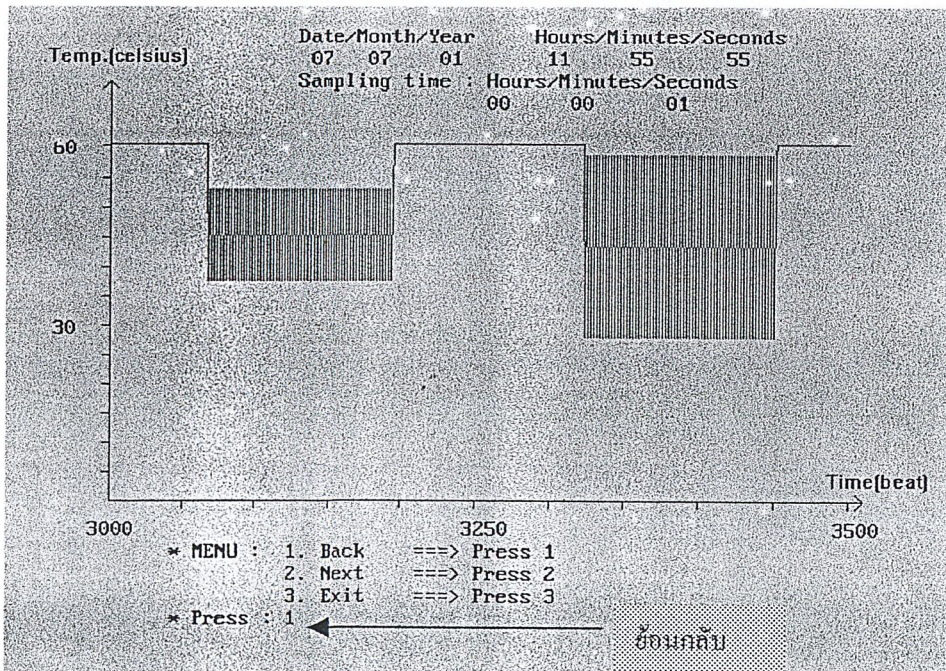
จากนั้นเราสามารถ Zoom ข้อมูลที่ละช่องสัญญาณได้ และยังสามารถดูข้อมูลในช่วงเวลาต่างๆ ที่เก็บได้ รูปที่ 10 และ รูปที่ 11



ตำแหน่งที่ต้องการดู

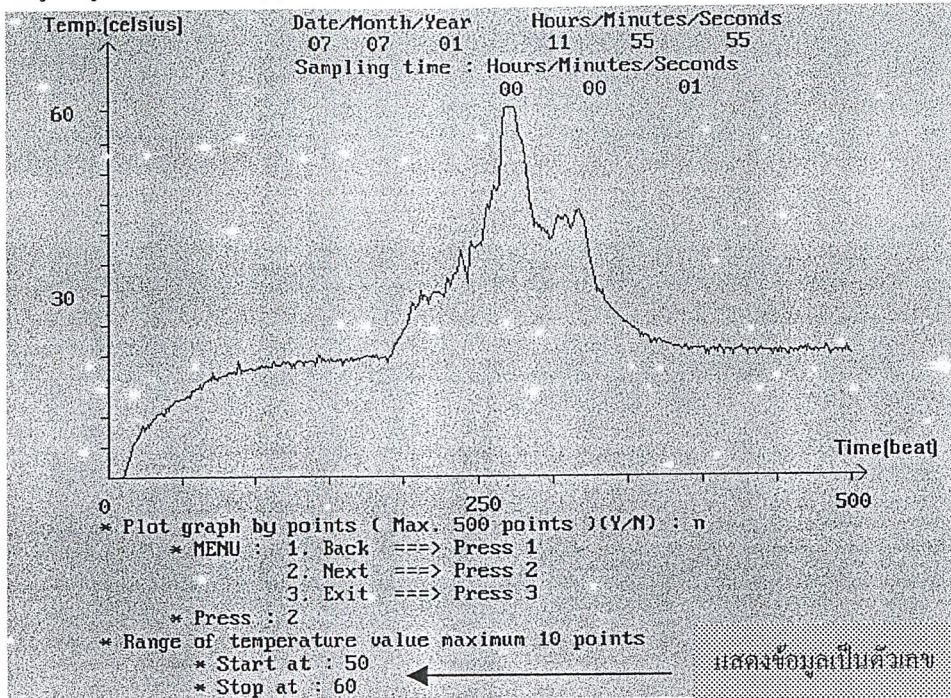
เลือกดูข้อมูลที่ตำแหน่งอื่นๆ

รูปที่ 10 : การ Zoom สัญญาณเพียงช่องเดียว



รูปที่ 11 : การดูข้อมูลในตำแหน่งอื่นๆ

ถ้าไม่ยอภาคข้อมูลที่จะต่อไป รูปที่ 12.



รูปที่ 12 : แสดงการกำหนดค่าที่จุดต่างๆ เพื่อดูข้อมูลเป็นค่าตัวเลข

จากรูปที่ 12. เรายังสามารถแสดงข้อมูลในแต่ละช่วงเวลาได้ตามที่ต้องการ แต่ต้องไม่เกิน 10 จุด รูปที่ 13.

Table at points	
Point	Celcuis
50	12
51	12
52	12
53	12
54	13
55	13
56	12
57	13
58	14
59	14
60	14

* MENU : 1. Back ==> Press 1
 2. Main window ==> Press 2
 3. Exit ==> Press 3
 * Press :

รูปที่ 16 : แสดงค่าต่างๆเป็นตัวเลข

ในการดูข้อมูลต่างๆสามารถใช้ Keyboard ควบคุมหรือป้อนคำสั่งได้เพียงอย่างเดียว

ภาคผนวก ค. โปรแกรม

```

#include <graphics.h>
#include <stdio.h>
#include <conio.h>
#include <dos.h>
#include <stdlib.h>
#include <io.h>
#include <math.h>
#include <bios.h>
#include <dir.h>
#include <ctype.h>
#define T 32768
#define SETTINGS ( 0x00 | 0x03 | 0x00 | 0x00 )

// Prototype
void window_channel(void);
void plot_4channel(void);
void window_temp_channel(void);
void window_a_channel(void);
void plot_a_channel(void);
unsigned new_file(void);
unsigned open_file(void);

FILE *buffer;
char file_name[16];
int gdriver=DETECT,gmode=VGAHI;
int data1,drive=3,mode=1,x,y,i,j,k,l,input=910,count=0;
unsigned char data2,data3[T];
int data4=500,channel,start=1,finish=1,t=0,first_data=10;

// Read serial port
char readcom(void)
{
    int data1;
    unsigned char data2;

    data1=0;

    while((data1&0x0100)==0)
    {
        if(kbhit()!=0)
            return(-1);
        data1=bioscom(3,0,0);
    }
    data2=bioscom(2,0,0);
    return(data2);
}

void main()
{
    int temp,temp1,temp2,back,x4=570,x8=70,x9,y11=355;
    char se_menu[2],condition;

win:        initgraph(&gdriver,&gmode,"c:\tc");

    setcolor(13);
    settextstyle(BOLD_FONT,HORIZ_DIR,1);
    outtextxy(220,120," Welcome to ");
    outtextxy(50,180," The Multi-Channel Data Logger System ");
    setcolor(13);
    settextstyle(DEFAULT_FONT,HORIZ_DIR,1);
    outtextxy(230,370," Press any key to continuous ");
    getch();
    closegraph();

choise:    initgraph(&gdriver,&gmode,"c:\tc");
    setcolor(13);
    settextstyle(BOLD_FONT,HORIZ_DIR,1);
    outtextxy(250,100," MENU ");
    gotoxy(24,12);
    printf("      1. New File "
           "\n\n      2. Open File "
           "\n\n      Press : ");
    gets(se_menu);
    if(se_menu[0]=='1')
    {
        new_file();
    }
    else if(se_menu[0]=='2')
    {
        open_file();
    }
}

```

```

    }
    else
    {
        printf(" \n Error , please select again : ");
        delay(1000);
        delay(1000);
        delay(1000);
        clrscr();
        goto choise;
    }
}

cha_nel:  initgraph(&gdriver,&gmode,"c:\tc\");

window_channel();
plot_4channel();

setcolor(13);
printf("\n\n      * Zoom CHANNEL ( Press 1-2-3-4 ) : ");
scanf("%d",&channel);

if(channel>0&&channel<5)
{
    if(channel==1)
    {
        closegraph();
        goto temp_graph;
    }
    else
    {
        closegraph();
        goto graph;
    }
}
else
{
    closegraph();
    goto cha_nel;
}

temp_graph:  initgraph(&gdriver,&gmode,"c:\tc\");

window_temp_channel();
plot_a_channel();

gotoxy(5,23);
printf("\n\n      * Plot graph by points / Max. 500 points (Y/N) : ");
scanf("%c",&condition);
if(condition=='Y' || condition=='y')
{
    printf("      * Start at points : ");
    scanf("%d",&start);
    printf("      * Finish at points : ");
    scanf("%d",&finish);
    if(start<=0 || finish>32766 || start>finish || (finish-start)>500)
    {
        closegraph();
        goto temp_graph;
    }
    else
    {
        closegraph();
        goto temp_graph_1;
    }
}
else if(condition=='N' || condition=='n')
{
    printf("      * MENU : 1. Back ==> Press 1 "
        "\n      2. Next ==> Press 2 "
        "\n      3. Exit ==> Press 3 ");
    printf("\n      * Press : ");
    scanf("%d",&back);
    if(back==1)
    {
        closegraph();
        goto cha_nel;
    }
    else if(back==2)
    {
        printf("      * Range of temperature value maximum 10 points ");
        printf("\n      * Start at : ");

```

```

scanf("%d",&temp1);
printf("      * Stop at : " );
scanf("%d",&temp2);
if(temp1<=0||temp2>=32700||(temp2-temp1)>10||temp1>temp2)
{
    closegraph();
    goto temp_graph;
}
else
{
    closegraph();
    goto graph_2;
}
}
else if(back==3)
{
    closegraph();
    goto graph_3;
}
}
else
{
    closegraph();
    goto temp_graph;
}
}

```

```
graph:    initgraph(&gdriver,&gmode,"c:\\vc");
```

```

window_a_channel();
plot_a_channel();

```

```

gotoxy(5,23);
printf("\n      * Plot graph by points : Max. 500 points (Y/N) : ");
scanf("%s",&condition);
if(condition=='Y'||condition=='y')
{
    printf("      * Start at points : ");
    scanf("%d",&start);
    printf("      * Finish at points : ");
    scanf("%d",&finish);
    if(start<=0||finish>32766||start>finish||(finish-start)>500)
    {
        closegraph();
        goto graph;
    }
    else
    {
        closegraph();
        goto graph_1;
    }
}
else if(condition=='N'||condition=='n')
{
    printf("      * MENU : 1. Back ==> Press 1 "
        "\n      2. Next ==> Press 2 "
        "\n      3. Exit ==> Press 3 ");
    printf("\n      * Press : ");
    scanf("%d",&back);
    if(back==1)
    {
        closegraph();
        goto cha_nel;
    }
    else if(back==2)
    {
        printf("      * Range of temperature value minimum 10 points ");
        printf("\n      * Start at : ");
        scanf("%d",&temp1);
        printf("      * Stop at : ");
        scanf("%d",&temp2);
        if(temp1<=0||temp2>=32700||(temp2-temp1)>10||temp1>temp2)
        {
            closegraph();
            goto graph;
        }
        else
        {
            closegraph();
            goto graph_2;
        }
    }
}
}

```

```

    }
    else if(back==3)
    {
        closegraph();
        goto graph_3;
    }
}
else
{
    closegraph();
    goto graph;
}

temp_graph_1:    initgraph(&gdriver,&gmode,"c:\vc6\");

    t=0;

check_code_2:    if(data3[t]==0x01||data3[t]==0x02||data3[t]==0x03||
                    data3[t]==0x04||data3[t]==0x05||data3[t]==0x06||
                    data3[t]==0x07||data3[t]==0x08||data3[t]==0x09||
                    data3[t]==0x0A||data3[t]==0x0B||data3[t]==0x0C||
                    data3[t]==0x0D||data3[t]==0x0E||data3[t]==0x0F)
    {
        t=t++;
        goto ting_2;
    }
    else
    {
        t=t++;
        goto check_code_2;
    }

ting_2:    gotoxy(25,2);
printf(" Date/Month/Year      Hours/Minutes/Seconds ");
gotoxy(25,3);
printf(" %02d %02d %02d %02d %02d %02d %02d "
        ,data3[t+1],data3[t+2],data3[t+3],data3[t+4],data3[t+5],data3[t+6]
        ,data3[t+7],data3[t+8],data3[t+9],data3[t+10],data3[t+11],data3[t+12]);
gotoxy(25,4);
printf(" Sampling time : Hours/Minutes/Seconds ");
gotoxy(25,5);
printf(" %02d %02d %02d %02d %02d %02d %02d "
        ,data3[t+13],data3[t+14]
        ,data3[t+15],data3[t+16],data3[t+17],data3[t+18]);

window_temp_channel();

gotoxy(8,24);
printf("%d",start);
gotoxy(70,24);
printf(" %d ",(start+500));//x8+data4);
gotoxy(39,24);
printf(" %d ",(start+250));//x8+data4)/2);

setcolor(9);
if(data3[t]==0x01)
{
    x9=x8;
    moveto(x9,y11-data3[(t+first_data+start)]);
    for(j=(t+first_data+start);j<=(t+first_data+finish);j++)
    {
        if(x9<=x4)
        {
            lineto(x9,y11-data3[j]);
            x9=x9++;
        }
    }
}
else if(data3[t]==0x03||data3[t]==0x05||data3[t]==0x09)
{
    x9=x8;
    moveto(x9,y11-data3[(t+first_data+(2*start)-2)]);
    for(j=(t+first_data+(2*start)-2);j<=(t+first_data+(2*finish)-2);j++)
    {
        if(x9<=x4)
        {
            lineto(x9,y11-data3[j]);
            x9=x9++;
            j=j+1;
        }
    }
}
}

```

```

}
else if(data3[t]==0x07||data3[t]==0x08||data3[t]==0x0D)
{
    x9=x8;
    moveto(x9,y11-data3[(t+first_data+(3*start)-3)]);
    for(j=(t+first_data+(3*start)-3);j<=(t+first_data+(3*finish)-3);j++)
    {
        if(x9<=x4)
        {
            lineto(x9,y11-data3[j]);
            x9=x9++;
            j=j+3;
        }
    }
}
else if(data3[t]==0x0E)
{
    x9=x8;
    moveto(x9,y11-data3[(t+first_data+(4*start)-4)]);
    for(j=(t+first_data+(4*start)-4);j<=(t+first_data+(4*finish)-4);j++)
    {
        if(x9<=x4)
        {
            lineto(x9,y11-data3[j]);
            x9=x9++;
            j=j+3;
        }
    }
}
else
{
}
setcolor(15);

printf("\n          *MENU : 1. Back      ==> Press 1 *
          "\n          2. Next      ==> Press 2 *
          "\n          3. Exit      ==> Press 3 *");
printf("\n          * Press : ");
scanf("%d",&back);

if(back==1)
{
    closegraph();
    goto temp_graph;
}
else if(back==2)
{
    printf("          * Range of temperature value minimum 10 points *");
    printf("\n          * Start at : ");
    scanf("%d",&temp1);
    printf("\n          * Stop at : ");
    scanf("%d",&temp2);
    if(temp1<=0||temp2>=32700||(temp2-temp1)>10||temp1>temp2)
    {
        closegraph();
        goto temp_graph_1;
    }
    else
    {
        closegraph();
        goto graph_2;
    }
}
else if(back==3)
{
    closegraph();
    goto graph_3;
}
else
{
    closegraph();
    goto temp_graph_1;
}

graph_1:  initgraph(&gdriver,&gmode,"c:\\vc");
          t=0;
check_code_3:  if(data3[t]==0x01||data3[t]==0x02||data3[t]==0x03||
                data3[t]==0x04||data3[t]==0x05||data3[t]==0x06||
                data3[t]==0x07||data3[t]==0x08||data3[t]==0x09||
                data3[t]==0x0A||data3[t]==0x0B||data3[t]==0x0C||

```



```

x9=x8;
moveto(x9,y11-data3[(t+first_data+(3*start)-3)]);
for(j=(t+first_data+(3*start)-2);j<=(t+first_data+(3*finish)-2);j++)
{
    if(x9<=x4)
    {
        lineto(x9,y11-data3[j]);
        x9=x9++;
        j=j+2;
    }
}
}
else if(data3[t]==0x0E)
{
    x9=x8;
    moveto(x9,y11-data3[(t+first_data+(3*start)-3)]);
    for(j=(t+first_data+(3*start)-3);j<=(t+first_data+(3*finish)-3);j++)
    {
        if(x9<=x4)
        {
            lineto(x9,y11-data3[j]);
            x9=x9++;
            j=j+2;
        }
    }
}
else if(data3[t]==0x0F)
{
    x9=x8;
    moveto(x9,y11-data3[(t+first_data+(4*start)-3)]);
    for(j=(t+first_data+(4*start)-3);j<=(t+first_data+(4*finish)-3);j++)
    {
        if(x9<=x4)
        {
            lineto(x9,y11-data3[j]);
            x9=x9++;
            j=j+3;
        }
    }
}
}
else
{
}
setcolor(15);
}
if(channel==3)
{
    setcolor(11);
    if(data3[t]==0x04)
    {
        x9=x8;
        moveto(x9,y11-data3[(t+first_data+start-1)]);
        for(j=(t+first_data+start-1);j<=(t+first_data+finish-1);j++)
        {
            if(x9<=x4)
            {
                lineto(x9,y11-data3[j]);
                x9=x9++;
            }
        }
    }
}
else if(data3[t]==0x0C)
{
    x9=x8;
    moveto(x9,y11-data3[(t+first_data+(2*start)-2)]);
    for(j=(t+first_data+(2*start)-2);j<=(t+first_data+(2*finish)-2);j++)
    {
        if(x9<=x4)
        {
            lineto(x9,y11-data3[j]);
            x9=x9++;
            j=j+1;
        }
    }
}
}
else if(data3[t]==0x05||data3[t]==0x08)
{
    x9=x8;
    moveto(x9,y11-data3[(t+first_data+(2*start)-1)]);
    for(j=(t+first_data+(2*start)-1);j<=(t+first_data+(2*finish)-1);j++)

```

```

    {
        if(x9<=x4)
        {
            lineto(x9,y11-data3[j]);
            x9=x9++;
            j=j+1;
        }
    }
}
else if(data3[t]==0x0D||data3[t]==0x0E)
{
    x9=x8;
    moveto(x9,y11-data3[(t+first_data+(3*start)-2)]);
    for(j=(t+first_data+(3*start)-2);j<=(t+first_data+(3*finish)-2);j++)
    {
        if(x9<=x4)
        {
            lineto(x9,y11-data3[j]);
            x9=x9++;
            j=j+2;
        }
    }
}
else if(data3[t]==0x07)
{
    x9=x8;
    moveto(x9,y11-data3[(t+first_data+(3*start)-1)]);
    for(j=(t+first_data+(3*start)-1);j<=(t+first_data+(3*finish)-1);j++)
    {
        if(x9<=x4)
        {
            lineto(x9,y11-data3[j]);
            x9=x9++;
            j=j+2;
        }
    }
}
else if(data3[t]==0x0F)
{
    x9=x8;
    moveto(x9,y11-data3[(t+first_data+(4*start)-2)]);
    for(j=(t+first_data+(4*start)-2);j<=(t+first_data+(4*finish)-2);j++)
    {
        if(x9<=x4)
        {
            lineto(x9,y11-data3[j]);
            x9=x9++;
            j=j+3;
        }
    }
}
else
{
}
setcolor(15);
}
if(channel==4)
{
    setcolor(14);
    if(data3[t]==0x08)
    {
        x9=x8;
        moveto(x9,y11-data3[(t+first_data+start)]);
        for(j=(t+first_data+start);j<=(t+first_data+finish);j++)
        {
            if(x9<=x4)
            {
                lineto(x9,y11-data3[j]);
                x9=x9++;
            }
        }
    }
}
else if(data3[t]==0x09||data3[t]==0x0A||data3[t]==0x0C)
{
    x9=x8;
    moveto(x9,y11-data3[(t+first_data+(2*start)-1)]);
    for(j=(t+first_data+(2*start)-1);j<=(t+first_data+(2*finish)-1);j++)
    {
        if(x9<=x4)
        {

```

```

        lineto(x9,y11-data3[j]);
        x9=x9++;
        j=j+1;
    }
}
else if(data3[t]==0x0B||data3[t]==0x0D||data3[t]==0x0E)
{
    x9=x8;
    moveto(x9,y11-data3[(t+first_data+(3*start)-1)]);
    for(j=(t+first_data+(3*start)-1);j<=(t+first_data+(3*finish)-1);j++)
    {
        if(x9<=x4)
        {
            lineto(x9,y11-data3[j]);
            x9=x9++;
            j=j+2;
        }
    }
}
else if(data3[t]==0x0F)
{
    x9=x8;
    moveto(x9,y11-data3[(t+first_data+(4*start)-1)]);
    for(j=(t+first_data+(4*start)-1);j<=(t+first_data+(4*finish)-1);j++)
    {
        if(x9<=x4)
        {
            lineto(x9,y11-data3[j]);
            x9=x9++;
            j=j+3;
        }
    }
}
else
{
}
setcolor(15);
}
else
{
}
printf("\n          * MENU : 1. Back      ==> Press 1 "
"\n          2. Next      ==> Press 2 "
"\n          3. Exit      ==> Press 3 ");
printf("\n          * Press : ");
scanf("%d",&back);

if(back==1)
{
    closegraph();
    goto graph;
}
else if(back==2)
{
    printf("          * Range of temperature value maximum 10 points ");
    printf("\n          * Start at : ");
    scanf("%d",&temp1);
    printf("\n          * Stop at : ");
    scanf("%d",&temp2);
    if(temp1<=0||temp2>=32700||temp2-temp1>10||temp1>temp2)
    {
        closegraph();
        goto graph_1;
    }
    else
    {
        closegraph();
        goto graph_2;
    }
}
else if(back==3)
{
    closegraph();
    goto graph_3;
}
else
{
    closegraph();
    goto graph_1;
}

```

```

}

graph_2: initgraph(&gdriver,&gmode,"c:\\bc");
t=0;
printf("\n *****
\n *             Title at points             *
\n *****");
check_code_4: if(data3[t]==0x01||data3[t]==0x02||data3[t]==0x03||
data3[t]==0x04||data3[t]==0x05||data3[t]==0x06||
data3[t]==0x07||data3[t]==0x08||data3[t]==0x09||
data3[t]==0x0A||data3[t]==0x0B||data3[t]==0x0C||
data3[t]==0x0D||data3[t]==0x0E||data3[t]==0x0F)
{
t=t++;
goto ting_4;
}
else
{
t=t++;
goto check_code_4;
}

ting_4: if(channel==1)
{
if(data3[t]==0x01)
{
for(j=(t+19+temp1-1);j<=(t+19+temp2-1);j++)
{
printf("\n         - Point Celsius ");
printf("\n         %d         %d ",temp1,data3[j]*50/256);
temp1++;
}
}
else if(data3[t]==0x03||data3[t]==0x05||data3[t]==0x09)
{
for(j=(t+19+2*temp1-2);j<=(t+19+2*temp2-1);j++)
{
printf("\n         - Point Celsius ");
printf("\n         %d         %d ",temp1,(data3[j]*50)/256);
temp1++;
j=j+1;
}
}
else if(data3[t]==0x07||data3[t]==0x0B||data3[t]==0x0D)
{
for(j=(t+19+3*temp1-3);j<=(t+19+3*temp2-1);j++)
{
printf("\n         - Point Celsius ");
printf("\n         %d         %d ",temp1,(data3[j]*50)/256);
temp1++;
j=j+2;
}
}
else if(data3[t]==0x0F)
{
for(j=(t+19+(4*temp1)-4);j<=(t+19+(4*temp2)-4);j++)
{
printf("\n         - Point Celsius ");
printf("\n         %d         %d ",temp1,(data3[j]*50)/256);
temp1++;
j=j+3;
}
}
else
{
}
setcolor(15);
}
else if(channel==2)
{
if(data3[t]==0x02)
{
for(j=(t+19+temp1-1);j<=(t+19+temp2-1);j++)
{
printf("\n         - Point Level ");
printf("\n         %d         %d ",temp1,data3[j]);
temp1++;
}
}
else if(data3[t]==0x03)

```

```

+;
{
    for(j=(t+19+2*templ-1);j<=(t+19+2*temp2);j++)
    {
        printf("\n          - Point      Level ");
        printf("\n          %2d          %2d ",templ,data3[j]);
        templ++;
        j=j+1;
    }
}
else if(data3[t]==0x06|data3[t]==0x0A)
{
    for(j=(t+19+2*templ-2);j<=(t+19+2*temp2-1);j++)
    {
        printf("\n          - Point      Level ");
        printf("\n          %2d          %2d ",templ,data3[j]);
        templ++;
        j=j+1;
    }
}
else if(data3[t]==0x07|data3[t]==0x0B)
{
    for(j=(t+19+3*templ-2);j<=(t+19+3*temp2);j++)
    {
        printf("\n          - Point      Level ");
        printf("\n          %2d          %2d ",templ,data3[j]);
        templ++;
        j=j+2;
    }
}
else if(data3[t]==0x0E)
{
    for(j=(t+19+3*templ-3);j<=(t+19+3*temp2-1);j++)
    {
        printf("\n          - Point      Level ");
        printf("\n          %2d          %2d ",templ,data3[j]);
        templ++;
        j=j+2;
    }
}
else if(data3[t]==0x0F)
{
    for(j=(t+19+(4*templ)-3);j<=(t+19+(4*temp2)-3);j++)
    {
        printf("\n          - Point      Level ");
        printf("\n          %2d          %2d ",templ,data3[j]);
        templ++;
        j=j+3;
    }
}
else
{
}
setcolor(15);
}
if(channel==3)
{
    if(data3[t]==0x04)
    {
        for(j=(t+19+templ-1);j<=(t+19+temp2-1);j++)
        {
            printf("\n          - Point      Level ");
            printf("\n          %2d          %2d ",templ,data3[j]);
            templ++;
        }
    }
    else if(data3[t]==0x0C)
    {
        for(j=(t+19+2*templ-2);j<=(t+19+2*temp2-1);j++)
        {
            printf("\n          - Point      Level ");
            printf("\n          %2d          %2d ",templ,data3[j]);
            templ++;
            j=j+1;
        }
    }
    else if(data3[t]==0x05|data3[t]==0x06)
    {
        for(j=(t+19+2*templ-1);j<=(t+19+2*temp2);j++)
        {
            printf("\n          - Point      Level ");

```

```

        printf("\n          %2d          %2d ",temp1,data3[j]);
        temp1++;
        j=j+1;
    }
}
else if(data3[t]==0x0D|data3[t]==0x0E)
{
    for(j=(t+19+3*temp1-2);j<=(t+19+3*temp2);j++)
    {
        printf("\n          - Point      Level ");
        printf("\n          %2d          %2d ",temp1,data3[j]);
        temp1++;
        j=j+2;
    }
}
else if(data3[t]==0x07)
{
    for(j=(t+19+3*temp1-1);j<=(t+19+3*temp2+1);j++)
    {
        printf("\n          - Point      Level ");
        printf("\n          %2d          %2d ",temp1,data3[j]);
        temp1++;
        j=j+2;
    }
}
else if(data3[t]==0x0F)
{
    for(j=(t+19+(4*temp1)-2);j<=(t+19+(4*temp2)-2);j++)
    {
        printf("\n          - Point      Level ");
        printf("\n          %2d          %2d ",temp1,data3[j]);
        temp1++;
        j=j+3;
    }
}
}
else
{
}
}
setcolor(15);
}
if(channel==4)
{
    if(data3[t]==0x08)
    {
        for(j=(t+19+temp1-1);j<=(t+19+temp2-1);j++)
        {
            printf("\n          - Point      level ");
            printf("\n          %2d          %2d ",temp1,data3[j]);
            temp1++;
        }
    }
    else if(data3[t]==0x09|data3[t]==0x0A|data3[t]==0x0C)
    {
        for(j=(t+19+2*temp1-1);j<=(t+19+2*temp2);j++)
        {
            printf("\n          - Point      level ");
            printf("\n          %2d          %2d ",temp1,data3[j]);
            temp1++;
            j=j+1;
        }
    }
    else if(data3[t]==0x0B|data3[t]==0x0D|data3[t]==0x0E)
    {
        for(j=(t+19+3*temp1-1);j<=(t+19+3*temp2+1);j++)
        {
            printf("\n          - Point      level ");
            printf("\n          %2d          %2d ",temp1,data3[j]);
            temp1++;
            j=j+2;
        }
    }
}
else if(data3[t]==0x0F)
{
    for(j=(t+19+(4*temp1)-1);j<=(t+19+(4*temp2)-1);j++)
    {
        printf("\n          - Point      level ");
        printf("\n          %2d          %2d ",temp1,data3[j]);
        temp1++;
        j=j+3;
    }
}
}

```

```

    }
    else
    {
    }
    setcolor(15);
}
else
{
}
printf("\n\n          * MENU : 1. Back      ==> Press 1 "
       "\n          2. Main window ==> Press 2 "
       "\n          3. Exit          ==> Press 3 ");
printf("\n          * Press : ");
scanf("%d",&back);

if(back==1)
{
    if(channel==1)
    {
        closegraph();
        goto temp_graph;
    }
    else
    {
        closegraph();
        goto graph;
    }
}
else if(back==2)
{
    closegraph();
    goto win;
}
else if(back==3)
{
    closegraph();
    goto graph_3;
}
else
{
    closegraph();
    goto graph_1;
}

graph_3:    closegraph();

}

//=====
// New File
//=====
unsigned new_file()
{
    int x_axis=25,y_axis=19;

    initgraph(&gdriver,&gmode,"c:\\tc");
    bioscom( 0 , SETTINGS , 0 );
    setcolor(13);
    setttextstyle(BOLD_FONT,HORIZ_DIR,1);
    outtextxy(230,100," New File ");
    gotoxy(25,11);
    printf(" Save File Name : ");
    gets(file_name);
    printf("\n\n");
    if((buffer=fopen(file_name,"w+"))==NULL)
    {
        gotoxy(20,13);
        fprintf(stderr,"Opening file error \n");
        exit(1);
    }
    gotoxy(25,15);
    printf("  Waiting for receive data " );
    setcolor(14);
    rectangle(110,200,510,370);
    setcolor(13);
    rectangle(190,280,435,310);

    for(i=0;i<T;i++)
    {
        data3[i]=readcom();
    }
}

```

```

    if(i==0)
    {
        gotoxy(25,15);
        printf("      Receiving data      " );
    }
    if(i==input)
    {
        count=count+3;
        gotoxy(38,17);
        printf("%d %", (count*100)/90);
        gotoxy(x_axis,y_axis);
        printf("\xB0");
        x_axis=x_axis+1;
        input=input+910;
    }
}
sound(1000);
gotoxy(25,15);
printf("      " );
gotoxy(28,17);
printf(" Up Load Data Complete      " );
delay(1000);
delay(1000);
nosound();

fwrite(data3,sizeof(data3),1,buffer);
if(ferror(buffer))
{
    gotoxy(20,14);
    printf("Can not writing file \n");
    exit(1);
}
fclose(buffer);
closegraph();
return(data3[i]);
}

//=====
// Open File
//=====
unsigned open_file()
{
    struct ftime filet;
    struct fblk block;
    int ch,flag,y_plot;
    char drive_path_name[70];

open:    initgraph(&gdriver,&gmode,"c:\\tc");
        setcolor(13);
        y_plot=14;
        settextstyle(BOLD_FONT,HORIZ_DIR,1);
        outtextxy(230,100," Open File ");
        setcolor(15);
        settextstyle(DEFAULT_FONT,HORIZ_DIR,1);
        gotoxy(20,11);
        printf("      Find file name : ");
        gets(drive_path_name);
        gotoxy(20,13);
        printf("      File name      Size(byte)      ");
        //gotoxy(20,28);
        flag = findfirst(drive_path_name,&block,32);
        while(!flag)
        {
            gotoxy(28,y_plot);
            printf("%s",block.ff_name);
            gotoxy(50,y_plot);
            printf("%7ld",block.ff_fsize);
            flag = findnext(&block);
            y_plot++;
            if(y_plot==24)
            {
                outtextxy(200,400," Press any key to continue ");
                getch();
                y_plot=14;
            }
        }
        //gotoxy(20,29);
    }
    setcolor(0);
    outtextxy(200,400," Press any key to continue ");
}

```

```

setcolor(15);
outtextxy(200,400," Press <ESC> = Find again");
outtextxy(200,420," <ENTER> = Open file");
ch=getch();
setcolor(0);
outtextxy(200,400," Press <ESC> = Find again");
outtextxy(200,420," <ENTER> = Open file");

if(ch==0x1b)
{
    closegraph();
    goto open;
}

gotoxy(20,25);
printf(" File Name : ");
gets(file_name);

if((buffer=fopen(file_name,"r+"))==NULL)
{
    gotoxy(20,27);
    fprintf(stderr,"Opening file %s error \n",file_name);
    exit(1);
}
fread(data3,sizeof(data3),1,buffer);
if(ferror(buffer))
{
    gotoxy(20,27);
    printf("Can not reading file \n");
    exit(1);
}
fclose(buffer);
if(ferror(buffer) != NULL)
{
    gotoxy(20,27);
    fprintf(stderr,"File %s can not close \n " , file_name);
    exit(1);
}
closegraph();
return(data3[i]);
}

//=====
// Window 4 channel
//=====
void window_channel()
{
    int x1=20,x2=270,x3=320,x4=570,x5=90,x7=390;
    int y1=15,y2=165,y3=185,y4=335,y5=5,y6=175;

    outtextxy(x5+30,y5," CHANNEL 1 ");
    outtextxy(x7+30,y5," CHANNEL 2 ");
    outtextxy(x5+30,y6," CHANNEL 3 ");
    outtextxy(x7+30,y6," CHANNEL 4 ");
    outtextxy(x1+55,y1+20,"(Temp.)");
    outtextxy(x2-17,y2-10,"(Time) ");
    outtextxy(x3+55,y1+20,"(Level)");
    outtextxy(x4-17,y2-10,"(Time) ");
    outtextxy(x1+55,y3+20,"(Level)");
    outtextxy(x2-17,y4-10,"(Time) ");
    outtextxy(x3+55,y3+20,"(Level)");
    outtextxy(x4-17,y4-10,"(Time) ");

    setcolor(14);
    rectangle(x1+30,y1,x2+30,y2); //CHANNEL 1
    line(x1+50,y2-20,x2+10,y2-20); // set row
    moveto(x2+5,y2-25);
    lineto(x2+10,y2-20);
    lineto(x2+5,y2-15); // set collum
    line(x1+50,y2-20,x1+50,y2-130);
    moveto(x1+45,y1+25);
    lineto(x1+50,y1+20);
    lineto(x1+55,y1+25);

    rectangle(x3+30,y1,x4+30,y2); //CHANNEL 2
    line(x3+50,y2-20,x4+10,y2-20); // set row
    moveto(x4+5,y2-25);
    lineto(x4+10,y2-20);
    lineto(x4+5,y2-15); // set collum
    line(x3+50,y2-20,x3+50,y2-130);
}

```



```

moveto(x3+50,y2-20);      // Plot graph CHANNEL 2
datal=0;
for(i=t+19;i<T;i++)
{
  if((x3+50+datal/3)<(x4-5))
  {
    lineto(x3+50+datal/3,y2-20-data3[i]/3);
    datal++;
  }
}
setcolor(15);
}
else if(data3[t]==0x04)    //Channel 3
{
  setcolor(11);
  moveto(x1+50,y4-20);    // Plot graph CHANNEL 3
  datal=0;
  for(i=t+19;i<T;i++)
  {
    if((x1+50+datal/3)<(x2-5))
    {
      lineto(x1+50+datal/3,y4-20-data3[i]/3);
      datal++;
    }
  }
  setcolor(15);
}
else if(data3[t]==0x08)    //Channel 4
{
  setcolor(12);
  moveto(x3+50,y4-20);    // Plot graph CHANNEL 4
  datal=0;
  for(i=t+19;i<T;i++)
  {
    if((x3+50+datal/3)<(x4-5))
    {
      lineto(x3+50+datal/3,y4-20-data3[i]/3);
      datal++;
    }
  }
  setcolor(15);
}
else if(data3[t]==0x03)    //Channel 1
{
  setcolor(9);
  moveto(x1+50,y2-20);    // Plot graph CHANNEL 1
  datal=0;
  for(i=t+19;i<T;i++)
  {
    if((x1+50+datal/3)<(x2-5))
    {
      lineto(x1+50+datal/3,y2-20-data3[i]/3);
      datal++;
      i=i+1;
    }
  }
  setcolor(15);

  setcolor(10);
  moveto(x3+50,y2-20);    // Plot graph CHANNEL 2
  datal=0;
  for(i=t+20;i<T;i++)
  {
    if((x3+50+datal/3)<(x4-5))
    {
      lineto(x3+50+datal/3,y2-20-data3[i]/3);
      datal++;
      i=i+1;
    }
  }
  setcolor(15);
}
else if(data3[t]==0x05)
{
  setcolor(9);
  moveto(x1+50,y2-20);    // Plot graph CHANNEL 1
  datal=0;
  for(i=t+19;i<T;i++)
  {
    if((x1+50+datal/3)<(x2-5))

```

```

    {
        lineto(x1+50+data1/3,y2-20-data3[i]/3);
        data1++;
        i=i+1;
    }
}
setcolor(15);

setcolor(11);
moveto(x1+50,y4-20);          // Plot graph CHANNEL 3
data1=0;
for(i=t+20;i<T;i++)
{
    if((x1+50+data1/3)<(x2-5))
    {
        lineto(x1+50+data1/3,y4-20-data3[i]/3);
        data1++;
        i=i+1;
    }
}
setcolor(15);
}
else if(data3[t]==0x06)
{
    setcolor(10);
    moveto(x3+50,y2-20);      // Plot graph CHANNEL 2
    data1=0;
    for(i=t+19;i<T;i++)
    {
        if((x3+50+data1/3)<(x4-5))
        {
            lineto(x3+50+data1/3,y2-20-data3[i]/3);
            data1++;
            i=i+1;
        }
    }
    setcolor(15);

    setcolor(11);
    moveto(x1+50,y4-20);      // Plot graph CHANNEL 3
    data1=0;
    for(i=t+20;i<T;i++)
    {
        if((x1+50+data1/3)<(x2-5))
        {
            lineto(x1+50+data1/3,y4-20-data3[i]/3);
            data1++;
            i=i+1;
        }
    }
    setcolor(15);
}
else if(data3[t]==0x09)
{
    setcolor(9);
    moveto(x1+50,y2-20);      // Plot graph CHANNEL 1
    data1=0;
    for(i=t+19;i<T;i++)
    {
        if((x1+50+data1/3)<(x2-5))
        {
            lineto(x1+50+data1/3,y2-20-data3[i]/3);
            data1++;
            i=i+1;
        }
    }
    setcolor(15);

    setcolor(12);
    moveto(x3+50,y4-20);      // Plot graph CHANNEL 4
    data1=0;
    for(i=t+20;i<T;i++)
    {
        if((x3+50+data1/3)<(x4-5))
        {
            lineto(x3+50+data1/3,y4-20-data3[i]/3);
            data1++;
            i=i+1;
        }
    }
}
}

```

```

    setcolor(15);
}
else if(data3[t]==0x0A)
{
    setcolor(10);
    moveto(x3+50,y2-20);        // Plot graph CHANNEL 2
    data1=0;
    for(i=t+19;i<T;i++)
    {
        if((x3+50+data1/3)<(x4-5))
        {
            lineto(x3+50+data1/3,y2-20-data3[i]/3);
            data1++;
            i=i+1;
        }
    }
    setcolor(15);

    setcolor(12);
    moveto(x3+50,y4-20);        // Plot graph CHANNEL 4
    data1=0;
    for(i=t+20;i<T;i++)
    {
        if((x3+50+data1/3)<(x4-5))
        {
            lineto(x3+50+data1/3,y4-20-data3[i]/3);
            data1++;
            i=i+1;
        }
    }
    setcolor(15);
}
else if(data3[t]==0x0C)
{
    setcolor(11);
    moveto(x1+50,y4-20);        // Plot graph CHANNEL 3
    data1=0;
    for(i=t+19;i<T;i++)
    {
        if((x1+50+data1/3)<(x2-5))
        {
            lineto(x1+50+data1/3,y4-20-data3[i]/3);
            data1++;
            i=i+1;
        }
    }
    setcolor(15);

    setcolor(12);
    moveto(x3+50,y4-20);        // Plot graph CHANNEL 4
    data1=0;
    for(i=t+20;i<T;i++)
    {
        if((x3+50+data1/3)<(x4-5))
        {
            lineto(x3+50+data1/3,y4-20-data3[i]/3);
            data1++;
            i=i+1;
        }
    }
    setcolor(15);
}
else if(data3[t]==0x07)
{
    setcolor(9);
    moveto(x1+50,y2-20);        // Plot graph CHANNEL 1
    data1=0;
    for(i=t+19;i<T;i++)
    {
        if((x1+50+data1/3)<(x2-5))
        {
            lineto(x1+50+data1/3,y2-20-data3[i]/3);
            data1++;
            i=i+2;
        }
    }
    setcolor(15);

    setcolor(10);
    moveto(x3+50,y2-20);        // Plot graph CHANNEL 2

```

```

data1=0;
for(i=t+20;i<T;i++)
{
  if((x3+50+data1/3)<(x4-5))
  {
    lineto(x3+50+data1/3,y2-20-data3[i]/3);
    data1++;
    i=i+2;
  }
}
setcolor(15);

setcolor(11);
moveto(x1+50,y4-20);      // Plot graph CHANNEL 3
data1=0;
for(i=t+21;i<T;i++)
{
  if((x1+50+data1/3)<(x2-5))
  {
    lineto(x1+50+data1/3,y4-20-data3[i]/3);
    data1++;
    i=i+2;
  }
}
setcolor(15);
}
else if(data3[t]==0x0B)
{
  setcolor(9);
  moveto(x1+50,y2-20);    // Plot graph CHANNEL 1
  data1=0;
  for(i=t+19;i<T;i++)
  {
    if((x1+50+data1/3)<(x2-5))
    {
      lineto(x1+50+data1/3,y2-20-data3[i]/3);
      data1++;
      i=i+2;
    }
  }
  setcolor(15);

  setcolor(10);
  moveto(x3+50,y2-20);    // Plot graph CHANNEL 2
  data1=0;
  for(i=t+20;i<T;i++)
  {
    if((x3+50+data1/3)<(x4-5))
    {
      lineto(x3+50+data1/3,y2-20-data3[i]/3);
      data1++;
      i=i+2;
    }
  }
  setcolor(15);

  setcolor(12);
  moveto(x3+50,y4-20);    // Plot graph CHANNEL 4
  data1=0;
  for(i=t+21;i<T;i++)
  {
    if((x3+50+data1/3)<(x4-5))
    {
      lineto(x3+50+data1/3,y4-20-data3[i]/3);
      data1++;
      i=i+2;
    }
  }
  setcolor(15);
}
else if(data3[t]==0x0D)
{
  setcolor(9);
  moveto(x1+50,y2-20);    // Plot graph CHANNEL 1
  data1=0;
  for(i=t+19;i<T;i++)
  {
    if((x1+50+data1/3)<(x2-5))
    {
      lineto(x1+50+data1/3,y2-20-data3[i]/3);

```

```

        datal++;
        i=i+2;
    }
}
setcolor(15);

setcolor(11);
moveto(x1+50,y4-20);      // Plot graph CHANNEL 3
datal=0;
for(i=t+20;i<T;i++)
{
    if((x1+50+datal/3)<(x2-5))
    {
        lineto(x1+50+datal/3,y4-20-data3[i]/3);
        datal++;
        i=i+2;
    }
}
setcolor(15);

setcolor(12);
moveto(x3+50,y4-20);      // Plot graph CHANNEL 4
datal=0;
for(i=t+21;i<T;i++)
{
    if((x3+50+datal/3)<(x4-5))
    {
        lineto(x3+50+datal/3,y4-20-data3[i]/3);
        datal++;
        i=i+2;
    }
}
setcolor(15);
}
else if(data3[t]==0x0E)
{
    setcolor(10);
    moveto(x3+50,y2-20);      // Plot graph CHANNEL 2
    datal=0;
    for(i=t+19;i<T;i++)
    {
        if((x3+50+datal/3)<(x4-5))
        {
            lineto(x3+50+datal/3,y2-20-data3[i]/3);
            datal++;
            i=i+2;
        }
    }
    setcolor(15);

    setcolor(11);
    moveto(x1+50,y4-20);      // Plot graph CHANNEL 3
    datal=0;
    for(i=t+20;i<T;i++)
    {
        if((x1+50+datal/3)<(x2-5))
        {
            lineto(x1+50+datal/3,y4-20-data3[i]/3);
            datal++;
            i=i+2;
        }
    }
    setcolor(15);

    setcolor(12);
    moveto(x3+50,y4-20);      // Plot graph CHANNEL 4
    datal=0;
    for(i=t+21;i<T;i++)
    {
        if((x3+50+datal/3)<(x4-5))
        {
            lineto(x3+50+datal/3,y4-20-data3[i]/3);
            datal++;
            i=i+2;
        }
    }
    setcolor(15);
}
else if(data3[t]==0x0F)
{

```

```

setcolor(9);
moveto(x1+50,y2-20); // Plot graph CHANNEL 1
datal=0;
for(i=t+19;i<T;i++)
{
    if((x1+50+datal/3)<(x2-5))
    {
        lineto(x1+50+datal/3,y2-20-data3[i]/3);
        datal++;
        i=i+3;
    }
}
setcolor(15);

setcolor(10);
moveto(x3+50,y2-20); // Plot graph CHANNEL 2
datal=0;
for(i=t+20;i<T;i++)
{
    if((x3+50+datal/3)<(x4-5))
    {
        lineto(x3+50+datal/3,y2-20-data3[i]/3);
        datal++;
        i=i+3;
    }
}
setcolor(15);

setcolor(11);
moveto(x1+50,y4-20); // Plot graph CHANNEL 3
datal=0;
for(i=t+21;i<T;i++)
{
    if((x1+50+datal/3)<(x2-5))
    {
        lineto(x1+50+datal/3,y4-20-data3[i]/3);
        datal++;
        i=i+3;
    }
}
setcolor(15);

setcolor(12);
moveto(x3+50,y4-20); // Plot graph CHANNEL 4
datal=0;
for(i=t+22;i<T;i++)
{
    if((x3+50+datal/3)<(x4-5))
    {
        lineto(x3+50+datal/3,y4-20-data3[i]/3);
        datal++;
        i=i+3;
    }
    else
    {
    }
}
setcolor(15);
}
else
{
}
}
//=====
// Window Temperature channel
//=====
void window_temp_channel()
{
    int x4=570,x8=70,x9;
    int y11=355,y12=55;

    setcolor(14);
    line(x8,y11,x4+10,y11); //row
    moveto(x4+5,y11-5);
    lineto(x4+10,y11);
    lineto(x4+5,y11+5);

    moveto(x4,y11);
    lineto(x4,y11+5);
    for(k=1;k<10;k++)

```

```

{
moveto(x8+((x4-x8)/10)*k,y11);
lineto(x8+((x4-x8)/10)*k,y11+5);
}

line(x8,y11,x8,y12);          //column
moveto(x8-5,y12+5);          // set symbol ( > )
lineto(x8,y12);
lineto(x8+5,y12+5);

moveto(x8,y12+46);           //set range of column
lineto(x8-5,y12+46);
for(l=1;l<12;l++)
{
moveto(x8,y11-((y11-y12-44)/12)*l);
lineto(x8-5,y11-((y11-y12-44)/12)*l);
}
setcolor(14);

gotoxy(6,3);                 // set range
printf("Temp.(celsius) ");
gotoxy(71,22);
printf("Time(beat) ");
//gotoxy(4,5);
//printf(" 55 ");
gotoxy(4,7);
printf(" 60");
gotoxy(4,15);
printf(" 30");
gotoxy(8,24);
printf(" 0 ");
gotoxy(70,24);
printf(" %d ",data4);//x8+data4);
gotoxy(39,24);
printf(" %d ",data4/2);//(x8+data4)/2);
}

//=====
// Window a channel
//=====
void window_a_channel()
{
int x4=570,x8=70,x9;
int y11=355,y12=55;

setcolor(14);
line(x8,y11,x4+10,y11);      //row
moveto(x4+5,y11-5);
lineto(x4+10,y11);
lineto(x4+5,y11+5);

moveto(x4,y11);
lineto(x4,y11+5);
for(k=1;k<10;k++)
{
moveto(x8+((x4-x8)/10)*k,y11);
lineto(x8+((x4-x8)/10)*k,y11+5);
}

line(x8,y11,x8,y12);        //column
moveto(x8-5,y12+5);        // set symbol ( > )
lineto(x8,y12);
lineto(x8+5,y12+5);

moveto(x8,y12+46);         //set range of column
lineto(x8-5,y12+46);
for(l=1;l<10;l++)
{
moveto(x8,y11-((y11-y12-44)/10)*l);
lineto(x8-5,y11-((y11-y12-44)/10)*l);
}
setcolor(14);

gotoxy(6,3);               // set range
printf(" Level ");
gotoxy(71,22);
printf("Time(beat) ");
gotoxy(4,6);
printf(" 255 ");
}

```



```

    for(j=t+19;j<T;j++)
    {
        if(x9<=x4)
        {
            lineto(x9,y11-data3[j]);
            x9=x9++;
            j=j+2;
        }
    }
}
else if(data3[t]==0x0F)
{
    x9=x8;
    moveto(x9,y11-data3[t+19]);
    for(j=t+19;j<T;j++)
    {
        if(x9<=x4)
        {
            lineto(x9,y11-data3[j]);
            x9=x9++;
            j=j+3;
        }
    }
}
else
{
}
setcolor(15);
}
else if(channel==2)
{
    setcolor(10);
    if(data3[t]==0x02)
    {
        x9=x8;
        moveto(x9,y11-data3[t+19]);
        for(j=t+19;j<T;j++)
        {
            if(x9<=x4)
            {
                lineto(x9,y11-data3[j]);
                x9=x9++;
            }
        }
    }
    else if(data3[t]==0x03)
    {
        x9=x8;
        moveto(x9,y11-data3[t+20]);
        for(j=t+20;j<T;j++)
        {
            if(x9<=x4)
            {
                lineto(x9,y11-data3[j]);
                x9=x9++;
                j=j+1;
            }
        }
    }
}
else if(data3[t]==0x06||data3[t]==0x0A)
{
    x9=x8;
    moveto(x9,y11-data3[t+19]);
    for(j=t+19;j<T;j++)
    {
        if(x9<=x4)
        {
            lineto(x9,y11-data3[j]);
            x9=x9++;
            j=j+1;
        }
    }
}
else if(data3[t]==0x07||data3[t]==0x0B)
{
    x9=x8;
    moveto(x9,y11-data3[t+20]);
    for(j=t+20;j<T;j++)
    {
        if(x9<=x4)

```

```

        {
            lineto(x9,y11-data3[j]);
            x9=x9++;
            j=j+2;
        }
    }
else if(data3[t]==0x05)
{
    x9=x8;
    moveto(x9,y11-data3[t+19]);
    for(j=t+19;j<T;j++)
    {
        if(x9<=x4)
        {
            lineto(x9,y11-data3[j]);
            x9=x9++;
            j=j+2;
        }
    }
}
else if(data3[t]==0x08)
{
    x9=x8;
    moveto(x9,y11-data3[t+20]);
    for(j=t+20;j<T;j++)
    {
        if(x9<=x4)
        {
            lineto(x9,y11-data3[j]);
            x9=x9++;
            j=j+3;
        }
    }
}
else
{
}
setcolor(15);
}
if(channel==3)
{
    setcolor(11);
    if(data3[t]==0x04)
    {
        x9=x8;
        moveto(x9,y11-data3[t+19]);
        for(j=t+19;j<T;j++)
        {
            if(x9<=x4)
            {
                lineto(x9,y11-data3[j]);
                x9=x9++;
            }
        }
    }
}
else if(data3[t]==0x0C)
{
    x9=x8;
    moveto(x9,y11-data3[t+19]);
    for(j=t+19;j<T;j++)
    {
        if(x9<=x4)
        {
            lineto(x9,y11-data3[j]);
            x9=x9++;
            j=j+1;
        }
    }
}
}
else if(data3[t]==0x05|data3[t]==0x06)
{
    x9=x8;
    moveto(x9,y11-data3[t+20]);
    for(j=t+20;j<T;j++)
    {
        if(x9<=x4)
        {
            lineto(x9,y11-data3[j]);
            x9=x9++;
        }
    }
}
}

```

```

        j=j+1;
    }
}
else if(data3[t]==0x0D||data3[t]==0x0E)
{
    x9=x8;
    moveto(x9,y11-data3[t+20]);
    for(j=t+20;j<T;j++)
    {
        if(x9<=x4)
        {
            lineto(x9,y11-data3[j]);
            x9=x9++;
            j=j+2;
        }
    }
}
else if(data3[t]==0x07)
{
    x9=x8;
    moveto(x9,y11-data3[t+21]);
    for(j=t+21;j<T;j++)
    {
        if(x9<=x4)
        {
            lineto(x9,y11-data3[j]);
            x9=x9++;
            j=j+2;
        }
    }
}
else if(data3[t]==0x0F)
{
    x9=x8;
    moveto(x9,y11-data3[t+21]);
    for(j=t+21;j<T;j++)
    {
        if(x9<=x4)
        {
            lineto(x9,y11-data3[j]);
            x9=x9++;
            j=j+3;
        }
    }
}
else
{
}
setcolor(15);
}
if(channel==4)
{
    setcolor(12);
    if(data3[t]==0x0E)
    {
        x9=x8;
        moveto(x9,y11-data3[t+19]);
        for(j=t+19;j<T;j++)
        {
            if(x9<=x4)
            {
                lineto(x9,y11-data3[j]);
                x9=x9++;
            }
        }
    }
}
else if(data3[t]==0x0D)
{
    x9=x8;
    moveto(x9,y11-data3[t+20]);
    for(j=t+20;j<T;j++)
    {
        if(x9<=x4)
        {
            lineto(x9,y11-data3[j]);
            x9=x9++;
            j=j+1;
        }
    }
}
}

```

```

}
else if(data3[t]==0x09||data3[t]==0x0A||data3[t]==0x0C)
{
    x9=x8;
    moveto(x9,y11-data3[t+20]);
    for(j=t+20;j<T;j++)
    {
        if(x9<=x4)
        {
            lineto(x9,y11-data3[j]);
            x9=x9++;
            j=j+1;
        }
    }
}
else if(data3[t]==0x0B||data3[t]==0x0D||data3[t]==0x0E)
{
    x9=x8;
    moveto(x9,y11-data3[t+21]);
    for(j=t+21;j<T;j++)
    {
        if(x9<=x4)
        {
            lineto(x9,y11-data3[j]);
            x9=x9++;
            j=j+2;
        }
    }
}
else if(data3[t]==0x0F)
{
    x9=x8;
    moveto(x9,y11-data3[t+22]);
    for(j=t+22;j<T;j++)
    {
        if(x9<=x4)
        {
            lineto(x9,y11-data3[j]);
            x9=x9++;
            j=j+3;
        }
    }
}
else
{
}
setcolor(15);
}
else
{
}
}
}

```

ภาคผนวก ง. Data Sheet

HM62256B Series

256k SRAM (32-kword × 8-bit)

HITACHI

ADE-203-135F (Z)

Rev. 6.0

Nov. 13, 1997

Description

The Hitachi HM62256B Series is a CMOS static RAM organized 32,768-word × 8-bit. It realizes higher performance and low power consumption by employing 0.8 μm Hi-CMOS process technology. The device, packaged in 8 × 14 mm TSOP, 8 × 13.4 mm TSOP with thickness of 1.2 mm, 450 mil SOP (foot print pitch width), 600 mil plastic DIP, or 300 mil plastic DIP, is available for high density mounting. It offers low power standby power dissipation; therefore, it is suitable for battery backup systems.

Features

- Single 5.0 V supply: 5.0 V ± 10%
- Access time: 55 ns/70 ns 85 ns (max)
- Power dissipation:
 - Active: 25 mW (typ) (f = 1 MHz)
 - Standby: 1.0 μW (typ)
- Completely static memory
 - No clock or timing strobe required
- Equal access and cycle times
- Common data input and output
 - Three state output
- Directly TTL compatible all inputs and outputs
- Battery backup operation

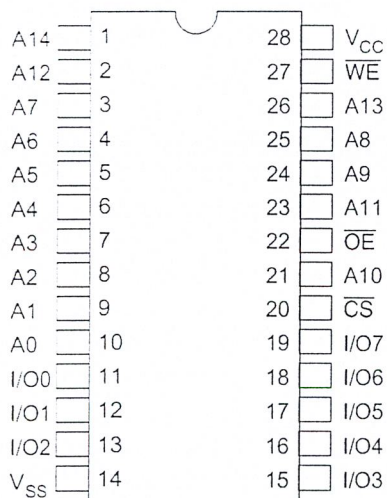
HM62256B Series

Ordering Information

Type No.	Access time	Package
HM62256BLP-7	70 ns	600-mil 28-pin plastic DIP (DP-28)
HM62256BLP-7SL	70 ns	
HM62256BLSP-7	70 ns	300-mil 28-pin plastic DIP (DP-28NA)
HM62256BLSP-7SL	70 ns	
HM62256BLFP-7T	70 ns	450-mil 28-pin plastic SOP (FP-28DA)
HM62256BLFP-5SLT	55 ns	
HM62256BLFP-7SLT	70 ns	
HM62256BLFP-7ULT	70 ns	
HM62256BLT-8	85 ns	8 mm × 14 mm 32-pin TSOP (TFP-32DA)
HM62256BLT-7SL	70 ns	
HM62256BLTM-8	85 ns	8 mm × 13.4 mm 28-pin TSOP (TFP-28DA)
HM62256BLTM-5SL	55 ns	
HM62256BLTM-7SL	70 ns	
HM62256BLTM-7UL	70 ns	

Pin Arrangement

HM62256BLP/BLFP/BLSP Series



(Top view)

HM62256B Series

Operation Table

\overline{WE}	\overline{CS}	\overline{OE}	Mode	V_{CC} current	I/O pin	Ref. cycle
x	H	x	Standby	I_{SB}, I_{SB1}	High-Z	—
H	L	H	Output disable	I_{CC}	High-Z	—
H	L	L	Read	I_{CC}	Dout	Read cycle (1)to (3)
L	L	H	Write	I_{CC}	Din	Write cycle (1)
L	L	L	Write	I_{CC}	Din	Write cycle (2)

Note: x: H or L

Absolute Maximum Ratings

Parameter	Symbol	Value	Unit
Power supply voltage relative to V_{SS}	V_{CC}	-0.5 to +7.0	V
Terminal voltage on any pin relative to V_{SS}	V_T	-0.5* ¹ to $V_{CC}+0.3$ * ²	V
Power dissipation	P_T	1.0	W
Operating temperature range	T_{opr}	0 to +70	°C
Storage temperature range	T_{stg}	-55 to +125	°C
Storage temperature range under bias	T_{bias}	-10 to +85	°C

Notes: 1. V_T min: -3.0 V for pulse half-width \leq 50 ns
 2. Maximum voltage is 7.0 V

DC Operating Conditions ($T_a = 0$ to +70°C)

Parameter	Symbol	Min	Typ	Max	Unit	Notes
Supply voltage	V_{CC}	4.5	5.0	5.5	V	
	V_{SS}	0	0	0	V	
Input high voltage	V_{IH}	2.2	—	$V_{CC} + 0.3$	V	
Input low voltage	V_{IL}	-0.5* ¹	—	0.8	V	

Note: 1. V_{IL} min: -3.0 V for pulse half-width \leq 50 ns

HM62256B Series

DC Characteristics (Ta = 0 to +70°C, V_{CC} = 5 V ± 10%, V_{SS} = 0 V)

Parameter	Symbol	Min	Typ* ¹	Max	Unit	Test conditions	
Input leakage current	I _{IL}	—	—	1	μA	V _{in} = V _{SS} to V _{CC}	
Output leakage current	I _{LO}	—	—	1	μA	$\overline{CS} = V_{IH}$ or $\overline{OE} = V_{IH}$ or $\overline{WE} = V_{IL}$, V _{I/O} = V _{SS} to V _{CC}	
Operating current	I _{CC}	—	6	15	mA	$\overline{CS} = V_{IL}$, Others = V _{IH} /V _{IL} , I _{I/O} = 0 mA	
Average operating current	HM62256B-5	I _{CC1}	—	—	60	mA	Min cycle, duty = 100%, I _{I/O} = 0 mA, $\overline{CS} = V_{IL}$, Others = V _{IH} /V _{IL}
	HM62256B-7	I _{CC2}	—	33	60	mA	
	HM62256B-8	I _{CC3}	—	29	50	mA	
		I _{CC4}	—	5	15	mA	Cycle time = 1 μs, I _{I/O} = 0 mA, $\overline{CS} = V_{IL}$, V _{IH} = V _{CC} , V _{IL} = 0
Standby current	I _{SB}	—	0.3	2	mA	$\overline{CS} = V_{IH}$	
	I _{SB1}	—	0.2	100	μA	V _{in} ≥ 0 V, $\overline{CS} \geq V_{CC} - 0.2$ V	
	I _{SB2}	—	0.2* ²	50* ²	μA		
	I _{SB3}	—	0.2* ³	10* ³	μA		
Output low voltage	V _{OL}	—	—	0.4	V	I _{OL} = 2.1 mA	
Output high voltage	V _{OH}	2.4	—	—	V	I _{OH} = -1.0 mA	

Notes: 1. Typical values are at V_{CC} = 5.0 V, Ta = +25°C and not guaranteed.

2. This characteristic is guaranteed only for L-SL version.

3. This characteristic is guaranteed only for L-UL version.

Capacitance (Ta = 25°C, f = 1.0 MHz)

Parameter	Symbol	Min	Typ	Max	Unit	Test Conditions
Input capacitance* ¹	C _{in}	—	—	8	pF	V _{in} = 0 V
Input/output capacitance* ¹	C _{I/O}	—	—	10	pF	V _{I/O} = 0 V

Note: 1. This parameter is sampled and not 100% tested.

HM62256B Series

AC Characteristics (Ta = 0 to +70°C, V_{CC} = 5.0 V ± 10%)

Test Conditions

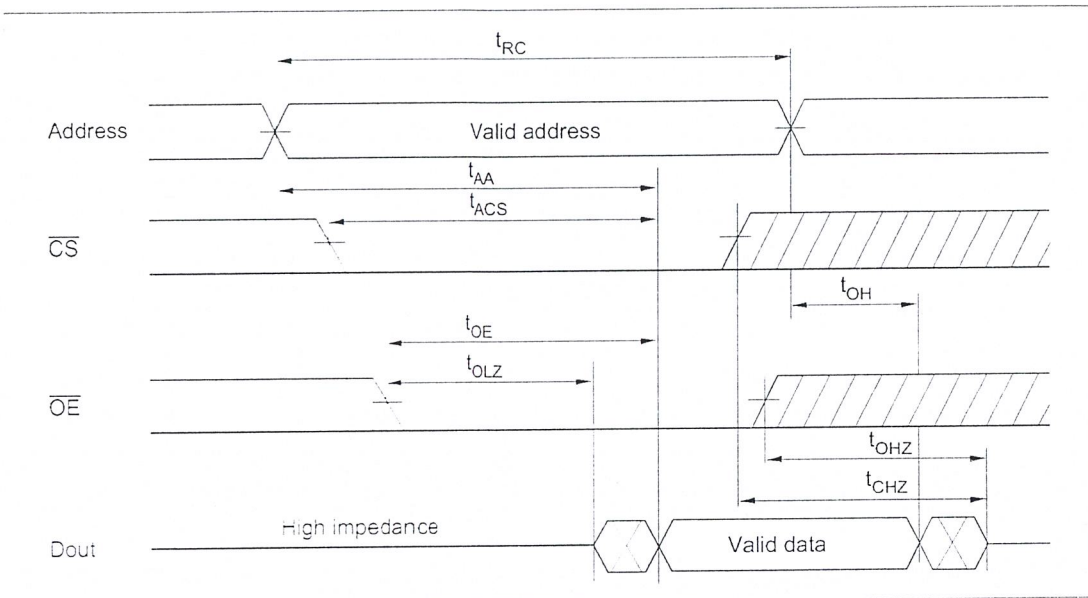
- Input pulse levels: 0.8 V to 2.4 V
- Input rise and fall time: 5 ns
- Input and output timing reference levels: 1.5 V
- Output load: 1 TTL Gate + C_L (50 pF) (HM62256B-5)
 1 TTL Gate + C_L (100 pF) (HM62256B-7/8)
 (Including scope & jig)

Read Cycle

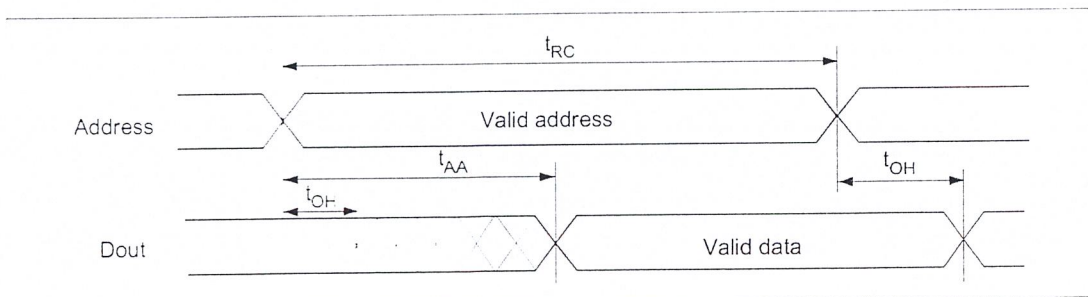
Parameter	Symbol	HM62256B						Unit	Notes
		-5		-7		-8			
		Min	Max	Min	Max	Min	Max		
Read cycle time	t _{RC}	55	—	70	—	85	—	ns	
Address access time	t _{AA}	—	55	—	70	—	85	ns	
Chip select to access time	t _{CSA}	—	55	—	70	—	85	ns	
Output enable to output valid	t _{OE}	—	35	—	40	—	45	ns	
Chip select to output in low-Z	t _{CSL}	5	—	10	—	10	—	ns	2
Output enable to output in low-Z	t _{OEL}	5	—	5	—	5	—	ns	2
Chip deselect to output in high-Z	t _{CSH}	0	20	0	25	0	30	ns	1, 2
Output disable to output in high-Z	t _{OEH}	0	20	0	25	0	30	ns	1, 2
Output hold from address change	t _{OH}	5	—	5	—	5	—	ns	

Timing Waveform

Read Timing Waveform (1) ($\overline{WE} = V_{IH}$)

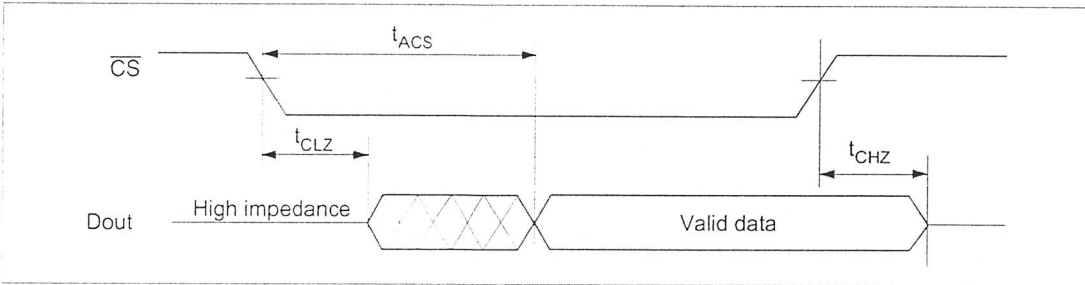


Read Timing Waveform (2) ($\overline{WE} = V_{IL}, \overline{CS} = V_{IL}, \overline{OE} = V_{IL}$)

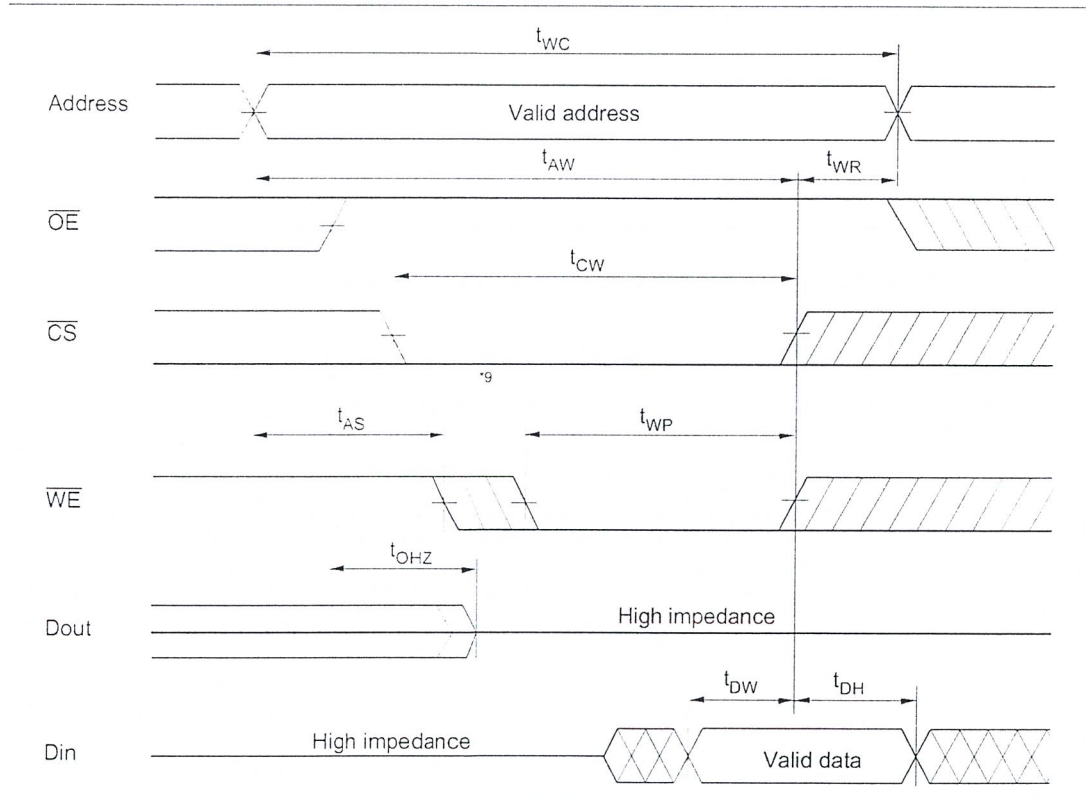


HM62256B Series

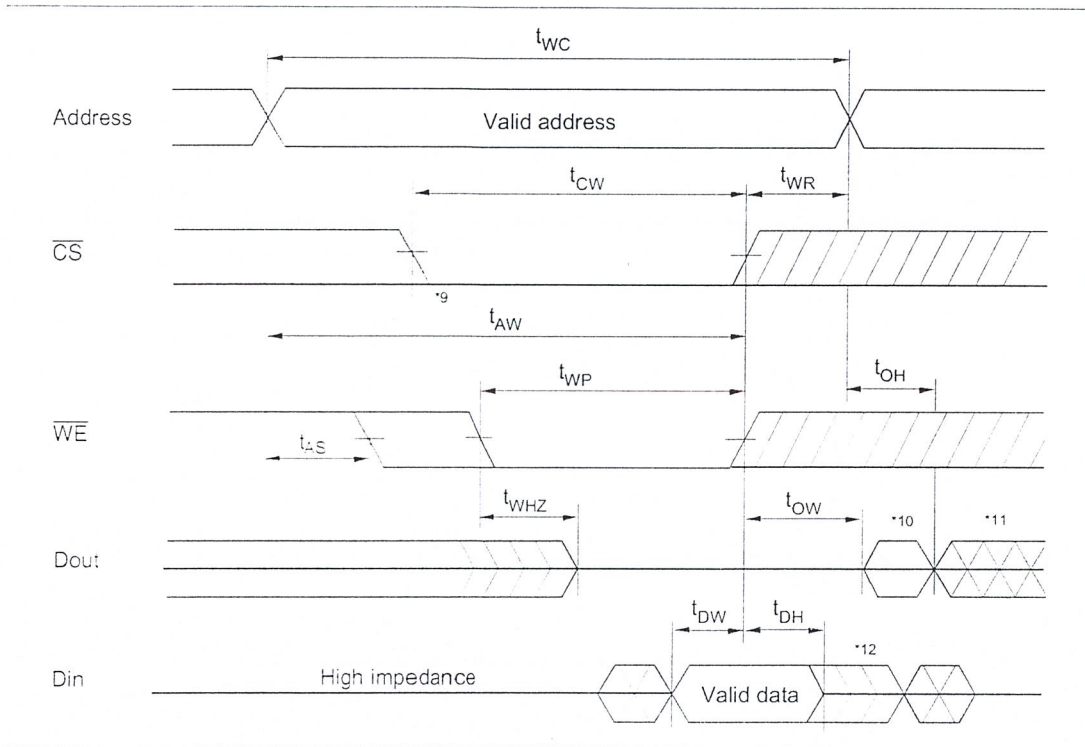
Read Timing Waveform (3) ($\overline{WE} = V_{IH}, \overline{OE} = V_{IL}$)*3



Write Timing Waveform (1) (\overline{OE} Clock)



Write Timing Waveform (2) (\overline{OE} Low Fixed)



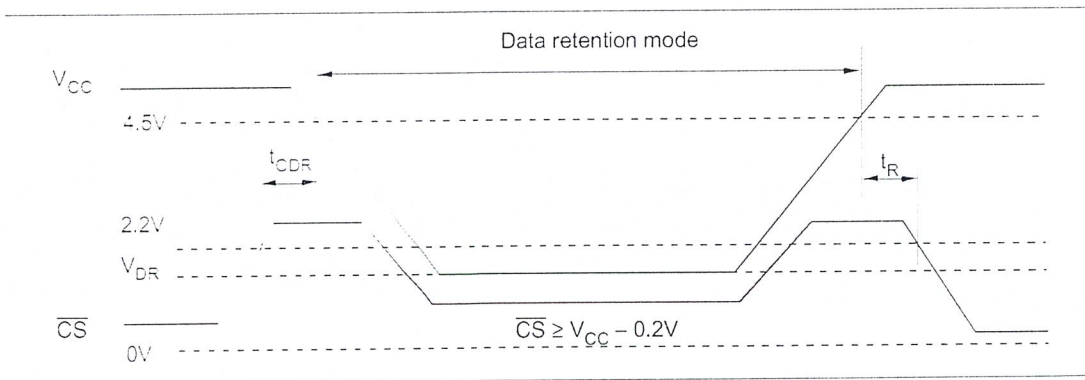
HM62256B Series

Low V_{CC} Data Retention Characteristics ($T_a = 0$ to 70°C)

Parameter	Symbol	Min	Typ* ¹	Max	Unit	Test conditions* ⁶
V_{CC} for data retention	V_{DR}	2.0	—	5.5	V	$\overline{CS} \geq V_{CC} - 0.2\text{ V}$, $V_{in} \geq 0\text{ V}$
Data retention current	I_{CCDR}	—	0.05	30^{*2}	μA	$V_{CC} = 3.0\text{ V}$, $V_{in} \geq 0\text{ V}$ $\overline{CS} \geq V_{CC} - 0.2\text{ V}$
	I_{CCDR}	—	0.05	10^{*3}	μA	
	I_{CCDR}	—	0.05	3^{*4}	μA	
Chip deselect to data retention time	t_{DDR}	0	—	—	ns	See retention Waveform
Operation recovery time	t_r	t_{RC}^{*5}	—	—	ms	

- Notes:
1. Typical values are at $V_{CC} = 3.0\text{ V}$, $T_a = +25^\circ\text{C}$ and not guaranteed.
 2. $10\ \mu\text{A}$ max. at $T_a = 0$ to $+40^\circ\text{C}$.
 3. This characteristic is guaranteed only for L-SL version, $3\ \mu\text{A}$ max. at $T_a = 0$ to $+40^\circ\text{C}$.
 4. This characteristic is guaranteed only for L-UL version, $0.6\ \mu\text{A}$ max. at $T_a = 0$ to $+40^\circ\text{C}$.
 5. t_{RC} = Read cycle time.
 6. \overline{CS} controls address buffer, \overline{WE} buffer, \overline{OE} buffer, and Din buffer. If \overline{CS} controls data retention mode, V_{in} levels (address, \overline{WE} , \overline{OE} , I/O) can be in the high impedance state.

Low V_{CC} Data Retention Timing Waveform



ADC0808/ADC0809 8-Bit μ P Compatible A/D Converters with 8-Channel Multiplexer

General Description

The ADC0808, ADC0809 data acquisition component is a monolithic CMOS device with an 8-bit analog-to-digital converter, 8-channel multiplexer and microprocessor compatible control logic. The 8-bit A/D converter uses successive approximation as the conversion technique. The converter features a high impedance chopper stabilized comparator, a 256R voltage divider with analog switch tree and a successive approximation register. The 8-channel multiplexer can directly access any of 8 single-ended analog signals.

The device eliminates the need for external zero and full-scale adjustments. Easy interfacing to microprocessors is provided by the latched and decoded multiplexer address inputs and latched TTL TRI-STATE[®] outputs.

The design of the ADC0808, ADC0809 has been optimized by incorporating the most desirable aspects of several A/D conversion techniques. The ADC0808, ADC0809 offers high speed, high accuracy, minimal temperature dependence, excellent long-term accuracy and repeatability, and consumes minimal power. These features make this device ideally suited to applications from process and machine control to consumer and automotive applications. For 16-channel multiplexer with common output (sample/hold port) see ADC0816 data sheet. (See AN-247 for more information.)

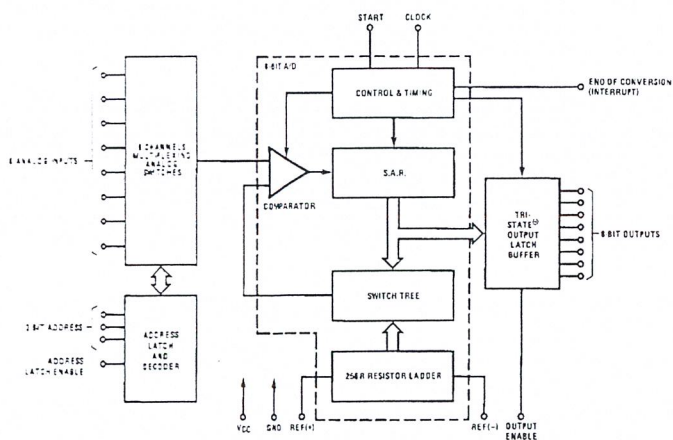
Features

- Easy interface to all microprocessors
- Operates ratiometrically or with 5 V_{DC} or analog span adjusted voltage reference
- No zero or full-scale adjust required
- 8-channel multiplexer with address logic
- 0V to 5V input range with single 5V power supply
- Outputs meet TTL voltage level specifications
- Standard hermetic or molded 28-pin DIP package
- 28-pin molded chip carrier package
- ADC0808 equivalent to MM74C949
- ADC0809 equivalent to MM74C949-1

Key Specifications

- | | |
|--------------------------|-------------------------------|
| ■ Resolution | 8 Bits |
| ■ Total Unadjusted Error | $\pm 1/2$ LSB and ± 1 LSB |
| ■ Single Supply | 5 V _{DC} |
| ■ Low Power | 15 mW |
| ■ Conversion Time | 100 μ s |

Block Diagram



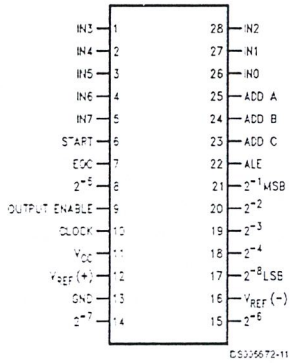
See Ordering Information

DS005672-1

TRI-STATE[®] is a registered trademark of National Semiconductor Corp.

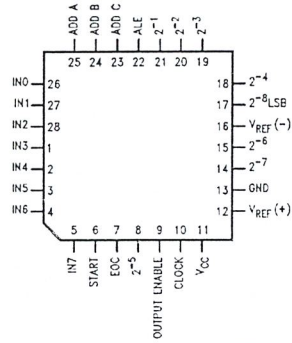
Connection Diagrams

Dual-In-Line Package



Order Number ADC0808CCN or ADC0809CCN
See NS Package J28A or N28A

Molded Chip Carrier Package



Order Number ADC0808CCV or ADC0809CCV
See NS Package V28A

Ordering Information

TEMPERATURE RANGE		-40°C to +85°C			-55°C to +125°C
Error	±1/2 LSB Unadjusted	ADC0808CCN	ADC0808CCV	ADC0808CCJ	ADC0808CJ
	±1/2 LSB Unadjusted	ADC0809CCN	ADC0809CCV		
Package Outline		N28A Molded DIP	V28A Molded Chip Carrier	J28A Ceramic DIP	J28A Ceramic DIP

Absolute Maximum Ratings (Notes 2, 1)

If Military/Aerospace specified devices are required, please contact the National Semiconductor Sales Office/Distributors for availability and specifications.

Supply Voltage (V_{CC}) (Note 3)	6.5V
Voltage at Any Pin	-0.3V to ($V_{CC}+0.3V$)
Except Control Inputs	
Voltage at Control Inputs	-0.3V to +15V
(START, OE, CLOCK, ALE, ADD A, ADD B, ADD C)	
Storage Temperature Range	-65°C to +150°C
Package Dissipation at $T_A=25^\circ\text{C}$	875 mW
Lead Temp. (Soldering, 10 seconds)	
Dual-In-Line Package (plastic)	260°C

Dual-In-Line Package (ceramic)	300°C
Molded Chip Carrier Package	
Vapor Phase (60 seconds)	215°C
Infrared (15 seconds)	220°C
ESD Susceptibility (Note 8)	400V

Operating Conditions (Notes 1, 2)

Temperature Range (Note 1)	$T_{MIN} \leq T_A \leq T_{MAX}$
ADC0808CCN, ADC0809CCN	$-40^\circ\text{C} \leq T_A \leq +85^\circ\text{C}$
ADC0808CCV, ADC0809CCV	$-40^\circ\text{C} \leq T_A \leq +85^\circ\text{C}$
Range of V_{CC} (Note 1)	$4.5 V_{DC}$ to $6.0 V_{DC}$

Electrical Characteristics

Converter Specifications: $V_{CC}=5V$, $V_{DD}=V_{REF+}$, $V_{REF-}=GND$, $T_{MIN} \leq T_A \leq T_{MAX}$ and $f_{CLK}=640\text{ kHz}$ unless otherwise stated.

Symbol	Parameter	Conditions	Min	Typ	Max	Units
	ADC0808					
	Total Unadjusted Error (Note 5)	25°C T_{MIN} to T_{MAX}			$\pm 1/2$ $\pm 3/4$	LSB LSB
	ADC0809					
	Total Unadjusted Error (Note 5)	0°C to 70°C T_{MIN} to T_{MAX}			± 1 $\pm 1 1/4$	LSB LSB
	Input Resistance	From Ref(+) to Ref(-)	1.0	2.5		k Ω
	Analog Input Voltage Range	(Note 4) V(+) or V(-)	GND-0.10		$V_{CC}+0.10$	V_{DC}
V_{REF+}	Voltage, Top of Ladder	Measured at Ref(+)		V_{CC}	$V_{CC}+0.1$	V
$\frac{V_{REF(+)} - V_{REF(-)}}{2}$	Voltage, Center of Ladder		$V_{CC}/2-0.1$	$V_{CC}/2$	$V_{CC}/2+0.1$	V
V_{REF-}	Voltage, Bottom of Ladder	Measured at Ref(-)	-0.1	0		V
I_{IN}	Comparator Input Current	$f_{CLK}=640\text{ kHz}$, (Note 6)	-2	± 0.5	2	μA

Electrical Characteristics

Digital Levels and DC Specifications: ADC0808CCN, ADC0808CCV, ADC0809CCN and ADC0809CCV, $4.75 \leq V_{CC} \leq 5.25V$, $-40^\circ\text{C} \leq T_A \leq +85^\circ\text{C}$ unless otherwise noted

Symbol	Parameter	Conditions	Min	Typ	Max	Units
ANALOG MULTIPLEXER						
I_{OFF+}	OFF Channel Leakage Current	$V_{CC}=5V$, $V_{IN}=5V$, $T_A=25^\circ\text{C}$ T_{MIN} to T_{MAX}		10	200 1.0	nA μA
I_{OFF-}	OFF Channel Leakage Current	$V_{CC}=5V$, $V_{IN}=0$, $T_A=25^\circ\text{C}$ T_{MIN} to T_{MAX}	-200 -1.0	-10		nA μA
CONTROL INPUTS						
$V_{IN(1)}$	Logical "1" Input Voltage		$V_{CC}-1.5$			V
$V_{IN(0)}$	Logical "0" Input Voltage				1.5	V
$I_{IN(1)}$	Logical "1" Input Current (The Control Inputs)	$V_{IN}=15V$			1.0	μA
$I_{IN(0)}$	Logical "0" Input Current (The Control Inputs)	$V_{IN}=0$	-1.0			μA
I_{CC}	Supply Current	$f_{CLK}=640\text{ kHz}$		0.3	3.0	mA

Electrical Characteristics (Continued)

Digital Levels and DC Specifications: ADC0808CCN, ADC0808CCV, ADC0809CCN and ADC0809CCV, $4.75 \leq V_{CC} \leq 5.25V$, $-40^\circ C \leq T_A \leq +85^\circ C$ unless otherwise noted

Symbol	Parameter	Conditions	Min	Typ	Max	Units
DATA OUTPUTS AND EOC (INTERRUPT)						
$V_{OUT(1)}$	Logical "1" Output Voltage	$V_{CC} = 4.75V$ $I_{OUT} = -360\mu A$ $I_{OUT} = -10\mu A$		2.4 4.5		V(min) V(min)
$V_{OUT(0)}$	Logical "0" Output Voltage	$I_O = 1.6 \text{ mA}$			0.45	V
$V_{OUT(EO)}$	Logical "0" Output Voltage EOC	$I_O = 1.2 \text{ mA}$			0.45	V
I_{OUT}	TRI-STATE Output Current	$V_O = 5V$ $V_O = 0$	-3		3	μA μA

Electrical Characteristics

Timing Specifications $V_{CC} = V_{REF(+)} = 5V$, $V_{REF(-)} = GND$, $t_r = t_f = 20 \text{ ns}$ and $T_A = 25^\circ C$ unless otherwise noted.

Symbol	Parameter	Conditions	Min	Typ	Max	Units
t_{WS}	Minimum Start Pulse Width	(Figure 5)		100	200	ns
$t_{W_{ALE}}$	Minimum ALE Pulse Width	(Figure 5)		100	200	ns
t_s	Minimum Address Set-Up Time	(Figure 5)		25	50	ns
t_h	Minimum Address Hold Time	(Figure 5)		25	50	ns
t_D	Analog MUX Delay Time From ALE	$R_S = 0\Omega$ (Figure 5)		1	2.5	μs
t_{OL}, t_{OL}	OE Control to Q Logic State	$C_L = 50 \text{ pF}$, $R_L = 10k$ (Figure 8)		125	250	ns
t_{OH}, t_{OH}	OE Control to H-Z	$C_L = 10 \text{ pF}$, $R_L = 10k$ (Figure 8)		125	250	ns
t_c	Conversion Time	$f_c = 640 \text{ kHz}$, (Figure 5) (Note 7)	90	100	116	μs
f_c	Clock Frequency		10	640	1280	kHz
t_{EOC}	EOC Delay Time	(Figure 5)	0		8+2 μs	Clock Periods
C_{in}	Input Capacitance	At Control Inputs		10	15	pF
C_{OUT}	TRI-STATE Output Capacitance	At TRI-STATE Outputs		10	15	pF

Note 1: Absolute Maximum Ratings indicate limits beyond which damage to the device may occur. DC and AC electrical specifications do not apply when operating the device beyond its specified operating conditions.

Note 2: All voltages are measured with respect to GND, unless otherwise specified.

Note 3: A Zener diode exists internally from V_{CC} to GND and has a typical breakdown voltage of $7 V_{DD}$.

Note 4: Two protection diodes are tied to each analog input which will forward conduct for analog input voltages one diode drop below ground or one diode drop greater than the V_{CC} supply. The spec allows 100 mV forward bias of either diode. This means that as long as the analog V_{IN} does not exceed the supply voltage by more than 100 mV, the output code will be correct. To achieve an absolute 0V_{DC} to 5V_{DC} input voltage range will therefore require a minimum supply voltage of 4.900 V_{DC} over temperature variations, initial tolerance and loading.

Note 5: Total unadjusted error includes offset, full-scale, linearity, and multiplexer errors. See Figure 3. None of these A/Ds requires a zero or full-scale adjust. However, if an all-zero code is desired for an analog input other than 0.0V, or if a narrow full-scale span exists (for example: 0.5V to 4.5V full-scale) the reference voltages can be adjusted to achieve this. See Figure 13.

Note 6: Comparator input current is a bias current into or out of the chopper stabilized comparator. The bias current varies directly with clock frequency and has little temperature dependence (Figure 5). See paragraph 4.0.

Note 7: The outputs of the data register are updated one clock cycle before the rising edge of EOC.

Note 8: Human body model, 100 pF discharged through a 1.5 k Ω resistor.

LM135/LM235/LM335, LM135A/LM235A/LM335A Precision Temperature Sensors

General Description

The LM135 series are precision, easily-calibrated, integrated circuit temperature sensors. Operating as a 2-terminal zener, the LM135 has a breakdown voltage directly proportional to absolute temperature at +10 mV/K. With less than 1Ω dynamic impedance the device operates over a current range of 400 μA to 5 mA with virtually no change in performance. When calibrated at 25°C the LM135 has typically less than 1°C error over a 100°C temperature range. Unlike other sensors the LM135 has a linear output.

Applications for the LM135 include almost any type of temperature sensing over a -55°C to +150°C temperature range. The low impedance and linear output make interfacing to readout or control circuitry especially easy.

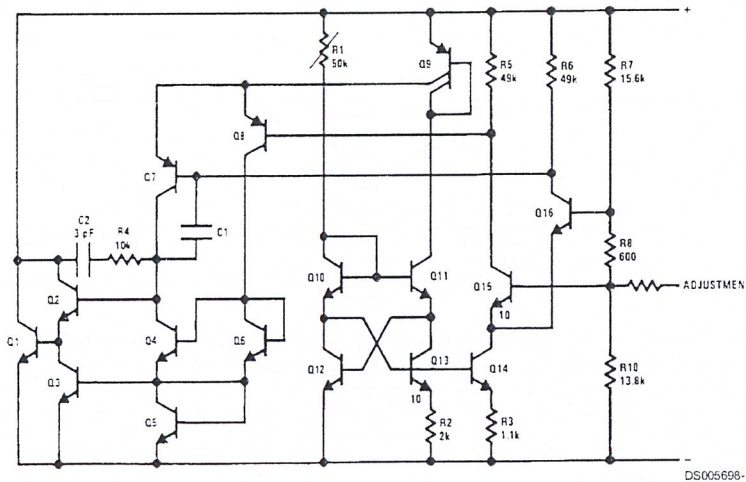
The LM135 operates over a -55°C to +150°C temperature range while the LM235 operates over a -40°C to +125°C

temperature range. The LM335 operates from -40°C to +100°C. The LM135/LM235/LM335 are available packaged in hermetic TO-46 transistor packages while the LM335 is also available in plastic TO-92 packages.

Features

- Directly calibrated in °Kelvin
- 1°C initial accuracy available
- Operates from 400 μA to 5 mA
- Less than 1Ω dynamic impedance
- Easily calibrated
- Wide operating temperature range
- 200°C overrange
- Low cost

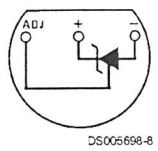
Schematic Diagram



DS005698-1

Connection Diagrams

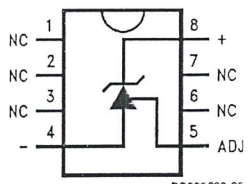
TO-92
Plastic Package



DS005698-8

Bottom View
Order Number LM335Z
or LM335AZ
See NS Package
Number Z03A

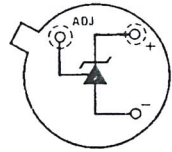
SO-8
Surface Mount Package



DS005698-25

Order Number LM335M
See NS Package
Number M08A

TO-46
Metal Can Package*



DS005698-26

*Case is connected to negative pin

Bottom View
Order Number LM135H,
LM135H-MIL, LM235H,
LM335H, LM135AH,
LM235AH or LM335AH
See NS Package
Number H03H

Absolute Maximum Ratings (Note 4)

If Military/Aerospace specified devices are required, please contact the National Semiconductor Sales Office/Distributors for availability and specifications.

Reverse Current	15 mA
Forward Current	10 mA
Storage Temperature	
TO-46 Package	-60°C to +180°C
TO-92 Package	-60°C to +150°C
SO-8 Package	-65°C to +150°C

Specified Operating Temp. Range

	Continuous	Intermittent (Note 2)
LM135, LM135A	-55°C to +150°C	150°C to 200°C
LM235, LM235A	-40°C to +125°C	125°C to 150°C
LM335, LM335A	-40°C to +100°C	100°C to 125°C
Lead Temp. (Soldering, 10 seconds)		
TO-92 Package:		260°C
TO-46 Package:		300°C
SO-8 Package:		300°C
Vapor Phase (60 seconds):		215°C
Infrared (15 seconds):		220°C

Temperature Accuracy (Note 1)

LM135/LM235, LM135A/LM235A

Parameter	Conditions	LM135A/LM235A			LM135/LM235			Units
		Min	Typ	Max	Min	Typ	Max	
Operating Output Voltage	$T_C = 25^\circ\text{C}$, $I_R = 1\text{ mA}$	2.97	2.98	2.99	2.95	2.98	3.01	V
Uncalibrated Temperature Error	$T_C = 25^\circ\text{C}$, $I_R = 1\text{ mA}$		0.5	1		1	3	°C
Uncalibrated Temperature Error	$T_{\text{MIN}} \leq T_C \leq T_{\text{MAX}}$, $I_R = 1\text{ mA}$		1.3	2.7		2	5	°C
Temperature Error with 25°C Calibration	$T_{\text{MIN}} \leq T_C \leq T_{\text{MAX}}$, $I_R = 1\text{ mA}$		0.3	1		0.5	1.5	°C
Calibrated Error at Extended Temperatures	$T_C = T_{\text{MAX}}$ (Intermittent)		2			2		°C
Non-Linearity	$I_R = 1\text{ mA}$		0.3	0.5		0.3	1	°C

Temperature Accuracy (Note 1)

LM335, LM335A

Parameter	Conditions	LM335A			LM335			Units
		Min	Typ	Max	Min	Typ	Max	
Operating Output Voltage	$T_C = 25^\circ\text{C}$, $I_R = 1\text{ mA}$	2.95	2.98	3.01	2.92	2.98	3.04	V
Uncalibrated Temperature Error	$T_C = 25^\circ\text{C}$, $I_R = 1\text{ mA}$		1	3		2	6	°C
Uncalibrated Temperature Error	$T_{\text{MIN}} \leq T_C \leq T_{\text{MAX}}$, $I_R = 1\text{ mA}$		2	5		4	9	°C
Temperature Error with 25°C Calibration	$T_{\text{MIN}} \leq T_C \leq T_{\text{MAX}}$, $I_R = 1\text{ mA}$		0.5	1		1	2	°C
Calibrated Error at Extended Temperatures	$T_C = T_{\text{MAX}}$ (Intermittent)		2			2		°C
Non-Linearity	$I_R = 1\text{ mA}$		0.3	1.5		0.3	1.5	°C

Electrical Characteristics (Note 1)

Parameter	Conditions	LM135/LM235 LM135A/LM235A			LM335 LM335A			Units
		Min	Typ	Max	Min	Typ	Max	
		Operating Output Voltage Change with Current	$400\ \mu\text{A} \leq I_R \leq 5\text{ mA}$ At Constant Temperature		2.5	10		
Dynamic Impedance	$I_R = 1\text{ mA}$		0.5			0.6		Ω
Output Voltage Temperature Coefficient			+10			+10		mV/°C
Time Constant	Still Air		80			80		sec
	100 ft/Min Air		10			10		sec
	Stirred Oil		1			1		sec
Time Stability	$T_C = 125^\circ\text{C}$		0.2			0.2		°C/khr

Electrical Characteristics (Note 1) (Continued)

Note 1: Accuracy measurements are made in a well-stirred oil bath. For other conditions, self heating must be considered.

Note 2: Continuous operation at these temperatures for 10,000 hours for H package and 5,000 hours for Z package may decrease life expectancy of the device.

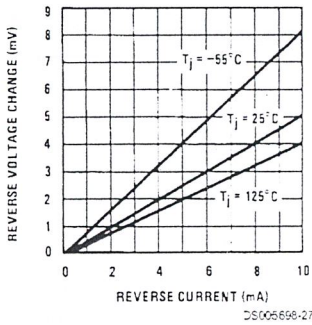
Note 3:

Thermal Resistance	TO-92	TO-46	SO-8
θ_{JA} (junction to ambient)	202°C/W	400°C/W	165°C/W
θ_{JC} (junction to case)	170°C/W	N/A	N/A

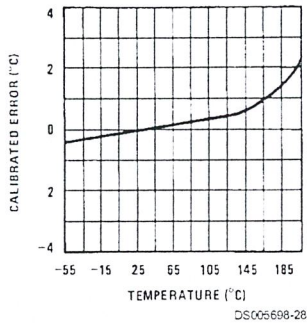
Note 4: Refer to RETS135H for military specifications.

Typical Performance Characteristics

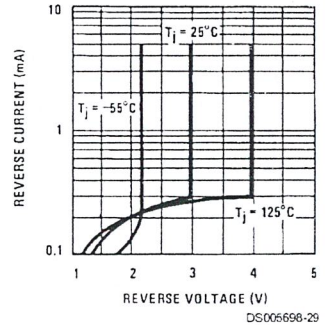
Reverse Voltage Change



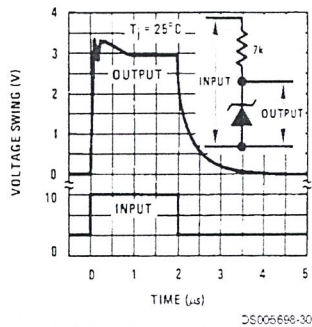
Calibrated Error



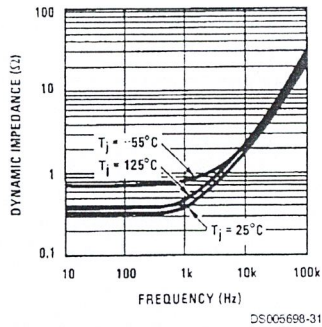
Reverse Characteristics



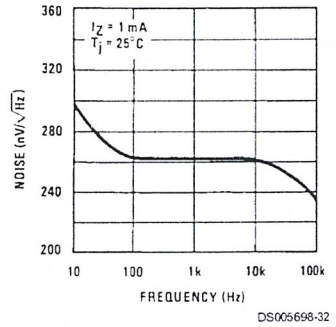
Response Time



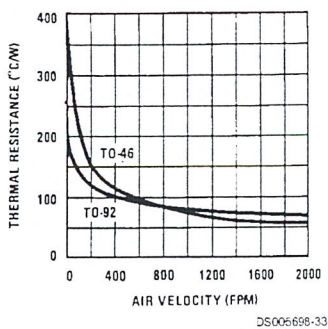
Dynamic Impedance



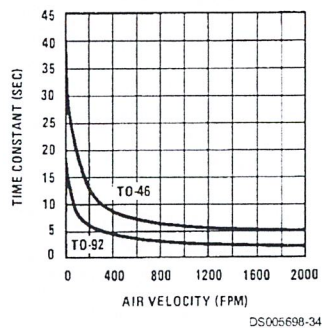
Noise Voltage



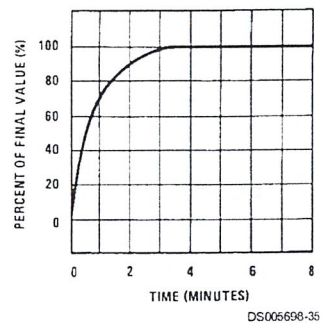
Thermal Resistance Junction to Air



Thermal Time Constant

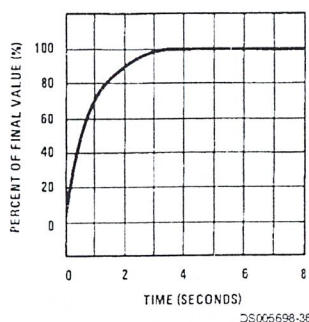


Thermal Response in Still Air

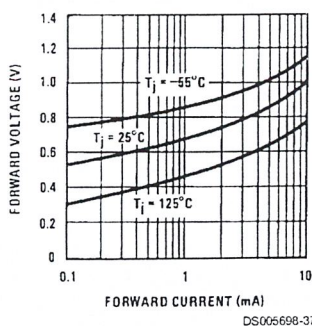


Typical Performance Characteristics (Continued)

Thermal Response in Stirred Oil Bath



Forward Characteristics



Application Hints

CALIBRATING THE LM135

Included on the LM135 chip is an easy method of calibrating the device for higher accuracies. A pot connected across the LM135 with the arm tied to the adjustment terminal allows a 1-point calibration of the sensor that corrects for inaccuracy over the full temperature range.

This single point calibration works because the output of the LM135 is proportional to absolute temperature with the extrapolated output of sensor going to 0V output at 0°K (-273.15°C). Errors in output voltage versus temperature are only slope (or scale factor) errors so a slope calibration at one temperature corrects at all temperatures.

The output of the device (calibrated or uncalibrated) can be expressed as:

$$V_{OUT_T} = V_{OUT_{T_0}} \times \frac{T}{T_0}$$

where T is the unknown temperature and T₀ is a reference temperature, both expressed in degrees Kelvin. By calibrating the output to read correctly at one temperature the output at all temperatures is correct. Nominally the output is calibrated at 10 mV/°K.

To insure good sensing accuracy several precautions must be taken. Like any temperature sensing device, self heating can reduce accuracy. The LM135 should be operated at the lowest current suitable for the application. Sufficient current, of course, must be available to drive both the sensor and the calibration pot at the maximum operating temperature as well as any external loads.

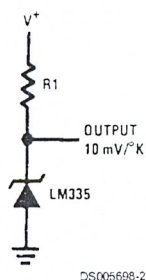
If the sensor is used in an ambient where the thermal resistance is constant, self heating errors can be calibrated out. This is possible if the device is run with a temperature stable current. Heating will then be proportional to zener voltage and therefore temperature. This makes the self heating error proportional to absolute temperature the same as scale factor errors.

WATERPROOFING SENSORS

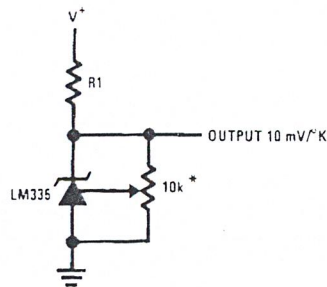
Meltable inner core heat shrinkable tubing such as manufactured by Raychem can be used to make low-cost waterproof sensors. The LM335 is inserted into the tubing about 1/2" from the end and the tubing heated above the melting point of the core. The unfilled 1/2" end melts and provides a seal over the device.

Typical Applications

Basic Temperature Sensor

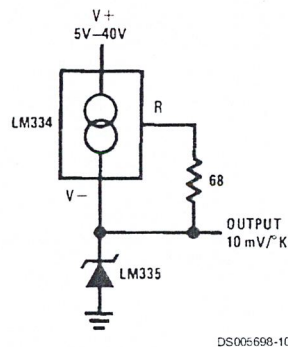


Calibrated Sensor



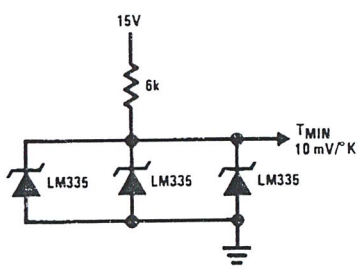
*Calibrate for 2.982V at 25°C

Wide Operating Supply



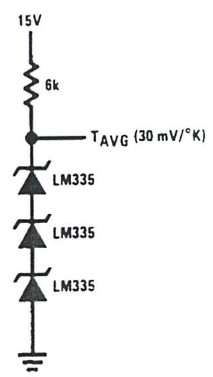
Typical Applications (Continued)

Minimum Temperature Sensing



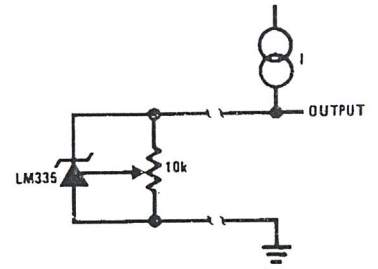
DS005696-4

Average Temperature Sensing



DS005696-18

Remote Temperature Sensing



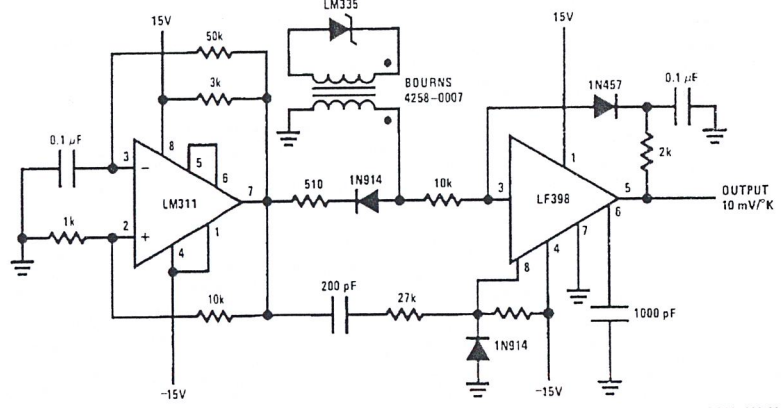
DS005698-19

Wire length for 1°C error due to wire drop

AWG	$I_R = 1$	$I_R = 0.5 \text{ mA}^*$
	FEET	FEET
14	4000	8000
16	2500	5000
18	1600	3200
20	1000	2000
22	625	1250
24	400	800

*For $I_R = 0.5 \text{ mA}$, the trim pot must be deleted.

Isolated Temperature Sensor



DS005698-20

เอกสารอ้างอิง

1. ชัยวัฒน์ ลิ้มพรจิตรวิไล และ วรพจน์ กรแก้ววัฒนกุล “เรียนรู้และปฏิบัติการไมโครคอนโทรลเลอร์ MCS-51”
2. พ.อ. เจนวิทย์ เหลืองอร่าม และ ปิยวิทย์ เหลืองอร่าม “การเขียนโปรแกรมด้วย C / C++ “
3. LAB EL327, “Data Acquisition and Conversion” Electronic laboratory, Dept. of Electronic
4. “ET – AFP V 1.0 Flash Programmer “ User’s Manual , ETT Co.,Ltd.
5. “MCS – 51 Microcontroller Training Board” User’s Manual. Innovative Experiment Co.,Ltd.
6. “ LM335 ” National Semiconductor Operation, 2000, Page 1 – 7 .
7. “ ADC 0808 ” National Semiconductor Application Note 247, Page 626 – 630 .
8. “ DS1307 ” Dallas Semiconductor, Page 1 – 6.